

November 12, 2021 at 22:29

1. Introduction. 이 문서는 Gerald Farin의 “Curves and Surfaces for CAGD: A Practical Guide” 4th edition에 기술되어 있는 알고리즘들을 간략하게 설명하고 구현한다.

가장 먼저 n -차원 유클리드 공간에 존재하는 존재하는 점을 기술하기 위한 **point** 타입을 정의한다. 뒤에서 좀 더 자세하게 설명하겠지만, 유클리드 공간의 point는 위치를 나타내는 position vector와 다른 특성을 갖는다. 예를 들면, point 사이의 뺄셈은 정의되지만 덧셈은 물리적으로 의미가 성립되지 않아 정의될 수 없는 것을 들 수 있다.

두 번째로, 추상적인 타입으로 **curve** 타입을 정의한다. 이 타입은 일반적인 곡선에서 필요로 하는 몇 가지 인터페이스를 정의하고, PostScript 파일 출력을 위한 method들을 갖는다.

curve 타입을 base class로 Bézier 곡선을 기술하기 위한 **bezier** 타입을 정의한다. 그리고 여러 개의 곡선들을 이어 붙여 사용하기 위한 **piecewise-bezier-curve** 타입을 정의한다. 마지막으로 가장 널리 쓰이는 cubic spline curve를 기술하기 위하여 **cubic-spline** 타입을 정의한다.

2. Namespace. 이 문서에서 기술하는 모든 타입과 유틸리티 함수들은 **cagd** namespace에 정의한다. 연산 결과가 0과 유사할 때 0으로 판별하기 위하여 machine epsilon을 $2.2204 \cdot 10^{-16}$ 으로 정의한다.

점이나 곡선과 같은 기하학적 객체를 다룰 때 실행결과를 가장 쉽게 확인하는 방법은 그것들을 2차원 지면상에 실제로 그리는 것이다. 또한 그 결과를 편리하게 활용할 수 있도록 간단한 PostScript 출력을 지원하는 타입과 method들을 구현한다. 이 프로그램에서는 PostScript 파일을 가리키는 타입으로 **psf**를 정의한다. (실제로는 C++의 **ofstream** 타입에 다른 이름을 붙였을 뿐이다.)

OpenCL을 이용한 병렬연산을 수행할 수 있도록 mpoi.h 헤더를 추가한다.

```

<cagd.h 2> ≡
1  #ifndef __COMPUTER_AIDED_GEOMETRIC_DESIGN_H_
2  #define __COMPUTER_AIDED_GEOMETRIC_DESIGN_H_
3  #include <cstdint>
4  #include <vector>
5  #include <list>
6  #include <string>
7  #include <cstdint>
8  #include <algorithm>
9  #include <cmath>
10 #include <exception>
11 #include <iostream>
12 #include <ostream>
13 #include <fstream>
14 #include <sstream>
15 #include <ios>
16 #include <iterator>
17 #include <initializer_list>
18 #include "mpoi.h"
19 #if defined (_WIN32) ∨ defined (_WIN64)
20 #define NOMINMAX
21 #define M_PI 3.14159265358979323846
22 #define M_PI_2 1.57079632679489661923
23 #define M_PI_4 0.785398163397448309616
24 #endif
25 using namespace std;
26 namespace cagd { const double EPS = 2.2204 · 10-16;
27 using psf = ofstream;
28 <Definition of point 20>
29 <Definition of curve 40>
30 <Definition of bezier 54>
31 <Definition of piecewise_bezier_curve 83>
32 <Definition of cubic_spline 108>
33 <Declaration of cagd functions 5>
34 }
35 #endif

```

3. Implementation of **cagd**.

⟨ **cagd.cpp** 3 ⟩ ≡

```

36 #include "cagd.h"
37 using namespace cagd;
38 ⟨ Implementation of cagd functions 4 ⟩
39 ⟨ Implementation of point 22 ⟩
40 ⟨ Implementation of curve 41 ⟩
41 ⟨ Implementation of bezier 56 ⟩
42 ⟨ Implementation of piecewise_bezier_curve 84 ⟩
43 ⟨ Implementation of cubic_spline 110 ⟩

```

4. PostScript 파일을 생성하고 닫기 위한 함수를 정의한다.

⟨ Implementation of **cagd** functions 4 ⟩ ≡

```

44 psf cagd::create_postscript_file(string file_name) {
45     psf ps_file;
46     ps_file.open(file_name.c_str(), ios_base::out);
47     if (¬ps_file) {
48         exit(-1);
49     }
50     ps_file << "%!PS-Adobe-3.0" << endl << "/Helvetica findfont 10 scalefont setfont" << endl;
51     return ps_file;
52 }
53 void cagd::close_postscript_file(psf &ps_file, bool with_new_page) {
54     if (with_new_page ≡ true) {
55         ps_file << "showpage" << endl;
56     }
57     ps_file.close();
58 }

```

See also sections 7, 10, 12, 14, 67, and 77.

This code is used in section 3.

5. ⟨ Declaration of **cagd** functions 5 ⟩ ≡

```

59 psf create_postscript_file(string);
60 void close_postscript_file(psf &, bool);

```

See also sections 8, 11, 13, 18, 30, 38, 68, and 78.

This code is used in section 2.

6. Test program.

```

61  <test.cpp 6> ≡
62  #include <iostream>
63  #include <iomanip>
64  #include <chrono>
65  #include "cagd.h"
66  using namespace cagd; using namespace std::chrono;
67  void print_title(const char *);
68  void print_title(const char *str) {
69      cout << endl << endl;
70      char prev = cout.fill(' ');
71      cout << ">>" << setw(68) << '-' << endl;
72      cout << ">>" << endl;
73      cout << ">>TEST:" << str << endl;
74      cout << ">>" << endl;
75      cout << ">>" << setw(68) << '-' << endl;
76      cout.fill(prev);
77  }
78  int main(int argc, char *argv[]) {
79      < Test routines 9>;
80      return 0;
81  }

```

7. Solution of Tridiagonal Systems.

곡선의 interpolation 문제를 푸는 과정의 핵심은 tridiagonal system의 해법을 구하는 것이다. 가장 먼저 tridiagonal matrix의 역행렬을 구하는 루틴이다.

Riaz A. Usmani, “Inversion of a Tridiagonal Jacobi Matrix,” *Linear Algebra and its Applications*, **212**, 1994, pp. 413–414와 C. M. da Fonseca, “On the Eigenvalues of Some Tridiagonal Matrices,” *J. Computational and Applied Mathematics*, **200**(1), 2007, pp. 283–286을 참고하면 tridiagonal matrix의 역행렬은 간단한 계산으로 구할 수 있다.

행렬

$$T = \begin{pmatrix} \beta_1 & \gamma_1 & & & \\ \alpha_2 & \beta_2 & \gamma_2 & & \\ & & \ddots & & \\ & & & \alpha_{n-1} & \beta_{n-1} & \gamma_{n-1} \\ & & & & \alpha_n & \beta_n \end{pmatrix}$$

의 역행렬 T^{-1} 의 원소는 다음과 같이 주어진다.

$$(T^{-1})_{ij} = \begin{cases} (-1)^{i+j} \gamma_i \cdots \gamma_{j-1} \theta_{i-1} \phi_j / \theta_n, & \text{if } i < j; \\ \theta_{i-1} \phi_j / \theta_n, & \text{if } i = j; \\ (-1)^{i+j} \alpha_j \cdots \alpha_{i-1} \theta_{j-1} \phi_i / \theta_n, & \text{if } i > j. \end{cases}$$

이 때 θ_i 와 ϕ_i 는 다음의 점화식으로부터 얻는다.

$$\begin{aligned} \theta_i &= \beta_i \theta_{i-1} - \gamma_{i-1} \alpha_{i-1} \theta_{i-2} & (i = 2, 3, \dots, n), \\ \phi_i &= \beta_{i+1} \phi_{i+1} - \gamma_{i+1} \alpha_{i+1} \phi_{i+2} & (i = n-2, \dots, 0). \end{aligned}$$

이 점화식들의 초기 조건은

$$\begin{aligned} \theta_0 &= 1, & \theta_1 &= \beta_1; \\ \phi_{n-1} &= \beta_n, & \phi_n &= 1 \end{aligned}$$

이다.

정리하면, tridiagonal matrix의 역행렬을 구하는 과정은 다음과 같다:

1. θ_0 와 θ_1 을 이용하여 $\theta_2, \dots, \theta_n$ 을 계산;
2. $\theta_n = 0$ 이면 행렬이 비가역이므로 계산 종료. 그렇지 않으면 나머지 단계로 진행;
3. ϕ_{n-1} 과 ϕ_n 을 이용하여 $\phi_{n-2}, \dots, \phi_1$ 을 계산;
4. ϕ_i 와 θ_i 들을 이용하여 역행렬의 원소들을 계산.

여기에서 정의하는 `invert_tridiagonal()` 함수는 계산한 역행렬을 row-major order, 즉 첫 번째 행부터 마지막 행까지 하나의 **vector**에 순서대로 넣어 반환한다. 행렬이 비가역적이면 함수는 -1 을, 가역이면 0 을 반환한다.

〈Implementation of **cagd** functions 4〉 +≡

```

81  int cagd::invert_tridiagonal(
82      const vector<double> &alpha,
83      const vector<double> &beta,
84      const vector<double> &gamma,
85      vector<double> &inverse
86  ) {
87      size_t n = beta.size();
88      vector<double> theta(n+1, 0.); /* From 0 to n. */
89      theta[0] = 1.;
90      theta[1] = beta[0];
91      for (size_t i = 2; i != n+1; i++) {
92          theta[i] = beta[i-1] * theta[i-1] - gamma[i-2] * alpha[i-2] * theta[i-2];
93      }
94      if (theta[n] == 0.) return -1; /* The matrix is singular. */

```

```

95     vector<double> phi(n + 1, 0.);    /* From 0 to n. */
96     phi[n] = 1.;
97     phi[n - 1] = beta[n - 1];
98     for (size_t i = n - 1; i ≠ 0; i--) {
99         phi[i - 1] = beta[i - 1] * phi[i] - gamma[i - 1] * alpha[i - 1] * phi[i + 1];
100    }
101    for (size_t i = 0; i ≠ n; i++) {
102        for (size_t j = 0; j ≠ n; j++) {
103            double elem = 0.;
104            if (i < j) {
105                double prod = 1.;
106                for (size_t k = i; k ≠ j; k++) {
107                    prod *= gamma[k];
108                }
109                elem = pow(-1, i + j) * prod * theta[i] * phi[j + 1] / theta[n];
110            }
111            else if (i ≡ j) {
112                elem = theta[i] * phi[j + 1] / theta[n];
113            }
114            else {
115                double prod = 1.;
116                for (size_t k = j; k ≠ i; k++) {
117                    prod *= alpha[k];
118                }
119                elem = pow(-1, i + j) * prod * theta[j] * phi[i + 1] / theta[n];
120            }
121            inverse[i * n + j] = elem;
122        }
123    }
124    return 0;    /* No error. */
125 }
```

8. <Declaration of **cagd** functions 5> +≡

```

126 int invert_tridiagonal(
127     const vector<double> &,
128     const vector<double> &,
129     const vector<double> &,
130     vector<double> &);
```

9. Test: Inversion of a Tridiagonal Matrix.

예제로

$$\begin{pmatrix} 1 & 4 & 0 & 0 \\ 3 & 4 & 1 & 0 \\ 0 & 2 & 3 & 4 \\ 0 & 0 & 1 & 3 \end{pmatrix}$$

의 역행렬을 계산한다. 결과는

$$\begin{pmatrix} -0.304348 & 0.434783 & -0.26087 & 0.347826 \\ 0.326087 & -0.108696 & 0.0652174 & -0.0869565 \\ -0.391304 & 0.130435 & 0.521739 & -0.695652 \\ 0.130435 & -0.0434783 & -0.173913 & 0.565217 \end{pmatrix}$$

이다.

〈Test routines 9〉 ≡

```

131  print_title("inversion of a tridiagonal matrix");
132  {
133      vector<double> alpha(3, 0.);
134      alpha[0] = 3.; alpha[1] = 2.; alpha[2] = 1.;
135      vector<double> beta(4, 0.);
136      beta[0] = 1.; beta[1] = 4.; beta[2] = 3.; beta[3] = 3.;
137      vector<double> gamma(3, 0.);
138      gamma[0] = 4.; gamma[1] = 1.; gamma[2] = 4.;
139      vector<double> inv(4 * 4, 0.);
140      cagd::invert_tridiagonal(alpha, beta, gamma, inv);
141      for (size_t i = 0; i < 4; i++) {
142          for (size_t j = 0; j < 4; j++) {
143              cout << inv[i * 4 + j] << " ";
144          }
145          cout << endl;
146      }
147  }
```

See also sections 19, 39, 99, 157, 162, and 164.

This code is used in section 6.

10. Multiplication of a matrix and a vector. Tridiagonal matrix의 역행렬을 이용하여 tridiagonal system의 해를 구하려면, 일반적인 행렬과 벡터의 곱셈이 필요하다. 여기서는 row-major order로 하나의 **vector** 타입 객체에 저장된 정방행렬과 하나의 **vector** 타입 객체에 저장되어 있는 column vector의 곱셈을 구현한다.

⟨Implementation of **cagd** functions 4⟩ +≡

```

148  vector<double> cagd::multiply(
149      const vector<double> &mat,
150      const vector<double> &vec
151  ) {
152      size_t n = vec.size();
153      vector<double> mv(n, 0.);
154      for (size_t i = 0; i < n; i++) {
155          for (size_t k = 0; k < n; k++) {
156              mv[i] += mat[i * n + k] * vec[k];
157          }
158      }
159      return mv;
160  }
```

11. ⟨Declaration of **cagd** functions 5⟩ +≡

```

161  vector<double> multiply(
162      const vector<double> &,
163      const vector<double> &);
```


12. Tridiagonal matrix의 역행렬을 이용하여 tridiagonal system의 해를 구하는 것은 매우 간단하다.

$$Ax = b$$

에서 세 개의 **vector**(**double**) 타입의 입력인자, l, d, u 는 각각 $n \times n$ 행렬 A 의 lower diagonal, diagonal, upper diagonal element들이다. l 과 u 는 $n - 1$ 개, d 는 n 개의 원소를 가져야 한다. **vector**(**point**) 타입의 인자 b 와 x 는 각각 방정식의 우변과 해를 의미한다. 방정식의 해가 유일하게 존재하면 함수는 0을, 그렇지 않으면 -1 을 반환한다.

(Implementation of **cagd** functions 4) +=

```

164   int cagd::solve_tridiagonal_system(
165       const vector<double> &l,
166       const vector<double> &d,
167       const vector<double> &u,
168       const vector<point> &b,
169       vector<point> &x
170   ) {
171       size_t n = d.size();
172       vector<double> Ainv(n * n, 0.);
173       if (cagd::invert_tridiagonal(l, d, u, Ainv) != 0) return -1;
174       for (size_t i = 1; i != b[0].dim() + 1; i++) {
175           vector<double> r(n, 0.);
176           for (size_t k = 0; k != n; k++) {
177               r[k] = b[k](i);
178           }
179           vector<double> xi = cagd::multiply(Ainv, r);
180           for (size_t k = 0; k != n; k++) {
181               x[k](i) = xi[k];
182           }
183       }
184       return 0;
185   }

```

13. (Declaration of **cagd** functions 5) +=

```

186   int solve_tridiagonal_system(
187       const vector<double> &,
188       const vector<double> &,
189       const vector<double> &,
190       const vector<point> &,
191       vector<point> &);

```

14. Ahlberg-Nilson-Walsh Algorithm. (Solution of a cyclic tridiagonal system.)

Tridiagonal system을 구성하는 관계식이 시작점과 끝점에서도 꼬리에 꼬리를 무는 형태로 반복되는 경우 cyclic tridiagonal system이라 부르며, Ahlberg-Nilson-Walsh algorithm (Clive Temperton, “Algorithms for the Solution of Cyclic Tridiagonal Systems,” *J. Computational Physics*, **19**(3), 1975, pp. 317–323)을 참조하면 일반적인 linear system의 해법을 쓰지 않고 변형된 tridiagonal system으로 풀 수 있다.

방정식

$$\begin{pmatrix} \beta_1 & \gamma_1 & & & \alpha_1 \\ \alpha_2 & \beta_2 & \gamma_2 & & \\ & & \ddots & & \\ & & & \alpha_{n-1} & \beta_{n-1} & \gamma_{n-1} \\ \gamma_n & & & \alpha_n & \beta_n \end{pmatrix} \begin{pmatrix} x_1 \\ \vdots \\ x_n \end{pmatrix} = \begin{pmatrix} b_1 \\ \vdots \\ b_n \end{pmatrix}$$

이 주어졌을 때,

$$\left(\begin{array}{cccc|c} \beta_1 & \gamma_1 & & & \alpha_1 \\ \alpha_2 & \beta_2 & \gamma_2 & & \\ & & \ddots & & \\ & & & \alpha_{n-1} & \beta_{n-1} & \gamma_{n-1} \\ \hline \gamma_n & & & \alpha_n & \beta_n \end{array} \right) = \begin{pmatrix} E & f \\ g^\top & h \end{pmatrix}, \quad \begin{pmatrix} x_1 \\ \vdots \\ x_{n-1} \\ x_n \end{pmatrix} = \begin{pmatrix} \hat{\mathbf{x}} \\ x_n \end{pmatrix}, \quad \begin{pmatrix} b_1 \\ \vdots \\ b_{n-1} \\ b_n \end{pmatrix} = \begin{pmatrix} \hat{\mathbf{b}} \\ b_n \end{pmatrix}$$

으로 치환하면,

$$\begin{aligned} E\hat{\mathbf{x}} + fx_n &= \hat{\mathbf{b}} \\ g^\top \hat{\mathbf{x}} + hx_n &= b_n \end{aligned}$$

이고, tridiagonal matrix E 는 쉽게 역행렬을 구할 수 있으므로

$$\hat{\mathbf{x}} = E^{-1}(\hat{\mathbf{b}} - fx_n)$$

을 두 번째 방정식에 대입하면

$$x_n = \frac{b_n - g^\top E^{-1} \hat{\mathbf{b}}}{h - g^\top E^{-1} f}$$

이고,

$$\hat{\mathbf{x}} = E^{-1} \left(\hat{\mathbf{b}} - f \frac{b_n - g^\top E^{-1} \hat{\mathbf{b}}}{h - g^\top E^{-1} f} \right)$$

이다.

아래 함수는 입력 인자, α , β , γ 가 각각 α_i , β_i , γ_i 들을 담고 있음을 가정한다.

⟨Implementation of **cagd** functions 4⟩ +≡

```

192   int cagd::solve_cyclic_tridiagonal_system(
193       const vector<double> &alpha,
194       const vector<double> &beta,
195       const vector<double> &gamma,
196       const vector<point> &b,
197       vector<point> &x
198   ) {
199       size_t n = beta.size();
200       vector<double> Einv((n-1)*(n-1), 0.);
201       ⟨Calculate  $E^{-1}$  15⟩;
202       size_t dim = b[0].dim();
203       vector<vector<double>> B(dim, vector<double>(n, 0.));

```

```

204     for (size_t i = 0; i < dim; i++) {
205         for (size_t j = 0; j < n; j++) {
206             B[i][j] = b[j](i + 1);
207         }
208         < Calculate  $x_n$  16 >;
209         < Calculate  $\hat{x}$  17 >;
210         for (size_t j = 0; j < n - 1; j++) {
211             x[j](i + 1) = xhat[j];
212         }
213         x[n - 1](i + 1) = x_n;
214     }
215     return 0;
216 }

```

15. < Calculate E^{-1} 15 > \equiv

```

217     vector<double> l = vector<double>(n - 2, 0.);
218     vector<double> d = vector<double>(n - 1, 0.);
219     vector<double> u = vector<double>(n - 2, 0.);
220     for (size_t j = 0; j < n - 2; j++) {
221         l[j] = alpha[j + 1];
222         d[j] = beta[j];
223         u[j] = gamma[j];
224     }
225     d[n - 2] = beta[n - 2];
226     if (invert_tridiagonal(l, d, u, Einv) < 0) return -1;

```

This code is used in section 14.

16. g 와 f 의 특성으로 인하여

$$\begin{aligned}
 g^\top E^{-1} f &= \gamma_n (\alpha_1 E_{1,1}^{-1} + \gamma_{n-1} E_{1,n-1}^{-1}) + \alpha_n (\alpha_1 E_{n-1,1}^{-1} + \gamma_{n-1} E_{n-1,n-1}^{-1}); \\
 g^\top E^{-1} \hat{\mathbf{b}} &= \gamma_n (E_{1,1}^{-1} b_1 + \cdots + E_{1,n-1}^{-1} b_{n-1}) + \alpha_n (E_{n-1,1}^{-1} b_1 + \cdots + E_{n-1,n-1}^{-1} b_{n-1})
 \end{aligned}$$

이다.

< Calculate x_n 16 > \equiv

```

227     double x_n_den = beta[n - 1] - gamma[n - 1] * (alpha[0] * Einv[0] + gamma[n - 2] * Einv[n - 2]) -
228         alpha[n - 1] * (alpha[0] * Einv[(n - 2) * (n - 1)] + gamma[n - 2] * Einv[(n - 1) * (n - 1) - 1]);
229     double E1b = 0.;
230     double Enb = 0.;
231     for (size_t j = 0; j < n - 1; j++) {
232         E1b += Einv[j] * B[i][j];
233         Enb += Einv[(n - 2) * (n - 1) + j] * B[i][j];
234     }
235     double x_n_num = B[i][n - 1] - gamma[n - 1] * E1b - alpha[n - 1] * Enb;
236     double x_n = x_n_num / x_n_den;

```

This code is used in section 14.

17. \langle Calculate $\hat{\mathbf{x}}$ 17 $\rangle \equiv$

```

236   vector $\langle$ double $\rangle$  bhat_fx(n - 1, 0.);
237   for (size_t j = 0; j  $\neq$  n - 1; j++) {
238       bhat_fx[j] = B[i][j];
239   }
240   bhat_fx[0] -= alpha[0] * x_n;
241   bhat_fx[n - 2] -= gamma[n - 2] * x_n;
242   vector $\langle$ double $\rangle$  xhat = multiply(Einv, bhat_fx);

```

This code is used in section 14.

18. \langle Declaration of **cagd** functions 5 $\rangle + \equiv$

```

243   int solve_cyclic_tridiagonal_system(
244       const vector $\langle$ double $\rangle$  &,
245       const vector $\langle$ double $\rangle$  &,
246       const vector $\langle$ double $\rangle$  &,
247       const vector $\langle$ point $\rangle$  &,
248       vector $\langle$ point $\rangle$  &);

```

19. Test: Cyclic Tridiagonal System.

예제로

$$A = \begin{pmatrix} 2 & 1 & 0 & 0 & 0 & 0 & 1 \\ 1 & 2 & 1 & 0 & 0 & 0 & 0 \\ 0 & 1 & 2 & 1 & 0 & 0 & 0 \\ 0 & 0 & 1 & 2 & 1 & 0 & 0 \\ 0 & 0 & 0 & 1 & 2 & 1 & 0 \\ 0 & 0 & 0 & 0 & 1 & 2 & 1 \\ 1 & 0 & 0 & 0 & 0 & 1 & 2 \end{pmatrix}, \quad \mathbf{b} = \begin{pmatrix} 1 & 7 \\ 2 & 6 \\ 3 & 5 \\ 4 & 4 \\ 5 & 3 \\ 6 & 2 \\ 7 & 1 \end{pmatrix}$$

일 때, $A\mathbf{x} = \mathbf{b}$ 의 해를 구하면,

$$\mathbf{x} = \begin{pmatrix} -5 & 7 \\ 4 & -2 \\ -1 & 3 \\ 1 & 1 \\ 3 & -1 \\ -2 & 4 \\ 7 & -5 \end{pmatrix}$$

이다.

〈Test routines 9〉 +=

```

249   print_title("cyclic_tridiagonal_system");
250   {
251       vector<double> alpha(7, 1.);
252       vector<double> beta(7, 2.);
253       vector<double> gamma(7, 1.);
254       vector<point> b(7, point(2));
255       b[0] = point({1., 7.});
256       b[1] = point({2., 6.});
257       b[2] = point({3., 5.});
258       b[3] = point({4., 4.});
259       b[4] = point({5., 3.});
260       b[5] = point({6., 2.});
261       b[6] = point({7., 1.});
262       vector<point> x(7, point(2));
263       solve_cyclic_tridiagonal_system(alpha, beta, gamma, b, x);
264       cout << "x_=" << endl;
265       for (size_t i = 0; i < 7; i++) {
266           cout << "[" << x[i](1) << ", " << x[i](2) << "]" << endl;
267       }
268   }

```

20. Point in Euclidean space. `point` 타입은 일반적인 n -차원 유클리드 공간에 존재하는 하나의 점을 기술한다.

⟨Definition of `point` 20⟩ ≡

```
269 struct point {
270     ⟨Data members of point 21⟩
271     ⟨Methods of point 24⟩
272 };
```

This code is used in section 2.

21. `point` 타입의 data member는 아주 간단하다. n -차원 유클리드 공간에 존재하는 점은 n 개의 좌표를 저장한다.

⟨Data members of `point` 21⟩ ≡

```
273 vector<double> _elem;
```

This code is used in section 20.

22. `point` 타입에 대하여 적용할 수 있는 method들은

1. 객체에 대한 property들;
2. Constructor들과 destructor;
3. Assignment, 덧셈과 뺄셈, 상수배 등의 연산자들;
4. 점들 사이의 거리를 계산하는 등의 utility 함수들 이 있다.

⟨Implementation of `point` 22⟩ ≡

```
274 ⟨Properties of point 23⟩
275 ⟨Constructors and destructor of point 25⟩
276 ⟨Operators of point 27⟩
277 ⟨Other member functions of point 33⟩
278 ⟨Non-member functions for point 29⟩
```

This code is used in section 3.

23. `point` 타입의 객체가 갖는 property에 접근하기 위한 몇 가지 method들을 정의한다. `dimension()`과 `dim()` method는 `point` 타입의 객체가 몇 차원 공간의 점인지 알려준다.

⟨Properties of `point` 23⟩ ≡

```
279 size_t point::dimension() const {
280     return (this->_elem).size();
281 }
282 size_t point::dim() const {
283     return (this->_elem).size();
284 }
```

This code is used in section 22.

24. ⟨Methods of `point` 24⟩ ≡

```
285 size_t dimension() const;
286 size_t dim() const;
```

See also sections 26, 28, 32, 34, and 36.

This code is used in section 20.

25. **point** 타입의 constructor와 destructor를 정의한다.

- 아무런 argument가 주어지지 않는 경우 몇 차원의 **point** 객체를 생성해야 할지 알 수 없으므로, default constructor의 생성을 방지한다. (C++11 필요.)
- 복사 생성자 (copy constructor)는 직접 정의하고, 임의 갯수의 **double** 타입 인자를 받아 그 갯수만큼의 차원을 갖는 **point** 객체를 생성하기 위하여 **initializer_list**를 이용한 생성자를 구현한다.
- 생성자의 인자로 단 하나의 정수 n 만 주어지면, 모든 원소가 0인 n -차원 **point** 객체를 생성한다.
- **double**타입의 배열로부터 **point** 객체를 생성하는 constructor를 정의한다.

⟨Constructors and destructor of **point** 25⟩ ≡

```

287  point::point(const point &src)
288      : _elem(src._elem) {}
289  point::point(initializer_list<double> v)
290      : _elem(vector<double>(v.begin(), v.end())) {}
291  point::point(const double v1, const double v2, const double v3)
292      : _elem(vector<double>(3))
293  {
294      _elem[0] = v1;
295      _elem[1] = v2;
296      _elem[2] = v3;
297  }
298  point::point(const size_t n)
299      : _elem(vector<double>(n, 0.)) {}
300  point::point(const size_t n, const double *v)
301      : _elem(vector<double>(n, 0.))
302  {
303      for (size_t i = 0; i < n; i++) {
304          _elem[i] = v[i];
305      }
306  }
307  point::~~point() {}

```

This code is used in section 22.

26. ⟨Methods of **point** 24⟩ +≡

```

308  point() = delete ;
309  point(const point &);
310  point(initializer_list<double>);
311  point(const double, const double, const double v3 = 0.);
312  point(const size_t);
313  point(const size_t, const double *);
314  virtual ~point();

```

27. Operators of point. **point** 타입 객체들 사이의 덧셈과 뺄셈, scalar와의 곱셈과 나눗셈을 위한 method 들을 정의한다. 덧셈과 뺄셈, scalar와의 곱셈, 나눗셈의 구현은 매우 자명하므로 설명은 생략한다. 나눗셈의 경우 젯수가 0이면 아무런 연산도 수행하지 않고 그대로 리턴한다.

⟨Operators of **point** 27⟩ ≡

```

315 void point::operator=(const point &src) {
316     _elem = src._elem;
317 }
318 point &point::operator*=(const double s) {
319     size_t sz = this->dim();
320     for (size_t i = 0; i < sz; i++) {
321         (this->_elem[i]) *= s;
322     }
323     return *this;
324 }
325 point &point::operator/=(const double s) {
326     if (s == 0.) return *this;
327     size_t sz = this->dim();
328     for (size_t i = 0; i < sz; i++) {
329         (this->_elem[i]) /= s;
330     }
331     return *this;
332 }
333 point &point::operator+=(const point &pt) {
334     size_t sz_min = min(this->dim(), pt.dim());
335     for (size_t i = 0; i < sz_min; i++) {
336         (this->_elem[i]) += pt._elem[i];
337     }
338     return *this;
339 }
340 point &point::operator-=(const point &pt) {
341     size_t sz_min = min(this->dim(), pt.dim());
342     for (size_t i = 0; i < sz_min; i++) {
343         (this->_elem[i]) -= pt._elem[i];
344     }
345     return *this;
346 }

```

See also section 31.

This code is used in section 22.

28. ⟨Methods of **point** 24⟩ +=

```

347 void operator=(const point &);
348 point &operator*=(const double);
349 point &operator/=(const double);
350 point &operator+=(const point &);
351 point &operator-=(const point &);

```


29. 몇 가지 이항연산자들과 단항연산자(negation)를 추가로 정의한다. 두 개의 **point** 타입 변수 a 와 b 에 대하여 $a + b$ 를 **operator+(point, point)** 함수 내에서 **return** $pt1 += pt2$ 로 구현되어 있다고 해서 a 가 바뀌는 것은 아니다. 이는 함수 호출의 convention이 call-by-value이기 때문에 a 와 b 가 각각 $pt1$ 와 $pt2$ 로 복사되기 때문이다. 따라서 $pt1$ 은 값이 바뀌지만 원래 expression을 구성하는 a 는 바뀌지 않는다.

⟨Non-member functions for **point** 29⟩ ≡

```

352 point cagd::operator*(double s, point pt) {
353     return pt *= s;
354 }
355 point cagd::operator*(point pt, double s) {
356     return pt *= s;
357 }
358 point cagd::operator/(point pt, double s) {
359     return pt /= s;
360 }
361 point cagd::operator+(point pt1, point pt2) {
362     return pt1 += pt2;
363 }
364 point cagd::operator-(point pt1, point pt2) {
365     return pt1 -= pt2;
366 }
367 point cagd::operator-(point pt1) {
368     size_t sz = pt1.dim();
369     cagd::point negated(sz);
370     for (size_t i = 0; i < sz; i++) {
371         negated._elem[i] = -pt1._elem[i];
372     }
373     return negated;
374 }

```

See also section 37.

This code is used in section 22.

30. ⟨Declaration of **cagd** functions 5⟩ +≡

```

375 point operator*(double, point);
376 point operator*(point, double);
377 point operator/(point, double);
378 point operator+(point, point);
379 point operator-(point, point);
380 point operator-(point);

```

31. n -차원 공간에 존재하는 **point** 타입 객체의 i 번째 좌표에 접근하기 위한 subscript operator를 정의한다. C나 C++ 언어에서는 0이 첫 번째 원소를 가리키는 subscript operator를 사용하지만, **point** 객체에서는 i 번째 원소는 인덱스 i 가 가리키도록 구현한다. 특히 subscript operator는 **const** 객체와 non-**const** 객체를 대상으로 호출하는 method를 각각 정의하는데, 코드 중복을 피하기 위하여 후자는 전자에 type casting을 활용하여 정의한다.

비상수 객체를 대상으로 하는 **operator()**가 상수 버전의 **operator()**를 호출하도록 하기 위하여, 비상수 **operator()** 안에서 단순히 **operator()**를 다시 호출하면 그 자신이 재귀적으로 호출된다. 즉 무한 재귀 호출이 되는데, 이것을 방지하기 위하여 “상수 버전의 **operator()**를 호출하고 싶다”는 의미를 코드에 표현해야 한다. 이 때 직접적인 방법이 없으므로 ***this**를 타입 캐스팅해서 비상수 버전의 객체를 상수버전의 객체로 바꾼다. 이는 안전한 타입 변환을 강제로 수행하는 것이므로, **static_cast**만 사용해도 충분하다. 반면, 상수 버전의 **operator()**를 호출해서 반환 받은 객체에서 상수성을 제거하고 비상수 객체를 반환해야 하므로, **const**를 제거해야 하는데, 이는 **const_cast** 이외의 다른 방법이 없다. 따라서, 비상수 버전의 **operator()**는 다음의 순서대로 작동한다.

1. (***this**)의 타입에 **static_cast**를 적용하여 **const** 객체로 변환.

2. 상수 버전의 **operator()**를 호출.

3. 돌려 받은 **double &** 타입에 **const_cast**를 적용하여 상수성을 제거.

끝으로, C나 C++의 일반적인 컨벤션과 달리, 이 연산자는 첫 번째 원소를 얻기 위하여 1을 입력 인자로 넘겨줘야 한다. 주어진 인자가 **point** 객체의 차원을 벗어나면 첫 번째 좌표를 반환한다.

⟨Operators of **point** 27⟩ +=

```

381     const double &point::operator()(const size_t &i) const {
382         size_t size = _elem.size();
383         if ((i < 1) ∨ (size < i)) {
384             return _elem[0];
385         } else {
386             return _elem[i - 1];
387         }
388     }
389     double &point::operator()(const size_t &i) {
390         return const_cast<double &>(static_cast<const point &>(*this)(i));
391     }
392 
```

32. ⟨Methods of **point** 24⟩ +=

```

392     const double &operator()(const size_t &) const;
393     double &operator()(const size_t &);

```

33. **dist()** method는 본 객체와 다른 **point** 타입 객체 사이의 거리(Euclidean distance, 2-norm)을 계산한다. 편의상, 두 객체가 같은 차원의 공간에 놓인 점들이 아니라면 -1.0을 반환한다.

⟨Other member functions of **point** 33⟩ ≡

```

394     double point::dist(const point &pt) const {
395         if (this->dim() ≠ pt.dim()) return -1.;
396         size_t n = this->dim();
397         double sum = 0.0;
398         for (size_t i = 0; i ≠ n; i++) {
399             sum += (_elem[i] - pt._elem[i]) * (_elem[i] - pt._elem[i]);
400         }
401         return std::sqrt(sum);
402     }

```

See also section 35.

This code is used in section 22.

34. \langle Methods of **point** 24 $\rangle + \equiv$

403 **double** *dist*(**const point** &) **const**;

35. Debugging을 위해 **point** 타입 객체에 대한 정보를 출력하는 method를 정의한다.

\langle Other member functions of **point** 33 $\rangle + \equiv$

```
404 string point::description() const {
405     stringstream buffer;
406     buffer << "(";
407     for (size_t i = 0; i ≠ dim() - 1; i++) {
408         buffer << _elem[i] << ", ";
409     }
410     buffer << _elem[dim() - 1] << ")" << endl;
411     return buffer.str();
412 }
```

36. \langle Methods of **point** 24 $\rangle + \equiv$

413 **string** *description*() **const**;

37. **point** 타입의 member method는 아니지만 두 **point** 객체 사이의 거리를 계산하기 위한 utility 함수를 정의한다.

\langle Non-member functions for **point** 29 $\rangle + \equiv$

```
414 double cagd::dist(const point &pt1, const point &pt2) {
415     return pt1.dist(pt2);
416 }
```

38. \langle Declaration of **cagd** functions 5 $\rangle + \equiv$

417 **double** *dist*(**const point** &, **const point** &);

39. Test of **point** type. **point** 객체의 생성과 간단한 연산 기능들을 테스트하고 사용예시를 보여준다.

⟨ Test routines 9 ⟩ +≡

```

418   print_title("operations_on_point_type");
419   {
420     point p0(3);
421     cout << "Dimension_of_p0=" << p0.dim() << ": ";
422     for (size_t i = 0; i < p0.dim(); i++) {
423       cout << p0(i) << " ";
424     }
425     cout << "\n";
426     point p1({1., 2., 3.});
427     cout << "Dimension_of_p1=" << p1.dim() << ": ";
428     for (size_t i = 0; i < p1.dim(); i++) {
429       cout << p1(i) << " ";
430     }
431     cout << "\n";
432     point p2({2., 4., 6.});
433     point p3 = .5 * p1 + .5 * p2;
434     cout << "p3=" << .5 * p1 + .5 * p2 << "\n";
435     for (size_t i = 0; i < p3.dim(); i++) {
436       cout << p3(i) << " ";
437     }
438     cout << "\n";
439     cout << "Distance_from_p0_to_p1=" << dist(p0, p1) << "\n";
440     cout << "It_should_be_3.741657387\n";
441   }

```

40. Generic Curve. `curve` 타입은 컨트롤 포인트에 의하여 모양과 특성이 결정되는 일반적인 곡선을 의미한다. 따라서 데이터 멤버로 `_ctrl_pts`를 갖는다.

한편, 그래픽스 객체를 다루는 경우 가장 쉽고 직관적인 디버깅 방법은 객체를 시각화하는 것이다. `curve` 타입은 PostScript 파일 출력을 위한 data member와 method들을 정의한다.

〈Definition of `curve` 40〉≡

```

442   class curve {
443   protected:
444       vector<point> _ctrl_pts;
445   public:
446       typedef vector<point>::iterator ctrlpt_itr;
447       typedef vector<point>::const_iterator const_ctrlpt_itr;
448       〈Methods of curve 43〉
449   };

```

This code is used in section 2.

41. `curve` 타입에는 PostScript 파일 출력을 위한 method들과 주어진 parameter에 대응하는 곡선의 값과 미분값을 계산하기 위한 method들의 인터페이스를 정의한다. 인터페이스는 pure virtual function으로 정의하므로 구현은 없다.

〈Implementation of `curve` 41〉≡

```

450   〈Properties of curve 42〉
451   〈Access control points of curve 44〉
452   〈Constructor and destructor of curve 48〉
453   〈Methods for debugging of curve 50〉
454   〈Operators of curve 52〉

```

This code is used in section 3.

42. `curve` 타입 객체의 property들 중, 차원을 반환하는 method는 컨트롤 포인트의 차원에 의하여 결정된다. 하지만 곡선의 차수는 아직 정의할 수 없으므로 pure virtual function으로 둔다.

〈Properties of `curve` 42〉≡

```

455   unsigned long curve::dimension() const {
456       if (_ctrl_pts.size() > 0) {
457           return _ctrl_pts.begin()-dim();
458       } else {
459           return 0;
460       }
461   }
462   unsigned long curve::dim() const {
463       return dimension();
464   }

```

This code is used in section 41.

43. 〈Methods of `curve` 43〉≡

```

465   public:
466       virtual unsigned long dimension() const;
467       virtual unsigned long dim() const;
468       virtual unsigned long degree() const = 0;

```

See also sections 45, 46, 47, 49, 51, and 53.

This code is used in section 40.

44. **curve**의 컨트롤 포인트에 접근하기 위한 method를 정의한다. 이 method는 인자 0이 주어졌을 때, 첫 번째 컨트롤 포인트를 반환한다.

⟨ Access control points of **curve 44** ⟩ ≡

```

469   point curve::ctrl_pts(const size_t &i) const {
470       size_t size = _ctrl_pts.size();
471       if ((i < 1) ∨ (size < i)) {
472           return _ctrl_pts[0];
473       } else {
474           return _ctrl_pts[i];
475       }
476   }
477   size_t curve::ctrl_pts_size() const {
478       return _ctrl_pts.size();
479   }

```

This code is used in section 41.

45. ⟨ Methods of **curve 43** ⟩ +≡

```

480   point ctrl_pts(const size_t &) const;
481   size_t ctrl_pts_size() const;

```

46. 곡선, control polygon, control point 들을 PostScript 파일로 출력하는 함수들의 인터페이스는 pure virtual function으로 정의한다.

⟨ Methods of **curve 43** ⟩ +≡

```

482   virtual void write_curve_in_postscript(
483       psf &,
484       unsigned, float,
485       int x = 1, int y = 1,
486       float magnification = 1.) const = 0;
487   virtual void write_control_polygon_in_postscript(
488       psf &,
489       float,
490       int x = 1, int y = 1,
491       float magnification = 1.) const = 0;
492   virtual void write_control_points_in_postscript(
493       psf &,
494       float,
495       int x = 1, int y = 1,
496       float magnification = 1.) const = 0;

```

47. 곡선 위에 있는 점의 위치와 미분을 계산하는 함수들도 pure virtual function으로 정의한다.

⟨ Methods of **curve 43** ⟩ +≡

```

497   public:
498       virtual point evaluate(const double) const = 0;
499       virtual point derivative(const double) const = 0;

```

48. Constructor와 destructor에 특별한 것은 없다.

⟨Constructor and destructor of **curve** 48⟩ ≡

```

500  curve::curve() {}
501  curve::curve(const vector<point> &pts)
502      : _ctrl_pts(pts) {}
503  curve::curve(const list<point> &pts)
504      : _ctrl_pts(vector<point>(pts.size(), pts.begin()-dim())) {
505      list<point>::const_iterator pt(pts.begin());
506      for (size_t i = 0; i ≠ pts.size(); i++) {
507          _ctrl_pts[i] = *pt;
508          pt++;
509      }
510  }
511  curve::curve(const curve &src)
512      : _ctrl_pts(src._ctrl_pts) {}
513  curve::~~curve() {}

```

This code is used in section 41.

49. ⟨Methods of **curve** 43⟩ +≡

```

514  public:
515      curve();
516      curve(const vector<point> &);
517      curve(const list<point> &);
518      curve(const curve &);
519      virtual ~curve();

```

50. Debugging을 위해 **curve** 타입 객체의 정보를 출력하는 method를 정의한다.

⟨Methods for debugging of **curve** 50⟩ ≡

```

520  string curve::description() const {
521      stringstream buffer;
522      buffer << "-----" << endl;
523      buffer << "Description of Curve" << endl;
524      buffer << "-----" << endl;
525      buffer << "Dimension of curve:" << dim() << endl;
526      buffer << "Control points:" << endl;
527      for (size_t i = 0; i ≠ _ctrl_pts.size(); i++) {
528          buffer << "    " << _ctrl_pts[i].description();
529      }
530      return buffer.str();
531  }

```

This code is used in section 41.

51. ⟨Methods of **curve** 43⟩ +≡

```

532  public:
533      string description() const;

```

52. Assignment operator.

⟨ Operators of **curve** 52 ⟩ ≡

```
534   curve &curve::operator=(const curve &crv) {  
535       _ctrl_pts = crv._ctrl_pts;  
536       return *this;  
537   }
```

This code is used in section 41.

53. ⟨ Methods of **curve** 43 ⟩ +≡

```
538   public:  
539       curve &operator=(const curve &);
```


54. Bézier Curve.

bezier 타입은 n -차원 유클리드 공간에 존재하는 컨트롤 포인트를 갖는 Bézier 곡선을 기술한다. 앞에서 정의한 **curve** 타입의 파생 클래스 (derived class)로 정의한다.

〈Definition of **bezier** 54〉 ≡

```
540  class bezier : public curve {
541      〈Data members of bezier 55〉
542      〈Methods of bezier 58〉
543  };
```

This code is used in section 2.

55. bezier 타입은 Bézier 곡선의 차수를 저장하기 위한 *_degree* 변수와, 실제 컨트롤 포인트들을 저장하고 위한 *_ctrl_pts* 변수는 **curve** 타입에서 상속받는다.

〈Data members of **bezier** 55〉 ≡

```
544  protected:
545      unsigned long _degree;
```

This code is used in section 54.

56. bezier 타입에 대한 method들은 다음과 같다.

1. Properties;
2. Constructor들과 destructor;
3. Operators;
4. 곡선상 점들의 위치와 속도, 곡률을 계산하는 methods;
5. 곡선을 임의의 점에서 분할하는 method;
5. 곡선의 차수를 높이거나 낮추기 위한 methods;
6. PostScript 파일로 출력하기 위한 methods.

〈Implementation of **bezier** 56〉 ≡

```
546  〈Properties of bezier 57〉
547  〈Constructors and destructor of bezier 59〉
548  〈Operators of bezier 61〉
549  〈Evaluation of bezier 63〉
550  〈Subdivision of bezier 69〉
551  〈Degree elevation and reduction of bezier 75〉
552  〈Output to PostScript of bezier 81〉
```

This code is used in section 3.

57. bezier 타입의 대표적인 property는 곡선의 차수(degree)와 차원(dimension)이다. 차원에 대한 것은 **curve** 타입에서 정의했으므로, **bezier** 타입에서 별도로 정의하지는 않는다.

〈Properties of **bezier** 57〉 ≡

```
553      unsigned long bezier::degree() const {
554          return _degree;
555      }
```

This code is used in section 56.

58. 〈Methods of **bezier 58〉 ≡**

```
556  public:
557      unsigned long degree() const;
```

See also sections 60, 62, 64, 66, 74, 76, 80, and 82.

This code is used in section 54.

59. 몇 가지 생성자들을 정의한다. 간단한 복사 생성자와 standard library의 **vector** 또는 **list**를 이용하여 컨트롤 포인트들을 넘겨 받았을 때 곡선을 생성하는 생성자들이다.

⟨Constructors and destructor of **bezier** 59⟩ ≡

```

558     bezier::bezier() {}
559     bezier::bezier(const bezier &src) {
560         _degree = src._degree;
561         _ctrl_pts = src._ctrl_pts;
562     }
563     bezier::bezier(vector<point> points) {
564         _degree = points.size() - 1;
565         _ctrl_pts = points;
566     }
567     bezier::bezier(list<point> points) {
568         _degree = points.size() - 1;
569         _ctrl_pts = vector<point>(points.size(), *points.begin());
570         list<point>::const_iterator iter = points.begin();
571         for (size_t i = 0; iter ≠ points.end(); iter++, i++) {
572             _ctrl_pts[i] = *iter;
573         }
574     }
575     bezier::~bezier() {}

```

This code is used in section 56.

60. ⟨Methods of **bezier** 58⟩ +=

```

576     public:
577         bezier();
578         bezier(const bezier &);
579         bezier(vector<point>);
580         bezier(list<point>);
581         virtual ~bezier();

```

61. 다른 **bezier** 객체로부터의 assignment operator.

⟨Operators of **bezier** 61⟩ ≡

```

582     bezier &bezier::operator=(const bezier &src) {
583         _degree = src._degree;
584         curve::operator=(src);
585         return *this;
586     }

```

This code is used in section 56.

62. ⟨Methods of **bezier** 58⟩ +=

```

587     public:
588         bezier &operator=(const bezier &);

```

63. Bézier 곡선상 각 점의 위치와 속도는 de Casteljau의 recursive linear interpolation algorithm을 이용한다.

〈Evaluation of **bezier** 63〉 ≡

```

589 point bezier::evaluate(const double t) const {
590     vector<point> coeff;
591     for (size_t i = 0; i < ctrl_pts.size(); ++i) {
592         coeff.push_back(ctrl_pts[i]);
593     }
594     double t1 = 1.0 - t;
595     for (size_t r = 1; r < degree + 1; r++) {
596         for (size_t i = 0; i < degree - r + 1; i++) {
597             coeff[i] = t1 * coeff[i] + t * coeff[i + 1];
598         }
599     }
600     return coeff[0];
601 }

602 point bezier::derivative(const double t) const {
603     vector<point> coeff;
604     for (size_t i = 0; i < ctrl_pts.size() - 1; ++i) {
605         coeff.push_back(degree * (ctrl_pts[i + 1] - ctrl_pts[i]));
606     }
607     double t1 = 1.0 - t;
608     for (size_t r = 1; r < degree; r++) {
609         for (size_t i = 0; i < degree - r; i++) {
610             coeff[i] = t1 * coeff[i] + t * coeff[i + 1];
611         }
612     }
613     return coeff[0];
614 }

```

See also section 65.

This code is used in section 56.

64. 〈Methods of **bezier** 58〉 +≡

```

615 public:
616     point evaluate(const double) const;
617     point derivative(const double) const;

```

65. Bézier 곡선의 임의의 점에서 곡률을 계산하는 method를 정의한다. `curvature_at_zero()` 함수는 곡선 시작점에서의 곡률을 계산한다. `signed_curvature()` 함수는 b 부터 e 까지로 한정되는 곡선의 일부 구간에 대하여 곡률을 계산한다. 먼저 곡률을 계산할 구간을 $density$ 개의 등간격으로 나누고, 각 지점에서 Bézier 곡선의 subdivision을 구한다. 계산의 수치적 안정성을 위하여 둘로 나뉜 곡선 조각들 중 큰 쪽에서 `curvature_at_zero()` 함수를 이용하여 곡률을 계산하고 그 결과를 하나의 **vector** 객체에 담아 반환한다. `curvature_at_zero()` 함수는 `signed_area()` 함수를 이용하여 부호가 붙은 곡률을 반환하므로, 곡선의 전반부에서 계산하는 곡률은 부호를 반대로 뒤집어서 반환함에 유의한다.

⟨Evaluation of **bezier** 63⟩ +=

```

618 double
619 bezier::curvature_at_zero() const {
620     double dist = cagd::dist(_ctrl_pts[0], _ctrl_pts[1]);
621     return 2.0 * (_degree - 1) *
622     cagd::signed_area(_ctrl_pts[0], _ctrl_pts[1], _ctrl_pts[2]) / (_degree * dist * dist * dist);
623 }
624 vector<point>
625 bezier::signed_curvature(const unsigned density, const double b, const double e) const {
626     /* b: begin of the interval. e: end of the interval. */
627     double delta = (e - b) / density;
628     unsigned half = density / 2;
629     vector<point> kappa;
630     for (size_t i = 0; i <= density; i++) {
631         double t = b + i * delta;
632         bezier left(*this);
633         bezier right(*this);
634         if (i <= half) {
635             subdivision(t, left, right);
636             double h = right.curvature_at_zero();
637             kappa.push_back(point({t, h}));
638         } else {
639             subdivision(t, left, right);
640             double h = left.curvature_at_zero();
641             kappa.push_back(point({t, std::fabs(-h)}));
642         }
643     }
644     return kappa;
645 }

```

66. ⟨Methods of **bezier** 58⟩ +=

```

645 public:
646     double curvature_at_zero() const;
647     vector<point> signed_curvature(const unsigned, const double b = 0., const double e = 1.) const;

```

67. `signed_area()` 함수는 2-차원 평면상에 존재하는 세 개의 점으로 이루어지는 삼각형의 면적을 계산한다.

⟨Implementation of **cagd** functions 4⟩ +=

```

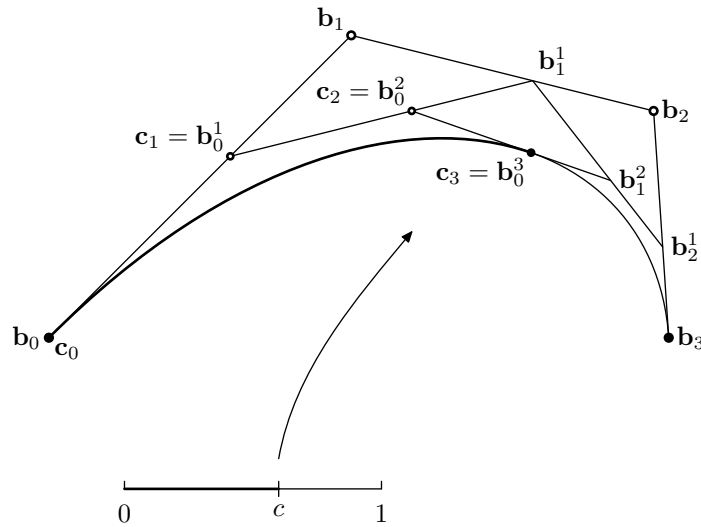
648 double cagd::signed_area(const point p1, const point p2, const point p3) {
649     double area;
650     area = ((p2(1) - p1(1)) * (p3(2) - p1(2)) - (p2(2) - p1(2)) * (p3(1) - p1(1))) / 2.0;
651     return area;
652 }

```

68. \langle Declaration of **cagd** functions 5 $\rangle + \equiv$

653 **double** *signed_area*(**const point**, **const point**, **const point**);

69. Bézier 곡선을 임의의 점에서 두 개의 곡선으로 분할하는 method를 정의한다. 이해를 돕기 위해 컨트롤 포인트 $\mathbf{b}_0, \mathbf{b}_1, \mathbf{b}_2, \mathbf{b}_3$ 로 정의되는 3차 Bézier 곡선을 파라미터 c 인 지점에서 둘로 나누는 과정을 설명한다. Bézier 곡선을 두개로 분할하고 새로운 컨트롤 포인트들을 구하는 것은 de Casteljau 알고리즘을 적용하는 과정과 동일하다. 즉, 선분 $\mathbf{b}_i - \mathbf{b}_{i+1}$ 을 $c : 1 - c$ 로 내분하는 점을 $\mathbf{b}_i^1(c)$, ($i = 0, 1, 2$)이라 하고, 다시 선분 $\mathbf{b}_i^1(c) - \mathbf{b}_{i+1}^1(c)$ 를 $c : 1 - c$ 로 내분하는 점을 $\mathbf{b}_i^2(c)$ ($i = 0, 1$), 또 선분 $\mathbf{b}_i^2(c) - \mathbf{b}_{i+1}^2(c)$ 를 $c : 1 - c$ 로 내분하는 점을 $\mathbf{b}_i^3(c)$ ($i = 0$)이라 하자. 그러면 파라미터 $[0, c]$ 구간에 해당하는 곡선의 분할에 대한 새로운 컨트롤 포인트들은 $\mathbf{c}_0 = \mathbf{b}_0$, $\mathbf{c}_1 = \mathbf{b}_0^1(c)$, $\mathbf{c}_2 = \mathbf{b}_0^2(c)$, $\mathbf{c}_3 = \mathbf{b}_0^3(c)$ 가 된다. $[c, 1]$ 구간도 마찬가지로 de Casteljau 알고리즘에 의해 얻어지는 중간 단계의 점들이 새로운 컨트롤 포인트가 된다.



\langle Subdivision of **bezier** 69 $\rangle \equiv$

```
654 void bezier::subdivision(double t, bezier &left, bezier &right) const {
655     double t1 = 1.0 - t;
656     vector<point> points; /* temporary store */
657      $\langle$  Obtain the right subpolygon of Bézier curve 70  $\rangle$ ;
658      $\langle$  Obtain the left subpolygon of Bézier curve 72  $\rangle$ ;
659 }
```

This code is used in section 56.

70. 우측, 즉 파라미터 $[c, 1]$ 구간에 대한 control polygon을 구한다. 먼저 control point들을 temporary store에 복사하고, 그 point들에 de Casteljau 알고리즘을 적용하여 subpolygon의 control point들을 구한다. Temporary store에 있던 결과가 우측 부분 곡선의 control point들이므로 그것들을 복사해 온다.

\langle Obtain the right subpolygon of Bézier curve 70 $\rangle \equiv$

```
660 right._ctrl_pts.clear();
661 right._degree = _degree;
662 for (size_t i = 0; i != _ctrl_pts.size(); i++) {
663     points.push_back(_ctrl_pts[i]);
664 }
665  $\langle$  Obtain the right subpolygon using the de Casteljau algorithm 71  $\rangle$ ;
666 for (size_t i = 0; i != (_degree + 1); i++) {
667     right._ctrl_pts.push_back(points[i]);
668 }
```

This code is used in section 69.

71. 〈Obtain the right subpolygon using the de Casteljau algorithm 71〉 ≡

```

669   for (size_t r = 1; r ≠ _degree + 1; r++) {
670       for (size_t i = 0; i ≠ _degree - r + 1; i++) {
671           points[i] = t1 * points[i] + t * points[i + 1];
672       }
673   }

```

This code is used in section 70.

72. 왼쪽, 즉 파라미터 $[0, c]$ 구간에 대한 control polygon을 구한다. 방법은 오른쪽 부분 곡선을 구할때와 마찬가지로인데, control point들을 temporary store에 역순으로 복사하고 t 를 $1 - t$ 로 바꿔 놓은 후 de Casteljau 알고리즘을 적용한다. 즉, 곡선과 파라미터를 모두 뒤집어 놓고 같은 과정을 반복하는 것이다.

〈Obtain the left subpolygon of Bézier curve 72〉 ≡

```

674   t = 1.0 - t;
675   t1 = 1.0 - t1;
676   points.clear();
677   left._ctrl_pts.clear();
678   left._degree = _degree;
679   unsigned long index = _degree;
680   for (size_t i = 0; i ≠ _ctrl_pts.size(); i++) { /* Reverse order. */
681       points[index--] = _ctrl_pts[i];
682   }
683   〈Obtain the left subpolygon using de Casteljau algorithm 73〉;
684   for (size_t i = 0; i ≠ _degree + 1; i++) {
685       left._ctrl_pts.push_back(points[i]);
686   }

```

This code is used in section 69.

73. 〈Obtain the left subpolygon using de Casteljau algorithm 73〉 ≡

```

687   for (size_t r = 1; r ≠ _degree + 1; r++) {
688       for (size_t i = 0; i ≠ _degree - r + 1; i++) {
689           points[i] = t1 * points[i] + t * points[i + 1];
690       }
691   }

```

This code is used in section 72.

74. 〈Methods of bezier 58〉 +=

```

692   public:
693       void subdivision(const double, bezier &, bezier &) const;

```

75. Bézier 곡선의 차수를 높이는 method를 구현한다. `elevate_degree()`는 Bézier 곡선의 차수를 하나 높이며, 여러 차수를 한번에 높이려면 recursion을 수행한다. 따라서 method 시작부분에서는 오류처리와 종료조건을 점검하며, 그 이후에는 컨트롤 포인트를 하나 추가하는 작업을 한다. 만약 현재 곡선의 차수보다 낮은 차수로 올리려고 하면 (nonsense!), “degree elevation failure” 라는 메시지를 갖는 객체를 throw 한다.

⟨Degree elevation and reduction of **bezier** 75⟩ ≡

```

694 void bezier::elevate_degree(unsigned long dgr) {
695     if (_degree > dgr) {
696         throw std::runtime_error
697             {"degree_elevation_failure"};
698     }
699     return;
700     if (_degree == dgr) {
701         return;
702     }
703     _degree++;
704     point backup_point = _ctrl_pts[0];
705     unsigned long counter = 1;
706     for (size_t i = 1; i != _ctrl_pts.size(); ++i) {
707         point tmp_point = backup_point;
708         backup_point = _ctrl_pts[i];
709         double ratio = double(counter)/double(_degree);
710         _ctrl_pts[i] = ratio * tmp_point + (1.0 - ratio) * backup_point;
711         counter++;
712     }
713     _ctrl_pts.push_back(backup_point);
714     return elevate_degree(dgr);
715 }
```

See also section 79.

This code is used in section 56.

76. ⟨Methods of **bezier** 58⟩ +=

```

716 public:
717     void elevate_degree(unsigned long);
```

77. 다음에 정의할 함수를 위해 먼저 factorial을 구하는 함수를 **cagd** namespace에 정의한다.

⟨Implementation of **cagd** functions 4⟩ +=

```

718 unsigned long cagd::factorial(unsigned long n) {
719     if (n ≤ 0) {
720         return 1UL;
721     } else {
722         return n * factorial(n - 1);
723     }
724 }
```

78. ⟨Declaration of **cagd** functions 5⟩ +=

```

725 unsigned long factorial(unsigned long);
```

79. Bézier 곡선의 차수를 낮추는 method를 구현한다. 이 함수도 차수를 하나씩 낮추도록 구현되어 있으며, 한번에 여러 차수를 낮추려면 recursion을 수행한다.

앞에서 설명했듯이, n 차 Bézier 곡선을 정확하게 $n+1$ 차 Bézier 곡선으로 차수를 높이는 것은 가능하지만, $n+1$ 차 Bézier 곡선의 형상 변화 없이 n 차 Bézier 곡선으로 차수를 낮추는 것은 불가능하다. 어느 정도 곡선의 변화를 수반할 수 밖에 없는데, 이는 $n+2$ 개의 컨트롤 포인트들, $\mathbf{b}_i^{(1)}$ ($i = 0, \dots, n+1$)을 $n+1$ 개의 컨트롤 포인트들, \mathbf{b}_i ($i = 0, \dots, n$)로 근사화하는 다음의 문제로 이해할 수 있다. (n 차 Bézier 곡선은 $n+1$ 개의 컨트롤 포인트들을 갖는다.)

$$\begin{pmatrix} 1 & & & & & \\ * & * & & & & \\ & * & * & & & \\ & & & \ddots & & \\ & & & & * & * \\ & & & & & 1 \end{pmatrix} \begin{pmatrix} \mathbf{b}_0 \\ \vdots \\ \mathbf{b}_n \end{pmatrix} = \begin{pmatrix} \mathbf{b}_0^{(1)} \\ \vdots \\ \mathbf{b}_{n+1}^{(1)} \end{pmatrix}.$$

이를 다시 줄여 쓰면,

$$M\mathbf{B} = \mathbf{B}^{(1)}$$

이며, M 은 $(n+2) \times (n+1)$ 행렬이다. 이는 정방행렬이 아니므로 위의 등식을 풀기 위하여 양변에 M^\top 을 곱하면,

$$M^\top M\mathbf{B} = M^\top \mathbf{B}^{(1)}$$

으로 $M^\top M$ 이 정방행렬이므로 역행렬을 구해서 양변에 곱함으로써 해를 구할 수 있다. M 행렬 주대각의 첫 번째원소와 마지막 원소가 1인 것은 Bézier 곡선의 차수를 낮추더라도 시작점과 끝점은 그대로 유지하기 위함이다.

만약 현재 곡선의 차수보다 높은 차수로 낮추려고 하면 (nonsense!) “degree reduction failure” 메시지를 갖는 객체를 throw 한다.

(Degree elevation and reduction of bezier 75) +=

```

726 void bezier::reduce_degree(const unsigned long dgr) {
727     if (_degree < dgr) {
728         throw std::runtime_error
729             {"degree_reduction_failure"};
730     }
731     return;
732     if (_degree == dgr) {
733         return;
734     }
735     vector<point> l2r;
736     l2r.push_back(_ctrl_pts[0]);
737     unsigned long counter = 1;
738     for (size_t i = 1; i != _ctrl_pts.size() - 1; ++i) {
739         l2r.push_back(((double)(_degree) * _ctrl_pts[i] - double(counter) * (l2r.back()))/double(_degree -
740             counter));
741         counter++;
742     }
743     vector<point> r2l_reversed;
744     r2l_reversed.push_back(_ctrl_pts.back());
745     counter = _degree;
746     for (size_t i = _ctrl_pts.size() - 2; i != 0; --i) {
747         r2l_reversed.push_back(((double)(_degree) * (_ctrl_pts[i]) - double(_degree - counter) *
748             r2l_reversed.front())/double(counter));
749         counter--;

```



```

748     }
749     vector<point> r2l;
750     size_t r2l_reversed_size = r2l_reversed.size();
751     for (size_t i = 0; i ≠ r2l_reversed_size; i++) {
752         r2l.push_back(r2l_reversed.back());
753         r2l_reversed.pop_back();
754     }
755     point backup1 = _ctrl_pts[0];
756     point backup2 = _ctrl_pts.back();
757     _ctrl_pts.clear();
758     _ctrl_pts.push_back(backup1);
759     for (size_t i = 1; i ≤ _degree - 2; ++i) {
760         unsigned long combi = 0;
761         for (size_t j = 0; j ≤ i; ++j) {
762             combi += cagd::factorial(2 * _degree) / (cagd::factorial(2 * j) * cagd::factorial(2 * (_degree - j)));
763         }
764         double lambda = double(combi) / std::pow(2., 2 * _degree - 1);
765         _ctrl_pts.push_back((1.0 - lambda) * l2r[i] + lambda * r2l[i]);
766     }
767     _ctrl_pts.push_back(backup2);
768     _degree--;
769     return reduce_degree(dgr);
770 }

80. <Methods of bezier 58> +≡
771 public:
772     void reduce_degree(const unsigned long);

```

81. Bézier curve의 PostScript 출력을 위한 몇 가지 함수들을 정의한다. *write_curve_in_postscript()* 함수는 Bézier 곡선을 그리기 위한 함수. PostScript은 2-차원 평면 용지에 페이지를 기술하는 언어이므로, n -차원 공간에 존재하는 Bézier 곡선의 몇 번째와 몇 번째 좌표를 그릴 것인지 지정해야 한다. 만약 아무런 지정이 없으면, 첫 번째와 두 번째 좌표를 출력한다.

〈Output to PostScript of **bezier** 81〉 \equiv

```

773 void bezier :: write_curve_in_postscript(
774     psf &ps_file,
775     unsigned step,
776     float line_width,
777     int x, int y,
778     float magnification
779 ) const {
780     ios_base :: fmtflags previous_options = ps_file.flags();
781     ps_file.precision(4);
782     ps_file.setf(ios_base :: fixed, ios_base :: floatfield);
783     ps_file << "newpath" << endl << "[ ] 0 setdash" << line_width << " setlinewidth" << endl;
784     point pt = magnification * evaluate(0);
785     ps_file << pt(x) << "\t" << pt(y) << "\t" << "moveto" << endl;
786     for (size_t i = 1; i ≤ step; i++) {
787         double t = double(i)/double(step);
788         pt = magnification * evaluate(t);
789         ps_file << pt(x) << "\t" << pt(y) << "\t" << "lineto" << endl;
790     }
791     ps_file << "stroke" << endl;
792     ps_file.flags(previous_options);
793 }

794 void bezier :: write_control_polygon_in_postscript(
795     psf &ps_file,
796     float line_width,
797     int x, int y,
798     float magnification
799 ) const {
800     ios_base :: fmtflags previous_options = ps_file.flags();
801     ps_file.precision(4);
802     ps_file.setf(ios_base :: fixed, ios_base :: floatfield);
803     ps_file << "newpath" << endl;
804     ps_file << "[ ] 0 setdash" << .5 * line_width << " setlinewidth" << endl;
805     point pt = magnification * _ctrl_pts[0];
806     ps_file << pt(x) << "\t" << pt(y) << "\t" << "moveto" << endl;
807     for (size_t i = 1; i ≠ _ctrl_pts.size(); ++i) {
808         pt = magnification * _ctrl_pts[i];
809         ps_file << pt(x) << "\t" << pt(y) << "\t" << "lineto" << endl;
810     }
811     ps_file << "stroke" << endl;
812     ps_file.flags(previous_options);
813 }

814 void bezier :: write_control_points_in_postscript(
815     psf &ps_file,
816     float line_width,
817     int x, int y,

```

```

818         float magnification
819         ) const {
820     ios_base::fmtflags previous_options = ps_file.flags();
821     ps_file.precision(4);
822     ps_file.setf(ios_base::fixed, ios_base::floatfield);
823     ps_file << "0_setgray" << endl;
824     ps_file << "newpath" << endl;
825     point pt = magnification * _ctrl_pts[0];
826     ps_file << pt(x) << "\t" << pt(y) << "\t";
827     ps_file << (line_width * 3) << "\t" << 0.0 << "\t" << 360 << "\t" << "arc" << endl;
828     ps_file << "closepath" << endl;
829     ps_file << "fill_stroke" << endl;
830     if (_ctrl_pts.size() > 2) {
831         for (size_t i = 1; i < _ctrl_pts.size(); ++i) {
832             ps_file << "newpath" << endl;
833             pt = magnification * _ctrl_pts[i];
834             ps_file << pt(x) << "\t" << pt(y) << "\t";
835             ps_file << (line_width * 3) << "\t" << 0.0 << "\t" << 360 << "\t" << "arc" << endl;
836             ps_file << "closepath" << endl;
837             ps_file << line_width << "\t" << "setlinewidth" << endl;
838             ps_file << "stroke" << endl;
839         }
840         ps_file << "0_setgray" << endl;
841         ps_file << "newpath" << endl;
842         pt = magnification * _ctrl_pts.back();
843         ps_file << pt(x) << "\t" << pt(y) << "\t";
844         ps_file << (line_width * 3) << "\t" << 0.0 << "\t" << 360 << "\t" << "arc" << endl;
845         ps_file << "closepath" << endl;
846         ps_file << "fill_stroke" << endl;
847     }
848     ps_file.flags(previous_options);
849 }

```

This code is used in section 56.

82. <Methods of bezier 58> +≡

```

850 void write_curve_in_postscript(
851     psf &, unsigned, float, int x = 1, int y = 2,
852     float magnification = 1.) const;
853 void write_control_polygon_in_postscript(
854     psf &, float, int x = 1, int y = 2,
855     float magnification = 1.) const;
856 void write_control_points_in_postscript(
857     psf &, float, int x = 1, int y = 2,
858     float magnification = 1.) const;

```

83. Piecewise Bézier Curve. 여러개의 Bézier curve들을 모아 한번에 다루기 위한 타입이다. **bezier** 타입 객체들을 저장하기 위한 **vector<bezier>** 타입의 데이터 멤버와 몇 가지 method들을 갖는다. 그리고 **vector**에 들어있는 객체들에 접근하기 위한 iterator의 타입을 선언한다.

〈Definition of **piecewise_bezier_curve** 83〉≡

```

859 class piecewise_bezier_curve : public curve {
860     protected:
861         vector<bezier> _curves;
862     public:
863         typedef vector<bezier>::const_iterator const_curve_itr;
864         typedef vector<bezier>::iterator curve_itr;
865         〈Methods of piecewise_bezier_curve 86〉
866     };

```

This code is used in section 2.

84. piecewise_bezier_curve 타입의 method들은 다음과 같다.

〈Implementation of **piecewise_bezier_curve** 84〉≡

```

867     〈Constructors and destructor of piecewise_bezier_curve 85〉
868     〈Properties of piecewise_bezier_curve 87〉
869     〈Modification of piecewise_bezier_curve 89〉
870     〈Operators of piecewise_bezier_curve 91〉
871     〈Degree elevation and reduction of piecewise_bezier_curve 93〉
872     〈Evaluation and derivative of piecewise_bezier_curve 95〉
873     〈PostScript output of piecewise_bezier_curve 97〉

```

This code is used in section 3.

85. piecewise_bezier_curve 타입은 default constructor와 copy constructor를 갖는다.

〈Constructors and destructor of **piecewise_bezier_curve** 85〉≡

```

874     piecewise_bezier_curve::piecewise_bezier_curve() {}
875     piecewise_bezier_curve::piecewise_bezier_curve(const piecewise_bezier_curve &r)
876     : curve::curve(r), _curves(r._curves) {}
877     piecewise_bezier_curve::~~piecewise_bezier_curve() {}

```

This code is used in section 84.

86. 〈Methods of **piecewise_bezier_curve 86〉**≡

```

878     public:
879         piecewise_bezier_curve();
880         piecewise_bezier_curve(const piecewise_bezier_curve &);
881         virtual ~piecewise_bezier_curve();

```

See also sections 88, 90, 92, 94, 96, and 98.

This code is used in section 83.

87. `piecewise_bezier_curve` 타입 객체의 몇 가지 property들을 정의한다. 객체가 포함하는 Bézier 곡선이 모두 같은 차수를 갖는 것은 아니므로, `piecewise_bezier_curve` 타입 객체의 차수는 그것이 갖고 있는 Bézier 곡선들 중 가장 높은 차수로 정의한다. 그러나 차원은 모든 곡선들에 대하여 동일하므로, 편의상 첫 번째 곡선의 차원을 반환한다.

⟨Properties of `piecewise_bezier_curve` 87⟩ ≡

```

882     size_t piecewise_bezier_curve::count() const {
883         return _curves.size();
884     }
885     unsigned long piecewise_bezier_curve::dimension() const {
886         if (_curves.size() ≠ 0) {
887             return _curves.begin()-dimension();
888         } else {
889             return 0;
890         }
891     }
892     unsigned long piecewise_bezier_curve::dim() const {
893         return dimension();
894     }
895     unsigned long piecewise_bezier_curve::degree() const {
896         unsigned long dgr = 0;
897         for (const_curve_itr crv = _curves.begin(); crv ≠ _curves.end(); crv++) {
898             if (crv-degree() > dgr) {
899                 dgr = crv-degree();
900             }
901         }
902         return dgr;
903     }

```

This code is used in section 84.

88. ⟨Methods of `piecewise_bezier_curve` 86⟩ +=

```

904     public:
905         size_t count() const;
906         unsigned long dimension() const;
907         unsigned long dim() const;
908         unsigned long degree() const;

```

89. `piecewise_bezier_curve` 타입 객체에 `bezier` 타입 객체를 추가하는 method를 정의한다.

⟨Modification of `piecewise_bezier_curve` 89⟩ ≡

```

909     void piecewise_bezier_curve::push_back(bezier crv) {
910         _curves.push_back(crv);
911     }

```

This code is used in section 84.

90. ⟨Methods of `piecewise_bezier_curve` 86⟩ +=

```

912     public:
913         void push_back(bezier);

```

91. Operators of `piecewise_bezier_curve`.〈Operators of `piecewise_bezier_curve` 91〉 \equiv

```

914     piecewise_bezier_curve &piecewise_bezier_curve::operator=(const piecewise_bezier_curve
          &crv) {
915         curve::operator=(crv);
916         _curves = crv._curves;
917         return *this;
918     }

```

This code is used in section 84.

92. 〈Methods of `piecewise_bezier_curve` 86〉 $+\equiv$

```

919     public:
920     piecewise_bezier_curve &operator=(const piecewise_bezier_curve &);

```

93. `piecewise_bezier_curve` 타입 객체에 포함되어 있는 모든 곡선들의 차수를 높이거나 낮추는 method를 정의한다.

〈Degree elevation and reduction of `piecewise_bezier_curve` 93〉 \equiv

```

921     void piecewise_bezier_curve::elevate_degree(const unsigned long dgr) {
922         for (curve_itr crv = _curves.begin(); crv != _curves.end(); crv++) {
923             crv->elevate_degree(dgr);
924         }
925     }
926     void piecewise_bezier_curve::reduce_degree(const unsigned long dgr) {
927         for (curve_itr crv = _curves.begin(); crv != _curves.end(); crv++) {
928             crv->reduce_degree(dgr);
929         }
930     }

```

This code is used in section 84.

94. 〈Methods of `piecewise_bezier_curve` 86〉 $+\equiv$

```

931     public:
932     void elevate_degree(const unsigned long);
933     void reduce_degree(const unsigned long);

```

95. `piecewise_bezier_curve` 타입의 `evaluation`과 `derivative`를 구하는 `method`를 정의한다. 먼저 주어진 인자 u 의 값을 보고 몇 번째 `bezier` 곡선에서 값을 구할지 결정한다. `piecewise_bezier_curve` 객체에 Bézier 곡선이 n 개 포함되어 있다면, $0 \leq u \leq n$ 이어야 한다. 만약 객체 내에 곡선이 하나도 없거나, u 가 적절한 범위 밖의 값으로 주어지면 0을 반환한다.

⟨Evaluation and derivative of `piecewise_bezier_curve` 95⟩ ≡

```

934 point piecewise_bezier_curve::evaluate(const double u) const {
935     if (_curves.size() == 0) return cagd::point(2);
936     double max_u = static_cast<double>(_curves.size());
937     if ((u < 0.) ∨ (max_u < u)) return cagd::point(dimension());
938     size_t index;
939     if (u == max_u) {
940         index = static_cast<long>(u) - 1;
941     } else {
942         index = static_cast<long>(std::floor(u));
943     }
944     return _curves[index].evaluate(u);
945 }
946 point piecewise_bezier_curve::derivative(const double u) const {
947     if (_curves.size() == 0) return cagd::point(2);
948     double max_u = static_cast<double>(_curves.size());
949     if ((u < 0.) ∨ (max_u < u)) return cagd::point(dimension());
950     size_t index;
951     if (u == max_u) {
952         index = static_cast<long>(u) - 1;
953     } else {
954         index = static_cast<long>(std::floor(u));
955     }
956     return _curves[index].derivative(u);
957 }
```

This code is used in section 84.

96. ⟨Methods of `piecewise_bezier_curve` 86⟩ +≡

```

958 public:
959     point evaluate(const double) const;
960     point derivative(const double) const;
```

97. `piecewise_bezier_curve` 타입의 PostScript 출력을 위한 method들이다.

(PostScript output of `piecewise_bezier_curve` 97) ≡

```

961 void piecewise_bezier_curve::write_curve_in_postscript(
962     psf &ps_file,
963     unsigned step,
964     float line_width,
965     int x, int y,
966     float magnification
967 ) const {
968     ios_base::fmtflags previous_options = ps_file.flags();
969     ps_file.precision(4);
970     ps_file.setf(ios_base::fixed, ios_base::floatfield);
971     for (const_curve_itr crv = _curves.begin(); crv ≠ _curves.end(); crv++) {
972         ps_file << "newpath" << endl << "[ ] 0 setdash" << line_width << " setlinewidth" << endl;
973         point pt = magnification * (crv->evaluate(0));
974         ps_file << pt(x) << "\t" << pt(y) << "\t" << "moveto" << endl;
975         for (size_t i = 1; i ≤ step; i++) {
976             double t = double(i)/double(step);
977             pt = magnification * (crv->evaluate(t));
978             ps_file << pt(x) << "\t" << pt(y) << "\t" << "lineto" << endl;
979         }
980         ps_file << "stroke" << endl;
981     }
982     ps_file.flags(previous_options);
983 }
984 void piecewise_bezier_curve::write_control_polygon_in_postscript(
985     psf &ps_file,
986     float line_width,
987     int x, int y,
988     float magnification
989 ) const {
990     ios_base::fmtflags previous_options = ps_file.flags();
991     ps_file.precision(4);
992     ps_file.setf(ios_base::fixed, ios_base::floatfield);
993     for (const_curve_itr crv = _curves.begin(); crv ≠ _curves.end(); crv++) {
994         ps_file << "newpath" << endl;
995         ps_file << "[ ] 0 setdash" << .5 * line_width << " setlinewidth" << endl;
996         point pt = magnification * (crv->ctrl_pts(0));
997         ps_file << pt(x) << "\t" << pt(y) << "\t" << "moveto" << endl;
998         for (size_t i = 1; i ≠ crv->ctrl_pts_size(); ++i) {
999             pt = magnification * (crv->ctrl_pts(i));
1000             ps_file << pt(x) << "\t" << pt(y) << "\t" << "lineto" << endl;
1001         }
1002         ps_file << "stroke" << endl;
1003     }
1004     ps_file.flags(previous_options);
1005 }
1006 void piecewise_bezier_curve::write_control_points_in_postscript(
1007     psf &ps_file,
1008     float line_width,

```



```

1009         int x, int y,
1010         float magnification
1011     ) const {
1012         ios_base::fmtflags previous_options = ps_file.flags();
1013         ps_file.precision(4);
1014         ps_file.setf(ios_base::fixed, ios_base::floatfield);
1015         for (const_curve_itr crv = _curves.begin(); crv != _curves.end(); crv++) {
1016             ps_file << "0_setgray" << endl;
1017             ps_file << "newpath" << endl;
1018             point pt = magnification * (crv->ctrl_pts(0));
1019             ps_file << pt(x) << "\t" << pt(y) << "\t";
1020             ps_file << (line_width * 3) << "\t" << 0.0 << "\t" << 360 << "\t" << "arc" << endl;
1021             ps_file << "closepath" << endl;
1022             ps_file << "fill_stroke" << endl;
1023             if (crv->ctrl_pts_size() > 2) {
1024                 for (size_t i = 1; i != crv->ctrl_pts_size() - 1; ++i) {
1025                     ps_file << "newpath" << endl;
1026                     pt = magnification * (crv->ctrl_pts(i));
1027                     ps_file << pt(x) << "\t" << pt(y) << "\t";
1028                     ps_file << (line_width * 3) << "\t" << 0.0 << "\t" << 360 << "\t" << "arc" << endl;
1029                     ps_file << "closepath" << endl;
1030                     ps_file << line_width << "\t" << "setlinewidth" << endl;
1031                     ps_file << "stroke" << endl;
1032                 }
1033                 ps_file << "0_setgray" << endl;
1034                 ps_file << "newpath" << endl;
1035                 pt = magnification * (crv->ctrl_pts(crv->ctrl_pts_size() - 1));
1036                 ps_file << pt(x) << "\t" << pt(y) << "\t";
1037                 ps_file << (line_width * 3) << "\t" << 0.0 << "\t" << 360 << "\t" << "arc" << endl;
1038                 ps_file << "closepath" << endl;
1039                 ps_file << "fill_stroke" << endl;
1040             }
1041         }
1042         ps_file.flags(previous_options);
1043     }

```

This code is used in section 84.

98. <Methods of `piecewise_bezier_curve` 86> +≡

```

1044 public:
1045     void write_curve_in_postscript(
1046         psf &, unsigned, float, int x = 1, int y = 2,
1047         float magnification = 1.) const;
1048     void write_control_polygon_in_postscript(
1049         psf &, float, int x = 1, int y = 2,
1050         float magnification = 1.) const;
1051     void write_control_points_in_postscript(
1052         psf &, float, int x = 1, int y = 2,
1053         float magnification = 1.) const;

```

99. Test of **piecewise_bezier_curve** type. **piecewise_bezier_curve** 객체를 통한 **bezier** 곡선의 생성과 조작을 보여준다. Traditional Chinese character 중 하나를 골라 글자의 외곽선을 여러개의 Bézier 곡선으로 근사화한다. 곡선의 차수는 3차부터 7차까지 다양하게 섞여 있다. Bézier 곡선들을 하나의 **piecewise_bezier_curve** 객체로 묶은 후, 원래 형상을 PostScript 파일로 기술한다. 그 다음에 **piecewise_bezier_curve** 객체의 차수, 즉 그것을 구성하는 Bézier 곡선들 중 가장 높은 차수에 맞춰 degree elevation을 수행하고 결과를 다른 PostScript 파일에 기술한다. 마지막으로 모든 곡선 조각들을 다시 3차 Bézier 곡선으로 차수를 낮춘 후, 또 다른 PostScript 파일에 기술한다.

〈Test routines 9〉 +≡

```

1054  print_title("piecewise_bezier_curve");
1055  {
1056      piecewise_bezier_curve curves;
1057      vector<point> ctrl_pts;
1058      〈Build-up 3rd brush 100〉;
1059      〈Build-up 2nd, 4th, and 5th brush 101〉;
1060      〈Build-up 1st brush 102〉;
1061      〈Build-up 6th, 7th, 8th, and 9th brush (outer part) 103〉;
1062      〈Build-up 6th, 7th, 8th, and 9th brush (inner part) 104〉;
1063      psf file = create_postscript_file("untouched.ps");    /* Draw original outline. */
1064      curves.write_curve_in_postscript(file, 100, 1.);
1065      curves.write_control_polygon_in_postscript(file, 1.);
1066      curves.write_control_points_in_postscript(file, 1.);
1067      close_postscript_file(file, true);
1068      unsigned long deg = curves.degree();    /* Degree elevation. */
1069      curves.elevate_degree(deg);
1070      file = create_postscript_file("degree_elevated.ps");
1071      curves.write_curve_in_postscript(file, 100, 1.);
1072      curves.write_control_polygon_in_postscript(file, 1.);
1073      curves.write_control_points_in_postscript(file, 1.);
1074      close_postscript_file(file, true);
1075      curves.reduce_degree(3);    /* Degree reduction. */
1076      file = create_postscript_file("degree_reduced.ps");
1077      curves.write_curve_in_postscript(file, 100, 1.);
1078      curves.write_control_polygon_in_postscript(file, 1.);
1079      curves.write_control_points_in_postscript(file, 1.);
1080      close_postscript_file(file, true);
1081  }
```

100. \langle Build-up 3rd brush 100 $\rangle \equiv$

```

1082   ctrl_pts = {point({183, 416}), point({184, 415}), point({185, 413}), point({186, 412}), point({186,
1083           411}), point({186, 409}), point({184, 405}), point({180, 401})};
1084   curves.push_back(bezier(ctrl_pts)); /* 1st curve. */
1085   ctrl_pts = {point({180, 401}), point({176, 397}), point({172, 394}), point({154, 359}), point({140,
1086           333}), point({126, 312})};
1087   curves.push_back(bezier(ctrl_pts)); /* 2nd curve. */
1088   ctrl_pts = {point({126, 312}), point({103, 278}), point({79, 252}), point({53, 235})};
1089   curves.push_back(bezier(ctrl_pts)); /* 3rd curve. */
1090   ctrl_pts = {point({53, 235}), point({46, 230}), point({42, 228}), point({37, 231})};
1091   curves.push_back(bezier(ctrl_pts)); /* 4th curve. */
1092   ctrl_pts = {point({37, 231}), point({37, 223}), point({39, 236}), point({43, 243}), point({45, 246}),
1093           point({62, 266}), point({76, 288}), point({89, 313})};
1094   curves.push_back(bezier(ctrl_pts)); /* 5th curve. */
1095   ctrl_pts = {point({89, 313}), point({102, 339}), point({115, 369}), point({127, 404})};
1096   curves.push_back(bezier(ctrl_pts)); /* 6th curve. */
1097   ctrl_pts = {point({127, 404}), point({117, 400}), point({107, 395}), point({97, 392})};
1098   curves.push_back(bezier(ctrl_pts)); /* 7th curve. */
1099   ctrl_pts = {point({97, 392}), point({86, 388}), point({81, 386}), point({74, 386}), point({67, 388}),
1100           point({57, 394})};
1101   curves.push_back(bezier(ctrl_pts)); /* 8th curve. */
1102   ctrl_pts = {point({57, 394}), point({46, 399}), point({41, 403}), point({42, 406}), point({43, 407}),
1103           point({44, 407})};
1104   curves.push_back(bezier(ctrl_pts)); /* 9th curve. */
1105   ctrl_pts = {point({44, 407}), point({46, 408}), point({50, 409}), point({68, 409}), point({81, 410}),
1106           point({94, 413})};
1107   curves.push_back(bezier(ctrl_pts)); /* 10th curve. */
1108   ctrl_pts = {point({94, 413}), point({106, 416}), point({115, 419}), point({123, 425}), point({127,
1109           428}), point({135, 439}), point({139, 441}), point({143, 441})};
1110   curves.push_back(bezier(ctrl_pts)); /* 11th curve. */
1111   ctrl_pts = {point({143, 441}), point({148, 441}), point({156, 438}), point({169, 429}), point({175,
1112           423}), point({183, 416})};
1113   curves.push_back(bezier(ctrl_pts)); /* 12th curve. */

```

This code is used in section 99.

101. 〈Build-up 2nd, 4th, and 5th brush 101〉 ≡

```

1106   ctrl_pts = {point({545, 226}), point({547, 225}), point({550, 223}), point({554, 217}), point({555,
1107           215}), point({555, 211}), point({547, 208}), point({532, 206})};
1108   curves.push_back(bezier(ctrl_pts));    /* 13th curve. */
1109   ctrl_pts = {point({532, 206}), point({517, 204}), point({501, 203}), point({482, 203})};
1110   curves.push_back(bezier(ctrl_pts));    /* 14th curve. */
1111   ctrl_pts = {point({482, 203}), point({460, 203}), point({430, 217}), point({392, 247})};
1112   curves.push_back(bezier(ctrl_pts));    /* 15th curve. */
1113   ctrl_pts = {point({392, 247}), point({329, 299}), point({265, 366}), point({230, 410})};
1114   curves.push_back(bezier(ctrl_pts));    /* 16th curve. */
1115   ctrl_pts = {point({230, 410}), point({230, 349}), point({230, 288}), point({230, 227})};
1116   curves.push_back(bezier(ctrl_pts));    /* 17th curve. */
1117   ctrl_pts = {point({230, 227}), point({230, 215}), point({228, 204}), point({224, 193})};
1118   curves.push_back(bezier(ctrl_pts));    /* 18th curve. */
1119   ctrl_pts = {point({224, 193}), point({219, 178}), point({211, 171}), point({196, 171}), point({190,
1120           176}), point({174, 201}), point({169, 208}), point({169, 209})};
1121   curves.push_back(bezier(ctrl_pts));    /* 19th curve. */
1122   ctrl_pts = {point({169, 209}), point({160, 217}), point({152, 226}), point({135, 243}), point({131,
1123           248}), point({131, 250})};
1124   curves.push_back(bezier(ctrl_pts));    /* 20th curve. */
1125   ctrl_pts = {point({131, 250}), point({133, 252}), point({135, 253}), point({140, 253}), point({149,
1126           251}), point({163, 246})};
1127   curves.push_back(bezier(ctrl_pts));    /* 21st curve. */
1128   ctrl_pts = {point({163, 246}), point({170, 243}), point({175, 242}), point({188, 242}), point({192,
1129           247}), point({192, 258})};
1130   curves.push_back(bezier(ctrl_pts));    /* 22nd curve. */
1131   ctrl_pts = {point({192, 258}), point({192, 342}), point({192, 426}), point({192, 509})};
1132   curves.push_back(bezier(ctrl_pts));    /* 23rd curve. */
1133   ctrl_pts = {point({192, 509}), point({192, 515}), point({192, 519}), point({189, 525}), point({186,
1134           526}), point({175, 526}), point({166, 523}), point({154, 517})};
1135   curves.push_back(bezier(ctrl_pts));    /* 24th curve. */
1136   ctrl_pts = {point({154, 517}), point({143, 511}), point({134, 508}), point({124, 508}), point({117,
1137           510}), point({107, 512})};
1138   curves.push_back(bezier(ctrl_pts));    /* 25th curve. */
1139   ctrl_pts = {point({107, 512}), point({98, 515}), point({93, 518}), point({93, 520})};
1140   curves.push_back(bezier(ctrl_pts));    /* 26th curve. */
1141   ctrl_pts = {point({93, 520}), point({93, 522}), point({95, 523}), point({103, 526}), point({107, 527}),
1142           point({110, 527})};
1143   curves.push_back(bezier(ctrl_pts));    /* 27th curve. */
1144   ctrl_pts = {point({110, 527}), point({122, 530}), point({134, 534}), point({154, 541}), point({165,
1145           545}), point({180, 552}), point({183, 555}), point({188, 560})};
1146   curves.push_back(bezier(ctrl_pts));    /* 28th curve. */
1147   ctrl_pts = {point({188, 560}), point({192, 566}), point({196, 568}), point({204, 568}), point({213,
1148           562}), point({241, 537}), point({248, 529}), point({248, 524})};
1149   curves.push_back(bezier(ctrl_pts));    /* 29th curve. */
1150   ctrl_pts = {point({248, 524}), point({248, 521}), point({246, 517}), point({238, 506}), point({235,
1151           502}), point({235, 501})};
1152   curves.push_back(bezier(ctrl_pts));    /* 30th curve. */
1153   ctrl_pts = {point({235, 501}), point({231, 481}), point({230, 457}), point({230, 437})};
1154   curves.push_back(bezier(ctrl_pts));    /* 31st curve. */
1155   ctrl_pts = {point({230, 437}), point({232.5, 433}), point({235, 429})};
1156   curves.push_back(bezier(ctrl_pts));    /* 32nd curve. */

```

```

1146   ctrl_pts = {point({235, 429}), point({256, 452}), point({280, 486}), point({295, 515})};
1147   curves.push_back(bezier(ctrl_pts)); /* 33rd curve. */
1148   ctrl_pts = {point({295, 515}), point({295, 519}), point({296, 523}), point({298, 530}), point({301,
1149   531}), point({312, 531}), point({321, 528}), point({334, 520})};
1149   curves.push_back(bezier(ctrl_pts)); /* 34th curve. */
1150   ctrl_pts = {point({334, 520}), point({347, 512}), point({354, 505}), point({354, 499})};
1151   curves.push_back(bezier(ctrl_pts)); /* 35th curve. */
1152   ctrl_pts = {point({354, 499}), point({354, 496}), point({351, 493}), point({340, 487}), point({335,
1153   484}), point({330, 482})};
1153   curves.push_back(bezier(ctrl_pts)); /* 36th curve. */
1154   ctrl_pts = {point({330, 482}), point({304, 461}), point({274, 437}), point({243, 416})};
1155   curves.push_back(bezier(ctrl_pts)); /* 37th curve. */
1156   ctrl_pts = {point({243, 416}), point({283, 370}), point({342, 325}), point({413, 283})};
1157   curves.push_back(bezier(ctrl_pts)); /* 38th curve. */
1158   ctrl_pts = {point({413, 283}), point({456, 262}), point({523, 235}), point({545, 226})};
1159   curves.push_back(bezier(ctrl_pts)); /* 39th curve. */

```

This code is used in section 99.

102. ⟨Build-up 1st brush 102⟩ ≡

```

1160   ctrl_pts = {point({245, 638}), point({249, 633}), point({251, 625}), point({251, 614})};
1161   curves.push_back(bezier(ctrl_pts)); /* 40th curve. */
1162   ctrl_pts = {point({251, 614}), point({251, 603}), point({247, 597}), point({240, 597})};
1163   curves.push_back(bezier(ctrl_pts)); /* 41st curve. */
1164   ctrl_pts = {point({240, 597}), point({219, 608}), point({164, 651}), point({151, 666})};
1165   curves.push_back(bezier(ctrl_pts)); /* 42nd curve. */
1166   ctrl_pts = {point({151, 666}), point({152, 667}), point({153, 667}), point({155, 668}), point({156,
1167   668}), point({157, 668})};
1167   curves.push_back(bezier(ctrl_pts)); /* 43rd curve. */
1168   ctrl_pts = {point({157, 668}), point({189, 668}), point({224, 655}), point({245, 638})};
1169   curves.push_back(bezier(ctrl_pts)); /* 44th curve. */

```

This code is used in section 99.

103. 〈Build-up 6th, 7th, 8th, and 9th brush (outer part) 103〉 ≡

```

1170   ctrl_pts = {point({535, 598}), point({537, 596}), point({539, 593}), point({539, 585}), point({537,
1171           581}), point({529, 568}), point({526, 564}), point({526, 564})};
1172   curves.push_back(bezier(ctrl_pts));    /* 45th curve. */
1173   ctrl_pts = {point({526, 564}), point({526, 507}), point({526, 451}), point({526, 394})};
1174   curves.push_back(bezier(ctrl_pts));    /* 46th curve. */
1175   ctrl_pts = {point({526, 394}), point({527, 379}), point({528, 364}), point({529, 348})};
1176   curves.push_back(bezier(ctrl_pts));    /* 47th curve. */
1177   ctrl_pts = {point({529, 348}), point({528, 331}), point({521, 312}), point({510, 307})};
1178   curves.push_back(bezier(ctrl_pts));    /* 48th curve. */
1179   ctrl_pts = {point({510, 307}), point({502, 307}), point({496, 313}), point({489, 334}), point({488,
1180           344}), point({487, 357})};
1181   curves.push_back(bezier(ctrl_pts));    /* 49th curve. */
1182   ctrl_pts = {point({487, 357}), point({459, 356}), point({418, 352}), point({408, 347})};
1183   curves.push_back(bezier(ctrl_pts));    /* 50th curve. */
1184   ctrl_pts = {point({408, 347}), point({408, 335}), point({404, 330}), point({396, 330})};
1185   curves.push_back(bezier(ctrl_pts));    /* 51st curve. */
1186   ctrl_pts = {point({396, 330}), point({382, 336}), point({369, 360}), point({366, 377})};
1187   curves.push_back(bezier(ctrl_pts));    /* 52nd curve. */
1188   ctrl_pts = {point({366, 377}), point({367, 390}), point({371, 421}), point({372, 440})};
1189   curves.push_back(bezier(ctrl_pts));    /* 53rd curve. */
1190   ctrl_pts = {point({372, 440}), point({372, 435}), point({372, 439}), point({372, 554})};
1191   curves.push_back(bezier(ctrl_pts));    /* 54th curve. */
1192   ctrl_pts = {point({372, 554}), point({372, 564}), point({360, 594}), point({355, 603}), point({353,
1193           617}), point({358, 617})};
1194   curves.push_back(bezier(ctrl_pts));    /* 55th curve. */
1195   ctrl_pts = {point({358, 617}), point({365, 617}), point({372, 615}), point({385, 607}), point({392,
1196           603}), point({398, 600})};
1197   curves.push_back(bezier(ctrl_pts));    /* 56th curve. */
1198   ctrl_pts = {point({398, 600}), point({417, 603}), point({443, 609}), point({463, 613})};
1199   curves.push_back(bezier(ctrl_pts));    /* 57th curve. */
1200   ctrl_pts = {point({463, 613}), point({470, 618}), point({480, 629}), point({487, 632})};
1201   curves.push_back(bezier(ctrl_pts));    /* 58th curve. */
1202   ctrl_pts = {point({487, 632}), point({499, 627}), point({520, 611}), point({535, 598})};
1203   curves.push_back(bezier(ctrl_pts));    /* 59th curve. */

```

This code is used in section 99.

104. \langle Build-up 6th, 7th, 8th, and 9th brush (inner part) [104](#) $\rangle \equiv$

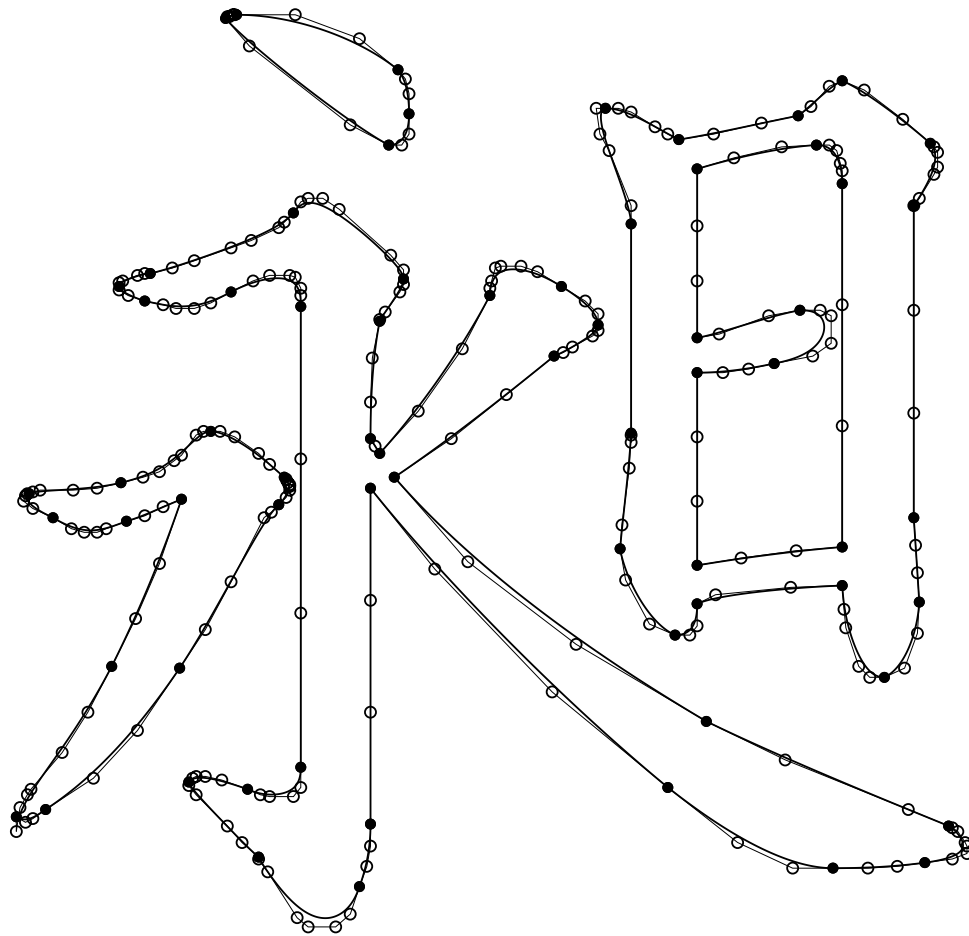
```

1200   ctrl_pts = {point({487, 378}), point({487, 444}), point({487, 510}), point({487, 576})};
1201   curves.push_back(bezier(ctrl_pts)); /* 60th curve. */
1202   ctrl_pts = {point({487, 576}), point({487, 583}), point({486, 587}), point({484, 594}), point({480,
      597}), point({473, 597})};
1203   curves.push_back(bezier(ctrl_pts)); /* 61st curve. */
1204   ctrl_pts = {point({473, 597}), point({454, 596}), point({428, 590}), point({408, 584})};
1205   curves.push_back(bezier(ctrl_pts)); /* 62nd curve. */
1206   ctrl_pts = {point({408, 584}), point({408, 553}), point({408, 523}), point({408, 492})};
1207   curves.push_back(bezier(ctrl_pts)); /* 63rd curve. */
1208   ctrl_pts = {point({408, 492}), point({420, 494}), point({447, 504}), point({464, 507})};
1209   curves.push_back(bezier(ctrl_pts)); /* 64th curve. */
1210   ctrl_pts = {point({464, 507}), point({475, 507}), point({481, 504}), point({481, 489}), point({471,
      482}), point({450, 478})};
1211   curves.push_back(bezier(ctrl_pts)); /* 65th curve. */
1212   ctrl_pts = {point({450, 478}), point({436, 475}), point({422, 473}), point({408, 473})};
1213   curves.push_back(bezier(ctrl_pts)); /* 66th curve. */
1214   ctrl_pts = {point({408, 473}), point({408, 438}), point({408, 403}), point({408, 368})};
1215   curves.push_back(bezier(ctrl_pts)); /* 67th curve. */
1216   ctrl_pts = {point({408, 368}), point({432, 372}), point({462, 376}), point({487, 378})};
1217   curves.push_back(bezier(ctrl_pts)); /* 68th curve. */

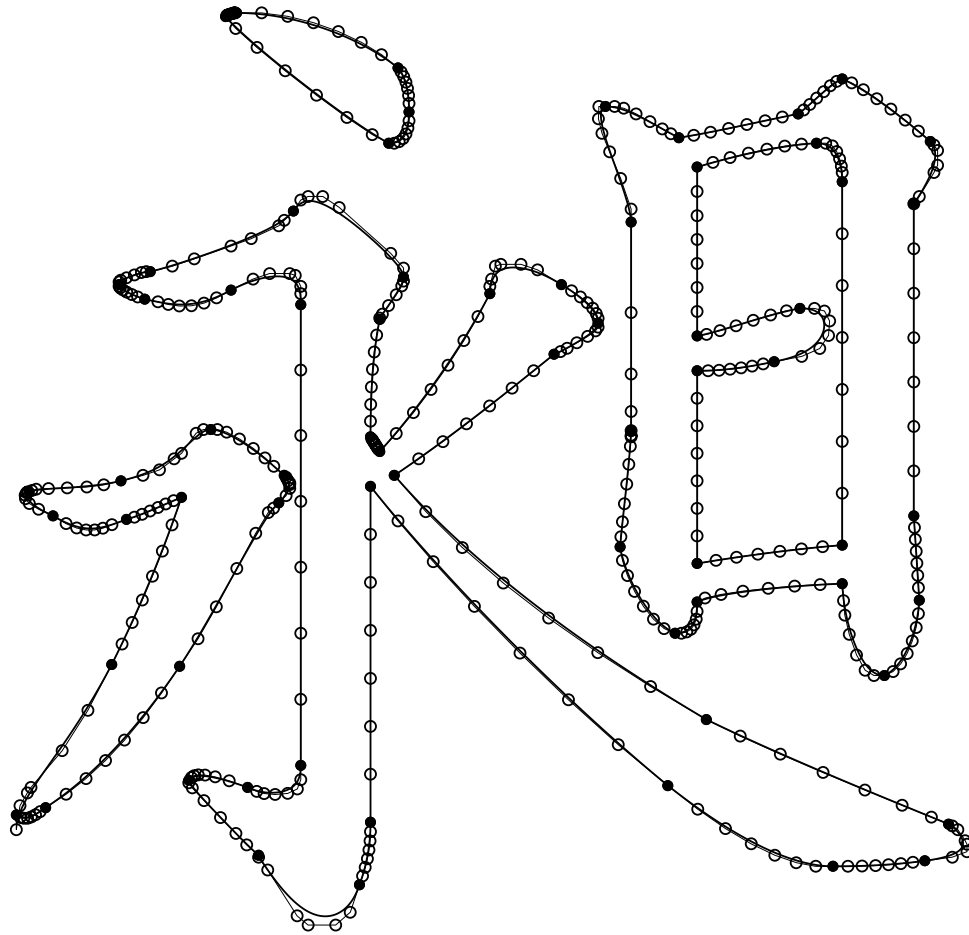
```

This code is used in section [99](#).

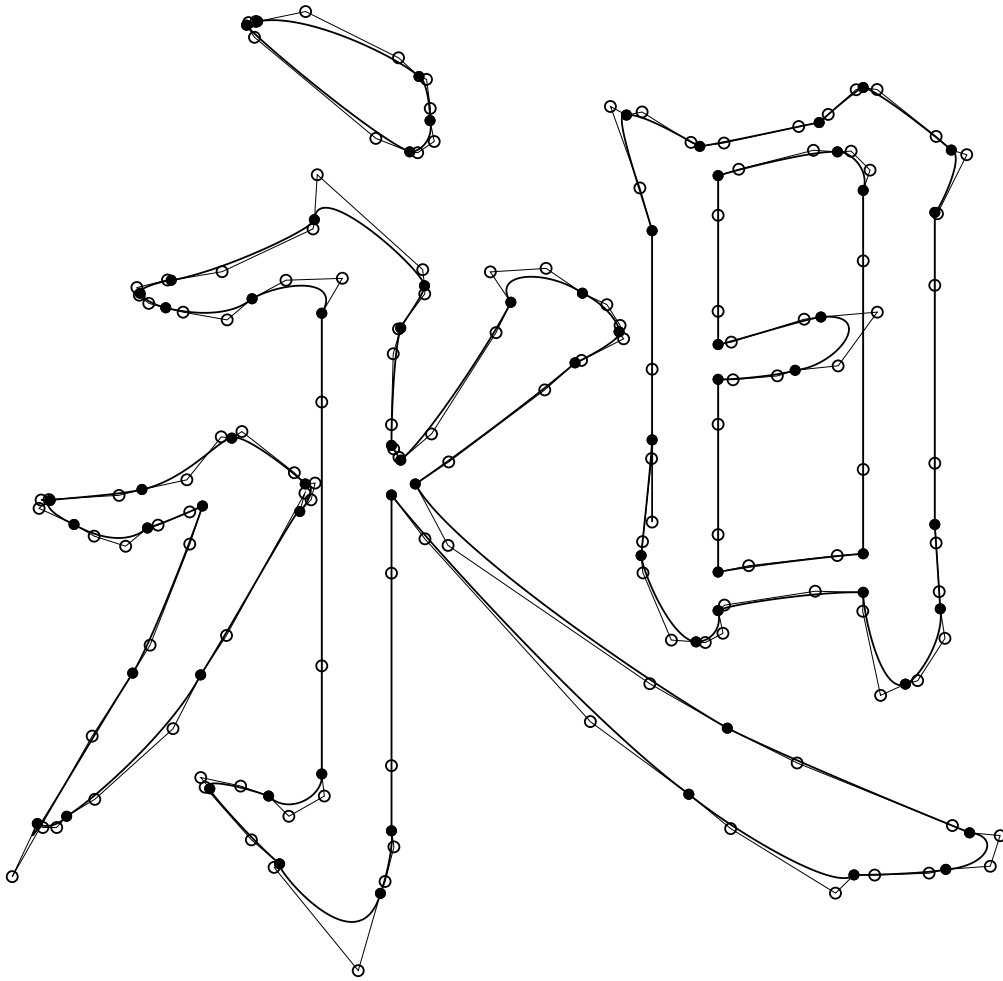
105. 예제 실행 결과. 첫 번째 그림은 traditional chinese 문자 중 하나를 골라 외곽선을 여러개의 Bézier 곡선으로 근사화한 것이다. 검은색 점은 각 곡선의 끝점을 나타내며, 흰 점은 중간의 컨트롤 포인트를, 가느다란 직선은 컨트롤 폴리곤을 나타낸다. 곡선의 차수는 3차부터 7차까지 다양하게 사용했다.



106. 아래 그림은 모든 곡선의 차수를 가장 차수가 높은 Bézier 곡선 조각의 차수에 맞춰 올린 것이다. 곡선의 차수를 올리더라도 곡선의 형상은 변화하지 않는다.



107. 아래 그림은 다시 모든 곡선의 차수를 3차로 낮춘 것이다. 곡선의 형상 변화를 최소화하는 컨트롤 포인트를 구했지만 완벽하게 동일한 모양을 얻은 것은 아니다. 특히 곡선의 컨트롤 폴리곤이 매우 들쭉 날쭉한 것에 유의해야 한다. 만약 곡선을 시간에 따라 애니메이션으로 그린다면 불규칙하게 배치된 컨트롤 포인트들이 문제를 일으킬 것이다. 따라서 Bézier 곡선의 차수를 낮추는 알고리즘을 로봇이나 기구의 동작 궤적에 적용할 때에는 각별한 주의가 필요하다.



108. Cubic Spline Curve.

〈Definition of **cubic_spline** 108〉 ≡

```
1218   class cubic_spline : public curve {
1219       〈Data members of cubic_spline 109〉
1220       〈Enumerations of cubic_spline 142〉
1221       〈Methods of cubic_spline 112〉
1222   };
```

This code is used in section 2.

109. **cubic_spline 타입은 spline 곡선의 knot sequence를 data member로 갖는다. 컨트롤 포인트들을 저장하는 멤버는 **curve** 타입으로부터 상속받는다. 그리고 knot sequence를 반복문에서 간편하게 지칭하기 위한 iterator들의 타입을 선언한다. OpenCL을 이용해서 곡선상의 점들을 한꺼번에 계산하기 위한 **mpoi** 타입의 객체를 멤버로 갖는다.**

〈Data members of **cubic_spline** 109〉 ≡

```
1223   protected:
1224       vector<double> _knot_sqnc;
1225       mutable mpoi _mp;
1226       size_t _kernel_id;
1227   protected:
1228       typedef vector<double>::iterator knot_itr;
1229       typedef vector<double>::const_iterator const_knot_itr;
```

This code is used in section 108.

110. **cubic_spline 타입의 method들은 다음과 같다.**

〈Implementation of **cubic_spline** 110〉 ≡

```
1230   〈Constructors and destructor of cubic_spline 111〉
1231   〈Properties of cubic_spline 113〉
1232   〈Operators of cubic_spline 115〉
1233   〈Description of cubic_spline 117〉
1234   〈Evaluation and derivative of cubic_spline 119〉
1235   〈Methods for interpolation of cubic_spline 143〉
1236   〈Methods for conversion of cubic_spline 138〉
1237   〈Methods to calculate curvature of cubic_spline 171〉
1238   〈Methods for knot insertion and removal of cubic_spline 173〉
1239   〈Methods for PostScript output of cubic_spline 186〉
1240   〈Miscellaneous methods of cubic_spline 125〉
```

This code is used in section 3.

111. 다른 `cubic_spline` 객체가 주어졌을 때 그것을 복제하는 복사생성자와, 그리고 (당연하게도) knot sequence와 control point들이 주어졌을 때 그것에 상응하는 곡선을 생성하는 constructor를 정의한다.

⟨Constructors and destructor of `cubic_spline` 111⟩ ≡

```

1241   cubic_spline::cubic_spline(const cubic_spline &src)
1242       : curve(src),
1243       _knot_sqnc(src._knot_sqnc),
1244       _mp(src._mp),
1245       _kernel_id(src._kernel_id) {}
1246   cubic_spline::cubic_spline(const vector<double> &knots, const vector<point> &pts)
1247       : curve(pts),
1248       _mp("./cspline.cl"),
1249       _knot_sqnc(knots),
1250       _kernel_id(_mp.create_kernel("evaluate_crv")) {}
1251   cubic_spline::~cubic_spline() {}

```

See also section 145.

This code is used in section 110.

112.

⟨Methods of `cubic_spline` 112⟩ ≡

```

1252   public:
1253   cubic_spline() = delete ;
1254   cubic_spline(const cubic_spline &);
1255   cubic_spline(const vector<double> &, const vector<point> &);
1256   virtual ~cubic_spline();

```

See also sections 114, 116, 118, 120, 122, 126, 128, 131, 133, 135, 137, 139, 141, 144, 146, 155, 170, 172, 177, 179, 185, and 187.

This code is used in section 108.

113. `cubic_spline` 객체의 대표적인 property는 차원과 차수다. 또한 knot sequence와 control point를 반환하는 method도 정의한다.

⟨Properties of `cubic_spline` 113⟩ ≡

```

1257   unsigned long cubic_spline::degree() const {
1258       return 3;
1259   }
1260   vector<double> cubic_spline::knot_sequence() const {
1261       return _knot_sqnc;
1262   }
1263   vector<point> cubic_spline::control_points() const {
1264       return _ctrl_pts;
1265   }

```

This code is used in section 110.

114. ⟨Methods of `cubic_spline` 112⟩ +≡

```

1266   public:
1267   unsigned long degree() const;
1268   vector<double> knot_sequence() const;
1269   vector<point> control_points() const;

```

115. Operators of `cubic_spline`.〈Operators of `cubic_spline` 115〉 \equiv

```

1270   cubic_spline &cubic_spline::operator=(const cubic_spline &crv) {
1271       curve::operator=(crv);
1272       _knot_sqnc = crv._knot_sqnc;
1273       _mp = crv._mp;
1274       _kernel_id = crv._kernel_id;
1275       return *this;
1276   }
```

This code is used in section 110.

116. 〈Methods of `cubic_spline` 112〉 $+\equiv$

```

1277   public:
1278       cubic_spline &operator=(const cubic_spline &);
```

117. Debugging을 위한 method를 정의한다.〈Description of `cubic_spline` 117〉 \equiv

```

1279   string cubic_spline::description() const {
1280       stringstream buffer;
1281       buffer << curve::description();
1282       buffer << "  _knot_sqnc:" << endl;
1283       for (size_t i = 0; i ≠ _knot_sqnc.size(); i++) {
1284           buffer << "    " << _knot_sqnc[i] << endl;
1285       }
1286       return buffer.str();
1287   }
```

This code is used in section 110.

118. 〈Methods of `cubic_spline` 112〉 $+\equiv$

```

1288   public:
1289       string description() const;
```

119. Evaluation of Cubic Spline (de Boor Algorithm). Cubic spline 곡선 위의 점은 잘 알려진바와 같이 de Boor 알고리즘으로 계산한다. Degree n 이고 L 개의 다항함수 조각(polynomial segments)으로 이루어진 B-spline 곡선은 $L + 2n - 1$ 개의 nondecreasing knot sequence

$$u_0, \dots, \underbrace{u_{n-1}, \dots, u_{L+n-1}}_{\text{domain knots}}, \dots, u_{L+2n-2}$$

를 갖는다. 이 때, 앞과 뒤 각각 n 개씩의 knots에서는 곡선이 정의되지 않고, 가운데의 $L + 1$ 개의 knots에서 곡선이 정의되기에 $[u_{n-1}, \dots, u_{L+n-1}]$ 를 domain knots라 부른다.

이 때, $n + L$ 개의 Greville abscissas

$$\xi_i = \frac{1}{n}(u_i + \dots + u_{i+n-1}); \quad i = 0, \dots, L + n - 1$$

에 control point들이 대응된다. 이는 functional spline을 생각하면 좀 더 쉽게 이해되는데, 점 (ξ_i, d_i) ; $i = 0, \dots, L + n - 1$ 들이 다각형 P 를 이루고, de Boor algorithm은 이 다각형으로부터 반복적인 piecewise linear interpolation을 수행하여 곡선상의 점을 구하는 것이다.

구체적으로, degree n 인 B-spline 곡선의 knot sequence u_j 와 control points d_i 가 있을때, $u \in [u_I, u_{I+1}] \subset [u_{n-1}, u_{L+n-1}]$ 를 만족하는 u 에 대응하는 곡선상의 점은, $k = 1, \dots, n - r$, $i = I - n + k + 1, \dots, I - r + 1$ 에 대하여

$$d_i^k(u) = \frac{u_{i+n-k} - u}{u_{i+n-k} - u_{i-1}} d_{i-1}^{k-1}(u) + \frac{u - u_{i-1}}{u_{i+n-k} - u_{i-1}} d_i^{k-1}(u)$$

을 반복적으로 계산한 결과

$$d_{I-r+1}^{n-r}(u)$$

이다. 이때, r 은 u 가 knot sequence 중 하나의 값일 때, 그것의 중첩도(multiplicity)이며, 특정한 knot sequence 값이 아니면 0으로 둔다. 위 점화식의 초기조건은

$$d_i^0(u) = d_i$$

로 둔다. Knot sequence에 해당하지 않는 $u \in [u_I, u_{I+1}]$ 에 대한 de Boor 알고리즘을 그림으로 표시하면 다음과 같다:

$$\begin{array}{ccccccc} & d_{I-n+1} & & & & & \\ & d_{I-n+2} & d_{I-n+2}^1 & & & & \\ & \vdots & \vdots & \ddots & & & \\ & d_I & d_I^1 & \cdots & d_I^{n-1} & & \\ d_{I+1} & & d_{I+1}^1 & \cdots & d_{I+1}^{n-1} & d_{I+1}^n & \end{array}$$

`evaluate()` method는 세 가지 종류가 있다. 첫 번째는 evaluation abscissa u 와 그것이 속하는 구간에 대한 index I 를 입력으로 받는 method다. Index I 는 de Boor 알고리즘을 적용하기 위하여 반드시 필요한 것이지만, 대체로 곡선상의 점을 계산하기 위하여 일일이 I 까지 알아내고 그것을 함께 인자로 전달하는 것은 번거로운 일이다. 따라서 두 번째 method는 evaluation abscissa u 만 인자로 전달 받으며, `find_index_in_knot_sequence()` 함수를 호출해서 $u[I] \leq u < u[I+1]$ 을 만족하는 정수 I 를 찾는다. 끝으로 세 번째 method는 OpenCL을 이용해서 주어진 간격 수로 evaluation abscissa 범위를 등간격으로 나눈 후, 그 값들에 대응하는 곡선상의 점들을 한꺼번에 계산한다.

첫 번째와 두 번째 method는 de Casteljau의 repeated linear interpolation algorithm의 일반화된 version 이라고 이해할 수 있으므로 자세한 설명은 생략한다.

〈Evaluation and derivative of **cubic_spline** 119〉 \equiv

```

1290 point cubic_spline::evaluate(const double u, unsigned long I) const {
1291     const unsigned long n = 3;    /* Degree of cubic spline. */
1292     vector<point> tmp;
1293     for (size_t i = I - n + 1; i <= I + 2; i++) {
1294         tmp.push_back(_ctrl_pts[i]);

```

```

1295     }
1296     long shifter = I - n + 1;
1297     for (size_t k = 1; k <= n + 1; k++) {
1298         for (size_t i = I + 1; i <= I - n + k; i++) {
1299             double t1 = (_knot_sqnc[i + n - k] - u) / (_knot_sqnc[i + n - k] - _knot_sqnc[i - 1]);
1300             double t2 = 1.0 - t1;
1301             tmp[i - shifter] = t1 * tmp[i - shifter - 1] + t2 * tmp[i - shifter];
1302         }
1303     }
1304     return tmp[I - shifter + 1];
1305 }
1306 point cubic_spline::evaluate(const double u) const {
1307     return evaluate(u, find_index_in_knot_sequence(u));
1308 }

```

See also sections 121 and 127.

This code is used in section 110.

120. \langle Methods of `cubic_spline` 112 $\rangle + \equiv$

```

1309 public:
1310     point evaluate(const double, unsigned long) const;
1311     point evaluate(const double) const;

```

121. Knot sequence의 domain knots 범위를 $N - 1$ 개의 등간격으로 나누어 곡선위의 N 개의 점을 한번에 계산하는 method를 구현한다. 즉, 곡선을 $N - 1$ 개의 작은 선분 조각들로 근사화하는 셈이다. 이 method는 계산할 점의 갯수를 입력인자 N 으로 받으며, 계산 결과를 **vector<point>** 타입으로 반환한다.

Kernel에서 계산한 m 차원 공간의 N 개의 점들, \mathbf{p}_i 는 pts 에

$$\mathbf{p}_0(1), \mathbf{p}_0(2), \dots, \mathbf{p}_0(m), \dots, \mathbf{p}_{N-1}(1), \dots, \mathbf{p}_{N-1}(m)$$

의 순서대로 저장되며, 최종적으로 이 method는 이것을 **vector<point>** 타입의 객체로 만들어 반환한다.

<Evaluation and derivative of **cubic_spline** 119> +=

```

1312 vector<point>
1313 cubic_spline::evaluate_all(const unsigned N) const {
1314     const unsigned n = 3;
1315     const unsigned L = static_cast<unsigned>(<_knot_sqnc.size() - 2 * n + 1);
1316     const unsigned m = static_cast<unsigned>(this-<dim()>());
1317     size_t pts_buffer = _mp.create_buffer(mpoi::buffer_property::READ_WRITE, N * m * sizeof(float));
1318     <Calculate points on a cubic spline using OpenCL Kernel 123>;
1319     float *pts = new float[N * m];
1320     _mp.enqueue_read_buffer(pts_buffer, N * m * sizeof(float), pts);
1321     vector<point> crv(N, point(m));
1322     for (size_t i = 0; i < N; i++) {
1323         point pt(m);
1324         for (size_t j = 1; j < m + 1; j++) {
1325             pt(j) = static_cast<double>(pts[m * i + j - 1]);
1326         }
1327         crv[i] = pt;
1328     }
1329     delete[] pts;
1330     _mp.release_buffer(pts_buffer);
1331     return crv;
1332 }
```

122. <Methods of **cubic_spline** 112> +=

```

1333 public:
1334     vector<point> evaluate_all(const unsigned) const;
```


123. OpenCL로 작성한 kernel을 이용해서 spline 곡선상의 점들을 한꺼번에 계산한다. Kernel에서 de Boor 알고리즘을 계산하려면

1. knot sequence and its cardinality
2. control points and their cardinality
3. evaluation abscissa
4. evaluation abscissa가 속한 knot sequence 구간의 index

를 모두 넘겨줘야한다. 첫 번째와 두 번째는 kernel의 모든 work item들이 공유하지만, 세 번째와 네 번째는 work item마다 자신의 고유한 값을 갖고 연산을 수행한다.

가장 먼저 수행할 작업은 곡선의 knot sequence와 control points를 표준 라이브러리의 **vector** 타입으로부터 꺼내 단일한 memory block으로 복사하는 일이다. Knot sequence는 scalar 값이므로 순서대로 복사하고, m 차원 공간의 control point들도 순서대로 모든 원소들을 복사한다. k 개의 control point들, \mathbf{d}_i 가 있다면 하나의 **double**형 배열에 아래와 같이 저장된다:

$$\mathbf{d}_1(1), \mathbf{d}_1(2), \dots, \mathbf{d}_1(m), \dots, \mathbf{d}_k(1), \dots, \mathbf{d}_k(m)$$

그 다음 OpenCL device의 memory에 입출력 data를 저장할 buffer object을 생성하고, memory buffer에 입력 data를 복사한다. (OpenCL kernel은 항상 **void**를 반환한다.)

〈Calculate points on a cubic spline using OpenCL Kernel 123〉 ≡

```

1335  const unsigned num_knots = static_cast<unsigned>(_knot_sqnc.size());
1336  const unsigned num_ctrlpts = static_cast<unsigned>(_ctrl_pts.size());
1337  float *knots = new float[num_knots];
1338  float *cp = new float[num_ctrlpts * m];
1339  size_t knots_buffer = _mp.create_buffer(mpoi::buffer_property::READ_ONLY,
      num_knots * sizeof(float));
1340  size_t cp_buffer = _mp.create_buffer(mpoi::buffer_property::READ_ONLY,
      num_ctrlpts * m * sizeof(float));
1341  for (size_t i = 0; i < num_knots; i++) {
1342      knots[i] = static_cast<float>(_knot_sqnc[i]);
1343  }
1344  for (size_t i = 0; i < num_ctrlpts; i++) {
1345      for (size_t j = 0; j < m; j++) {
1346          cp[i * m + j] = static_cast<float>(_ctrl_pts[i](j + 1));
1347      }
1348  }
1349  _mp.enqueue_write_buffer(knots_buffer, num_knots * sizeof(float), knots);
1350  _mp.enqueue_write_buffer(cp_buffer, num_ctrlpts * m * sizeof(float), cp);
1351  delete[] knots;
1352  delete[] cp;
1353  _mp.set_kernel_argument(_kernel_id, 0, pts_buffer);
1354  _mp.set_kernel_argument(_kernel_id, 1, knots_buffer);
1355  _mp.set_kernel_argument(_kernel_id, 2, cp_buffer);
1356  _mp.set_kernel_argument(_kernel_id, 3, sizeof(unsigned), (void *) &m);
1357  _mp.set_kernel_argument(_kernel_id, 4, sizeof(unsigned), (void *) &L);
1358  _mp.set_kernel_argument(_kernel_id, 5, sizeof(unsigned), (void *) &N);
1359  _mp.enqueue_data_parallel_kernel(_kernel_id, N, 40);

```

This code is used in section 121.

124. 곡선을 계산하는 de Boor 알고리즘의 OpenCL 구현. Work item별로 따로 사용하는 private memory는 동적 할당을 지원하지 않는다. 따라서 부득이하게 고정된 크기의 배열을 사용하는데, cubic spline이므로 n 은 3으로 고정하고, 허용하는 곡선의 최고 차원은 6으로 설정했다. 이는 OpenCL device의 spec에 따라 더 높이는 것이 가능하다.

이 함수에서 가장 먼저 수행할 작업은 domain knots, $[u_{n-1}, \dots, u_{L+n-1}]$ 을 $N - 1$ 개의 등간격으로 각 work item별로 자신이 계산해야 할 u 값을 계산하고, u 에 대하여 $u_i \in [u_I, u_{I+1}]$ 을 만족하는 I 값을 계산한다.

OpenCL 디바이스는 계산 유닛(Compute Unit)들로 이루어지고, 계산 유닛은 한 개 이상의 PE (Processing Element)들로 이루어진다. 디바이스에서의 실제 계산은 PE 안에서 이루어진다. 다수의 PE들이 같은 명령어를 실행한다는 점(SIMT; Single Instruction, Multiple Threads)을 생각해보면, kernel program 안에 분기문이 들어 있을 때 계산 성능이 저하된다. 따라서 I 를 계산하는 과정에서 필요한 if 문을 그것과 동일한 효과를 내는 연산식으로 대체했음에 유의한다.

`<cspline.cl 124> ≡`

```

1360 #define MAX_BUFF_SIZE 30
1361 kernel void evaluate_crv(
1362     global float *crv,
1363     constant float *knots,
1364     constant float *cpts,
1365     unsigned d, unsigned L, unsigned N
1366 ) {
1367     private unsigned id = get_global_id(0);
1368     private const unsigned n = 3;
1369     private float tmp[MAX_BUFF_SIZE];
1370     private const float du = (knots[L + n - 1] - knots[n - 1]) / (float)(N - 1);
1371     private float u = knots[n - 1] + id * du;
1372     private unsigned I = n - 1;
1373     for (private unsigned i = n; i ≠ L + n - 1; i++) {
1374         I += (convert_int(sign(u - knots[i])) + 1) ≫ 1; /* If knots[i] < u, increment I. */
1375     }
1376     for (private unsigned i = 0; i ≠ n + 1; i++) {
1377         for (private unsigned j = 0; j ≠ d; j++) {
1378             tmp[i * d + j] = cpts[(i + I - n + 1) * d + j];
1379         }
1380     }
1381     private unsigned shifter = I - n + 1;
1382     for (private unsigned k = 1; k ≠ n + 1; k++) {
1383         for (private unsigned i = I + 1; i ≠ I - n + k; i--) {
1384             private float t = (knots[i + n - k] - u) / (knots[i + n - k] - knots[i - 1]);
1385             for (private unsigned j = 0; j ≠ d; j++) {
1386                 tmp[(i - shifter) * d + j] = t * tmp[(i - shifter - 1) * d + j] + (1. - t) * tmp[(i - shifter) * d + j];
1387             }
1388         }
1389     }
1390     for (private unsigned j = 0; j ≠ d; j++) {
1391         crv[id * d + j] = tmp[n * d + j];
1392     }
1393 }
```

125. 어떤 scalar 값이 주어졌을 때, 그것이 knot sequence의 몇 번째 knot과 그 다음 knot 사이에 들어가는 값인지 찾아내는 method를 정의한다. 즉, u 가 주어지면, $u_i \leq u < u_{i+1}$ 을 만족하는 인덱스 i 를 찾는 것이다. 만약 조건을 만족하는 i 가 없으면, **SIZE_MAX**를 반환한다. 이 method는 non-decreasing knot sequence를 가정하며, 만약 u 가 knot sequence의 마지막 값과 같다면 조건식이 만족되지 않으므로 sequence를 뒤에서부터 거슬러 $u_i \leq u \leq u_{i+1}$ 을 만족하는 i 를 찾는다. 이는 knot의 multiplicity가 2 이상일 때에도 대응하기 위함이다. 이 method는 하나의 **double** 타입 인자만 주어지면 객체의 knot sequence에서 해당하는 인덱스를 찾지만, 별도의 knot sequence가 주어지면 주어진 sequence에서 인덱스를 찾는다.

⟨Miscellaneous methods of **cubic_spline** 125⟩ ≡

```

1394  size_t
1395  cubic_spline::find_index_in_sequence(
1396      const double u,
1397      const vector<double> sqnc
1398  ) const {
1399      if (u == sqnc.back()) {
1400          for (size_t i = sqnc.size() - 2; i != SIZE_MAX; i--) {
1401              if (sqnc[i] != u) {
1402                  return i;
1403              }
1404          }
1405      }
1406      for (size_t i = 0; i != sqnc.size() - 1; i++) {
1407          if ((sqnc[i] ≤ u) ∧ (u < sqnc[i + 1])) {
1408              return i;
1409          }
1410      }
1411      return SIZE_MAX;
1412  }
1413  size_t
1414  cubic_spline::find_index_in_knot_sequence(const double u) const {
1415      return find_index_in_sequence(u, this->knot_sqnc);
1416  }

```

See also sections 130, 132, 134, 136, and 178.

This code is used in section 110.

126. ⟨Methods of **cubic_spline** 112⟩ +≡

```

1417  protected:
1418      size_t find_index_in_sequence(
1419          const double,
1420          const vector<double>
1421      ) const;
1422      size_t find_index_in_knot_sequence(const double) const;

```

127. Spline 곡선의 미분은 동등한 Bézier 곡선으로 변환한 후 계산한다.

〈Evaluation and derivative of **cubic_spline** 119〉 +≡

```

1423 point cubic_spline::derivative(const double u) const {
1424     〈 Check the range of knot value given 129〉;
1425     vector<point> splines, bezier_ctrlpt;
1426     vector<double> knots;
1427     bezier_control_points(splines, knots);    /* Equivalent Bézier curves. */
1428     unsigned long index = find_index_in_sequence(u, knots);
1429     for (size_t i = index * 3; i ≤ (index + 1) * 3; i++) {
1430         bezier_ctrlpt.push_back(splines.at(i));
1431     }
1432     bezier bezier_curve = bezier(bezier_ctrlpt);
1433     double delta = knots[index + 1] - knots[index];    /* Change coordinate from b-spline to Bézier. */
1434     double t = (u - knots[index]) / delta;
1435     point drv(bezier_curve.derivative(t));
1436     return drv / delta;    /* Transform the velocity into the u coordinate (b-spline). */
1437 }
```

128. 〈Methods of **cubic_spline** 112〉 +≡

```

1438 public:
1439     point derivative(const double) const;
```

129. 만약 주어진 인자 u 가 knot sequence의 범위를 벗어나면, “out of knot range” 메시지를 담은 객체를 throw 한다.

〈Check the range of knot value given 129〉 ≡

```

1440 if ((u < _knot_sqnc.front()) ∨ (_knot_sqnc.back() < u)) {
1441     throw std::runtime_error
1442         {"out_of_knot_range"};
1443 }
```

This code is used in section 127.

130. Knot의 multiplicity를 찾는 method는 재귀적으로 구현한다. 즉, sequence의 시작점부터 주어진 knot과 같은 knot을 찾을때마다 다시 같은 함수를 호출한다.

〈Miscellaneous methods of **cubic_spline** 125〉 +≡

```

1444 unsigned long cubic_spline::find_multiplicity(const double u, const_knot_itr begin) const {
1445     const_knot_itr iter = find(begin, _knot_sqnc.end(), u);
1446     if (iter == _knot_sqnc.end()) {
1447         return 0;
1448     } else {
1449         return find_multiplicity(u, ++iter) + 1;
1450     }
1451 }
1452 unsigned long cubic_spline::find_multiplicity(const double u) const {
1453     return find_multiplicity(u, _knot_sqnc.begin());
1454 }
```

131. 〈Methods of **cubic_spline** 112〉 +≡

```

1455 protected:
1456     unsigned long find_multiplicity(const double, const_knot_itr) const;
1457     unsigned long find_multiplicity(const double) const;

```

132. Knot sequence의 충분값, Δu_i 를 계산하는 간단한 method를 정의한다. 이 프로그램의 많은 부분에서 $\Delta_i = \Delta u_i = u_{i+1} - u_i$ 를 의미하며, 편의상 $\Delta_{-1} = \Delta_L = 0$ 을 반환하도록 구현한다. 이는 보간 (interpolation) 방정식의 구현을 간단하게 만들어준다.

〈Miscellaneous methods of **cubic_spline** 125〉 +≡

```

1458     double cubic_spline::delta(const long i) const {
1459         if ((i < 0)  $\vee$  (_knot_sqnc.size() - 1)  $\leq$  i) {
1460             return 0.;
1461         } else {
1462             return _knot_sqnc[i + 1] - _knot_sqnc[i];
1463         }
1464     }

```

133. 〈Methods of **cubic_spline** 112〉 +≡

```

1465 protected:
1466     double delta(const long) const;

```

134. Knot sequence의 양 끝에 곡선의 차수만큼 knot을 추가해서 곡선이 양 끝의 컨트롤 포인트를 지나도록 하는 method를 정의한다.

〈Miscellaneous methods of **cubic_spline** 125〉 +≡

```

1467     void cubic_spline::insert_end_knots()
1468     {
1469         vector<double> newKnots;
1470         newKnots.push_back(_knot_sqnc[0]);
1471         newKnots.push_back(_knot_sqnc[0]);
1472         for (size_t i = 0; i  $\neq$  _knot_sqnc.size(); ++i) {
1473             newKnots.push_back(_knot_sqnc[i]);
1474         }
1475         newKnots.push_back(_knot_sqnc.back());
1476         newKnots.push_back(_knot_sqnc.back());
1477         _knot_sqnc.clear();
1478         for (size_t i = 0; i  $\neq$  newKnots.size(); ++i) {
1479             _knot_sqnc.push_back(newKnots[i]);
1480         }
1481     }

```

135. 〈Methods of **cubic_spline** 112〉 +≡

```

1482 protected:
1483     void insert_end_knots();

```

136. Cubic spline 곡선의 control point들을 주어진 point들로 대체하는 method. 이는 주로 cubic spline interpolation의 계산 결과를 반영하는 것을 염두에 두고 있어서, 양 끝점들과 중간 점들의 **vector** 타입을 입력으로 받는다.

⟨Miscellaneous methods of **cubic_spline** 125⟩ +≡

```

1484 void cubic_spline::set_control_points(
1485     const point &head,
1486     const vector<point> &intermediate,
1487     const point &tail
1488 ) {
1489     _ctrl_pts.clear();
1490     size_t n = intermediate.size();
1491     _ctrl_pts = vector<point>(2 + n, point(2));
1492     _ctrl_pts[0] = head;
1493     for (size_t i = 0; i < n; i++) {
1494         _ctrl_pts[i + 1] = intermediate[i];
1495     }
1496     _ctrl_pts[n + 1] = tail;
1497 }
```

137. ⟨Methods of **cubic_spline** 112⟩ +≡

```

1498 protected:
1499 void set_control_points(const point &, const vector<point> &, const point &);
```

138. Interpolation of Cubic Spline.

Cubic spline은 Bézier 형식과 Hermite 형식이 있다. 곡선이 지나야 하는 경로점 \mathbf{x}_i 와 그 점에서의 접선벡터 \mathbf{m}_i , ($i = 0, \dots, L$)이 주어져 있으면, junction Bézier 포인트는

$$\mathbf{b}_{3i} = \mathbf{x}_i,$$

inner Bézier 포인트는

$$\begin{aligned}\mathbf{b}_{3i+1} &= \mathbf{b}_{3i} + \frac{\Delta_i}{3}\mathbf{m}_i & (i = 0, \dots, L-1) \\ \mathbf{b}_{3i-1} &= \mathbf{b}_{3i} - \frac{\Delta_{i-1}}{3}\mathbf{m}_i & (i = 1, \dots, L)\end{aligned}$$

로 바로 계산 가능하다. 이 때, $\Delta_i = \Delta u_i$ 이다.

⟨Methods for conversion of **cubic_spline** 138⟩ ≡

```

1500 vector⟨point⟩ cubic_spline::bezier_points_from_hermite_form(
1501     const vector⟨point⟩ &x,
1502     const vector⟨point⟩ &m
1503 ) {
1504     if (x.size() ≡ 0) {
1505         return vector⟨point⟩(0, point(0));
1506     }
1507     unsigned long L = x.size() - 1;
1508     vector⟨point⟩ b(3 * L + 1, point(x[0].dim()));
1509     b[0] = x[0];
1510     for (unsigned long i = 0; i ≠ L; i++) {
1511         b[3 * i + 3] = x[i + 1];
1512         double du = _knot_sqnc[i + 1] - _knot_sqnc[i];
1513         b[3 * i + 1] = b[3 * i] + du/3.0 * m[i];
1514         b[3 * i + 2] = b[3 * i + 3] - du/3.0 * m[i + 1];
1515     }
1516     return b;
1517 }
```

See also sections 140 and 166.

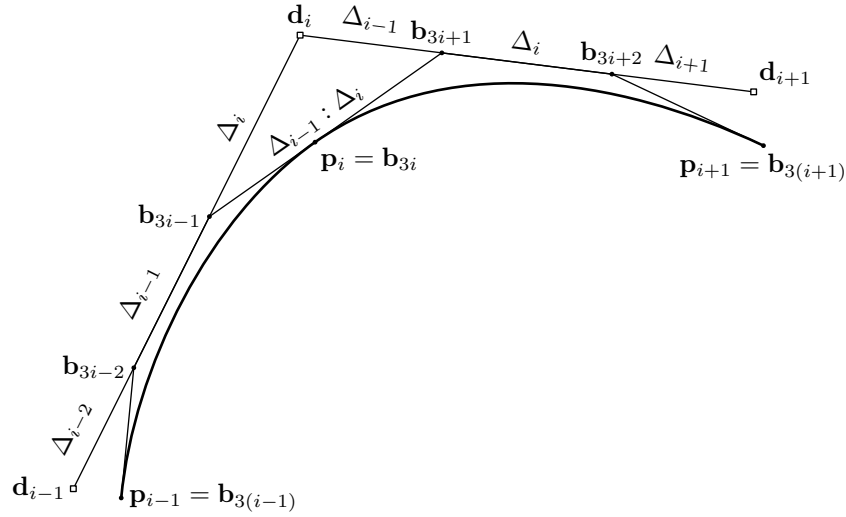
This code is used in section 110.

139. ⟨Methods of **cubic_spline** 112⟩ +≡

```

1518 public:
1519     vector⟨point⟩ bezier_points_from_hermite_form(
1520         const vector⟨point⟩ &x, const vector⟨point⟩ &m);
```

140. C^2 연속성 조건을 만족하는 spline 곡선의 Bézier 컨트롤 포인트들로부터 B-spline 컨트롤 포인트를 계산할 수 있다.



Junction point \mathbf{p}_i 에서의 C^2 연속 조건은 $\Delta = \Delta_{i-2} + \Delta_{i-1} + \Delta_i$ 라고 정의할 때,

$$\mathbf{b}_{3i-2} = \frac{\Delta_{i-1} + \Delta_i}{\Delta} \mathbf{d}_{i-1} + \frac{\Delta_{i-2}}{\Delta} \mathbf{d}_i,$$

$$\mathbf{b}_{3i-1} = \frac{\Delta_i}{\Delta} \mathbf{d}_{i-1} + \frac{\Delta_{i-2} + \Delta_{i-1}}{\Delta} \mathbf{d}_i$$

이므로 이 두 식을 연립하고 \mathbf{d}_{i-1} 을 소거하면

$$\mathbf{d}_i = \frac{(\Delta_{i-1} + \Delta_i)\mathbf{b}_{3i-1} - \Delta_i \mathbf{b}_{3i-2}}{\Delta_{i-1}}$$

이다. 따라서, B-spline 컨트롤 포인트 $\mathbf{d}_{-1}, \mathbf{d}_0, \dots, \mathbf{d}_L, \mathbf{d}_{L+1}$ 는

$$\mathbf{d}_{-1} = \mathbf{b}_0,$$

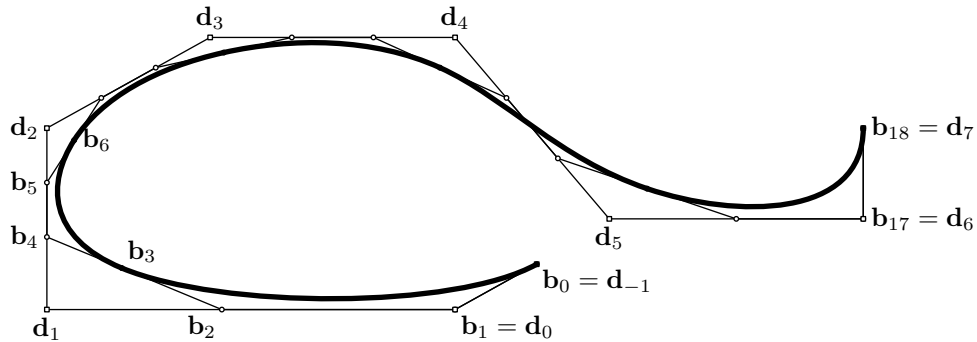
$$\mathbf{d}_0 = \mathbf{b}_1,$$

$$\mathbf{d}_i = \frac{(\Delta_{i-1} + \Delta_i)\mathbf{b}_{3i-1} - \Delta_i \mathbf{b}_{3i-2}}{\Delta_{i-1}} \quad (i = 1, \dots, L-1),$$

$$\mathbf{d}_L = \mathbf{b}_{3L-1},$$

$$\mathbf{d}_{L+1} = \mathbf{b}_{3L}$$

로 주어진다. 아래 그림은 $L = 6$ 인 경우의 예시를 보여준다.



⟨Methods for conversion of **cubic_spline** 138⟩ +≡

```

1521 vector⟨point⟩ cubic_spline::control_points_from_bezier_form(const vector⟨point⟩ &b) {
1522     const unsigned long L = _knot_sqnc.size() - 1;
1523     vector⟨point⟩ d(L + 3, b[0].dim());
1524     d[0] = b[0];
1525     d[1] = b[1];
1526     for (size_t i = 1; i < L; i++) {
1527         double delta_im1 = _knot_sqnc[i] - _knot_sqnc[i - 1];
1528         double delta_i = _knot_sqnc[i + 1] - _knot_sqnc[i];
1529         d[i + 1] = ((delta_im1 + delta_i) * b[3 * i - 1] - delta_i * b[3 * i - 2]) / delta_im1;
1530     }
1531     d[L + 1] = b[3 * L - 1];
1532     d[L + 2] = b[3 * L];
1533     return d;
1534 }
```

141. ⟨Methods of **cubic_spline** 112⟩ +≡

```

1535 public:
1536     vector⟨point⟩ control_points_from_bezier_form(const vector⟨point⟩ &);
```

142. **cubic_spline**의 보간법에서 사용하기 위한 상수들을 enumeration으로 정의한다. **parametrization**은 곡선의 knot sequence를 어떻게 생성할 것인지를 기술하기 위한 상수들이다. 각각 uniform parametrization, chord length parametrization, centripetal parametrization, spline function parametrization을 의미한다.

end_condition은 곡선의 end condition을 어떻게 설정할 것인지 나타낸다. 각각 clamped, Bessel, quadratic, not-a-knot, natural, 그리고 끝으로 periodic end condition을 의미한다.

⟨Enumerations of **cubic_spline** 142⟩ ≡

```

1537 public:
1538     enum class parametrization {
1539         uniform,          /* uniform parametrization */
1540         chord_length,     /* chord length parametrization */
1541         centripetal,      /* centripetal parametrization */
1542         function_spline   /* spline function, i.e., knot sequence = x coords. */
1543     };
1544     enum class end_condition {
1545         clamped,          /* claped end condition */
1546         bessel,           /* Bessel end condition */
1547         quadratic,        /* quadratic end condition */
1548         not_a_knot,       /* not-a-knot end condition */
1549         natural,          /* natural end condition */
1550         periodic         /* periodic end condition */
1551     };
```

This code is used in section 108.

143. Cubic spline 보간은 데이터 포인트, $\mathbf{p}_0, \dots, \mathbf{p}_L$ 이 주어져 있을 때, 그 데이터 포인트들을 지나면서 C^2 연속성 조건을 만족하는 spline curve의 컨트롤 포인트, $\mathbf{d}_{-1}, \dots, \mathbf{d}_{L+1}$ 를 찾는 것이다. 주어진 데이터 포인트는 $L + 1$ 개이고, 찾아야하는 컨트롤 포인트는 $L + 3$ 개이므로 이는 부정방정식(under-determined problem)이다. 따라서 문제의 유일해를 구하려면 2개의 구속조건이 더 주어져야하며, 이는 end-condition에 의하여 결정한다.

엄밀하게 말하면, cubic spline 보간은 데이터 포인트 $\mathbf{p}_0, \dots, \mathbf{p}_L$ 뿐만 아니라 knot sequence, u_0, \dots, u_L , 그리고 각 knot들의 multiplicity가 주어져야 해를 구할 수 있다. 그러나 일반적으로 knot sequence와 multiplicity는 주어지지 않으므로 knot sequence는 몇 가지 scheme을 선택하도록 해서 그에 따라 생성하고, knot들의 multiplicity는 곡선이 양 끝점의 data point를 지나갈 수 있도록 3, 1, \dots , 1, 3을 가정한다.

가장 먼저, 데이터 포인트, 매개화 (parametrization) scheme, 종단 조건 (end condition), 종단에서의 접선 벡터 \mathbf{m}_0 와 \mathbf{m}_L 을 모두 입력으로 받는 일반적인 보간 기능을 `_interpolate()` 메소드로 구현한다. 이것은 모든 종류의 보간 문제를 해결하는 engine이다.

`_interpolate()` 메소드는 주어진 데이터 포인트의 갯수에 따라 특별한 예외처리를 필요로 한다:

1. 데이터 포인트의 갯수가 0이면 knot sequence와 control point를 모두 비워버린 후 바로 반환한다.
2. 데이터 포인트의 갯수가 2개 이하 (1 또는 2개)면 trivial solution이다. Knot sequence는 0,0,0,1,1,1로 설정하고, 컨트롤 포인트는 첫 번째 데이터 포인트를 3개, 마지막 데이터 포인트를 3개 중첩한다.
3. 데이터 포인트의 갯수가 3개 이상이면 주어진 parametrization scheme따라 knot sequence를 생성하고, C^2 cubic spline 보간에 관한 연립방정식을 세운 후, end condition에 맞춰 식을 일부 조작한다. 방정식의 해를 구함으로써 control point들을 구하고, 마지막으로 곡선 양 끝의 knot을 3개 중첩시키면 보간이 끝난다. (물론 데이터 포인트가 2개만 주어지면, 보간 결과는 그 두 점을 잇는 직선이다.)

〈Methods for interpolation of **cubic_spline** 143〉 ≡

```

1552 void cubic_spline::_interpolate(
1553     const vector<point> &p,
1554     parametrization scheme,
1555     end_condition cond,
1556     const point &m_0,
1557     const point &m_L
1558 ) {
1559     _knot_sqnc.clear();
1560     _ctrl_pts.clear();
1561     if (p.size() == 0) { /* No data point given. */
1562     }
1563     else if (p.size() < 3) { /* One or two waypoints. */
1564         _knot_sqnc = vector<double>(6, 0.0);
1565         _ctrl_pts = vector<point>(6, p[0]);
1566         for (size_t i = 3; i < 6; i++) {
1567             _knot_sqnc[i] = 1.0;
1568             _ctrl_pts[i] = p.back();
1569         }
1570     }
1571     else { /* More than or equal to 3 points given. */
1572         〈Generate knot sequence according to given parametrization scheme 147〉;
1573         if (cond == end_condition::periodic) {
1574             〈Setup equations for periodic end condition and solve them 156〉;
1575         }
1576         else {
1577             〈Setup Hermite form equations of cubic spline interpolation 152〉;
1578             〈Modify equations according to end conditions and solve them 153〉;
1579         }
1580         insert_end_knots();
1581     }
1582 }
```

See also section 154.

This code is used in section 110.

144. 〈Methods of `cubic_spline` 112〉 +≡

```
1583 protected:
1584     void _interpolate(
1585         const vector<point> &,
1586         parametrization,
1587         end_condition,
1588         const point &, const point &);
```

145. 한편, 데이터 포인트들이 주어졌을 때 그것들을 보간하는 cubic spline 곡선을 바로 생성하는 constructor 가 있으면 매우 유용할 것이다.

1. Parametrization scheme이 주어지지 않으면 centripetal parametrization을 적용한다. 이는 주어진 데이터 포인트에 가장 가까운 곡선을 생성한다.
- 2a. End condition이 주어지지 않으면 데이터 포인트의 갯수에 따라 각각 다른 end condition을 적용한다. 2-3 개의 데이터 포인트만 주어지면 quadratic end condition을, 4개 이상의 데이터 포인트가 주어지면 not-a-knot end condition을 적용한다.
- 2b. 데이터 포인트와 추가로 두 개의 포인트가 주어지면 clamped end condition을 적용한다.

〈Constructors and destructor of `cubic_spline` 111〉 +≡

```
1589 cubic_spline::cubic_spline(
1590     const vector<point> &p,
1591     end_condition cond,
1592     parametrization scheme)
1593 : curve(p),
1594   _mp("./cspline.cl"),
1595   _kernel_id(_mp.create_kernel("evaluate_crv"))
1596 {
1597     point m_0(2./3. * (*p.begin()) + 1./3. * (p.back()));
1598     point m_L(1./3. * (*p.begin()) + 2./3. * (p.back()));
1599     if ((p.size() < 4) ^ cond == end_condition::not_a_knot) {
1600         _interpolate(p, scheme, end_condition::quadratic, m_0, m_L);
1601     }
1602     else {
1603         _interpolate(p, scheme, cond, m_0, m_L);
1604     }
1605 }
1606 cubic_spline::cubic_spline(const vector<point> &p, const point i, const point e, parametrization
1607     scheme)
1608 : curve(p),
1609   _mp("./cspline.cl"),
1610   _kernel_id(_mp.create_kernel("evaluate_crv"))
1611 {
1612     _interpolate(p, scheme, end_condition::clamped, i, e);
1613 }
```

146. 〈Methods of `cubic_spline` 112〉 +≡

```
1613 public:
1614     cubic_spline(const vector<point> &, end_condition cond = end_condition::not_a_knot,
1615         parametrization scheme = parametrization::centripetal);
1616     cubic_spline(const vector<point> &, const point, const point, parametrization
1617         scheme = parametrization::centripetal);
```

147. 먼저 parametrization scheme에 따라 knot sequence를 적절하게 배치해야한다. **cubic_spline** 타입은 uniform, chord length, centripetal, function spline parametrization을 지원한다. 알려지지 않은 scheme으로 parametrization을 시도하면 “unknown parametrization” 메시지를 담은 객체를 throw한다. 보통은 chord length parametrization이나 centripetal parametrization을 사용한다.

⟨Generate knot sequence according to given parametrization scheme 147⟩ ≡

```

1616     switch (scheme) {
1617     case parametrization::uniform: {
1618         ⟨Uniform parametrization of knot sequence 148⟩;
1619     }
1620     break;
1621     case parametrization::chord_length: {
1622         ⟨Chord length parametrization of knot sequence 149⟩;
1623     }
1624     break;
1625     case parametrization::centripetal: {
1626         ⟨Centripetal parametrization of knot sequence 150⟩;
1627     }
1628     break;
1629     case parametrization::function_spline: {
1630         ⟨Function spline parametrization of knot sequence 151⟩;
1631     }
1632     break;
1633     default:
1634         throw std::runtime_error
1635             {"unknown_parametrization"};
1636     }

```

This code is used in section 143.

148. Uniform parametrization: 등간격으로 knot들을 배치한다. Data point의 갯수가 L 이라면, i 번째 knot $u_i = L$ 로 설정한다. 이는 data point들 사이의 거리를 고려하지 않기 때문에 point들이 촘촘한 구간에서는 곡선이 천천히, 멀리 떨어진 구간에서는 너무 빨리 움직이는 문제가 있어서 data point들 사이의 간격들이 균일하지 못하면 곡선의 품질면에서 불리한 knot sequence를 생성하게 된다.

⟨Uniform parametrization of knot sequence 148⟩ ≡

```

1637     for (size_t i = 0; i < p.size(); i++) {
1638         _knot_sqnc.push_back(double(i));
1639     }

```

This code is used in section 147.

149. Chord length parametrization: data point, x_i 들 사이의 거리(chord length)에 비례하여 knot들을 배치한다. 즉, $u_{i+1} - u_i = \Delta_i$ 이고 $\|x_{i+1} - x_i\| = \Delta x_i$ 이면,

$$\frac{\Delta_i}{\Delta_{i+1}} = \frac{\|\Delta x_i\|}{\|\Delta x_{i+1}\|}$$

이 되도록 한다. 실제 구현에서는 $u_0 = 0$ 이고 $u_L = 1$ 이 되도록 하거나, 또는 $u_0 = 0$ 이고 $u_L = L$ 이 되도록 하는 것이 바람직하다.

〈Chord length parametrization of knot sequence 149〉≡

```

1640  _knot_sqnc.push_back(0.);    /* u_0 */
1641  double sum_delta = 0.;
1642  for (size_t i = 0; i < p.size() - 1; i++) {
1643      double delta = cagd::dist(p[i], p[i + 1]);    /* Δi */
1644      sum_delta += delta;
1645      _knot_sqnc.push_back(sum_delta);
1646  }
1647  if (sum_delta < 0.) {    /* Normalize knot sequence so that uL = 1. */
1648      for (knot_itr i = _knot_sqnc.begin(); i < _knot_sqnc.end(); i++) {
1649          *i /= sum_delta;
1650      }
1651  }

```

This code is used in section 147.

150. Centripetal parametrization: 일반적으로 chord length parametrization이 대부분의 경우 잘 동작하지만, 경우에 따라 우리가 원하는 결과가 잘 얻어지지 않는다. 특히 data point가 뾰족한 corner 근방에 놓여 있을 때, chord length parametrization은 그 corner 주변이 둥그스름하게 볼록 솟아나는 곡선을 만들어낸다. 그런 경우 corner의 형상을 올바르게 잡아주려면 centripetal parametrization으로 knot sequence를 생성한다. 이는 $u_{i+1} - u_i = \Delta_i$ 이고 $\|x_{i+1} - x_i\| = \Delta x_i$ 일때,

$$\frac{\Delta_i}{\Delta_{i+1}} = \left[\frac{\|\Delta x_i\|}{\|\Delta x_{i+1}\|} \right]^{1/2}$$

가 되도록 knot sequence를 잡아주는 것이며, 결과적으로 곡선을 따라 움직이는 point에 가해지는 구심력(centripetal force)의 변화(variation)을 부드럽게 만들어준다.

〈Centripetal parametrization of knot sequence 150〉≡

```

1652  double sum_delta = 0.;
1653  _knot_sqnc.push_back(sum_delta);
1654  for (size_t i = 0; i < p.size() - 1; i++) {
1655      double delta = sqrt(cagd::dist(p[i], p[i + 1]));
1656      sum_delta += delta;
1657      _knot_sqnc.push_back(sum_delta);
1658  }
1659  if (sum_delta < 0.) {    /* Normalize knot sequence so that uL = 1. */
1660      for (size_t i = 0; i < _knot_sqnc.size(); i++) {
1661          _knot_sqnc[i] /= sum_delta;
1662      }
1663  }

```

This code is used in section 147.

151. Function spline parametrization: 이는 data point x_i 의 첫 번째 좌표들을 knot sequence로 설정하는 것이다. 주로 2차원 평면상의 점 $x_i = (u_i, v_i)$ 들이 있을 때, u 축에 대한 함수로써의 v 를 spline interpolation할 때 사용한다.

〈Function spline parametrization of knot sequence 151〉 \equiv

```

1664   for (size_t i = 0; i < p.size(); i++) {
1665       _knot_sqnc.push_back(p[i](1));
1666   }
```

This code is used in section 147.

152. Hermite form을 이용한 cubic spline의 보간 방정식. Hermite form으로 기술한 piecewise cubic spline의 C^2 조건으로부터 보간 방정식을 유도할 수 있다. $u \in [u_i, u_{i+1}]$ 에 대하여 Hermite form은

$$\mathbf{x}(u) = \mathbf{x}_i H_0^3(r) + \mathbf{m}_i \Delta_i H_1^3(r) + \Delta_i \mathbf{m}_{i+1} H_2^3(r) + \mathbf{x}_{i+1} H_3^3(r)$$

이다. 이 때, $\Delta_i = u_{i+1} - u_i$ 이고 local parameter $r = (u - u_i)/\Delta_i$ 이다. Hermite polynomial H_i^3 은

$$H_0^3(t) = B_0^3(t) + B_1^3(t),$$

$$H_1^3(t) = \frac{1}{3} B_1^3(t),$$

$$H_2^3(t) = -\frac{1}{3} B_2^3(t),$$

$$H_3^3(t) = B_2^3(t) + B_3^3(t)$$

이며 Bernstein polynomial, $B_j^3(t)$ 는

$$B_j^n(t) = \binom{n}{j} t^j (1-t)^{n-j}$$

이다. Binomial coefficients는

$$\binom{n}{j} = \begin{cases} \frac{n!}{j!(n-j)!}, & \text{if } 0 \leq j \leq n; \\ 0, & \text{otherwise} \end{cases}$$

이다.

C^2 조건은

$$\ddot{\mathbf{x}}_+(u_i) = \ddot{\mathbf{x}}_-(u_i)$$

이므로 위의 식을 대입하여 정리하면

$$\Delta_i \mathbf{m}_{i-1} + 2(\Delta_{i-1} + \Delta_i) \mathbf{m}_i + \Delta_{i-1} \mathbf{m}_{i+1} = 3 \left(\frac{\Delta_i \Delta \mathbf{x}_{i-1}}{\Delta_{i-1}} + \frac{\Delta_{i-1} \Delta \mathbf{x}_i}{\Delta_i} \right) \quad (i = 1, \dots, L-1)$$

이다. 따라서, \mathbf{m}_0 와 \mathbf{m}_L 이 주어지는 clamped end condition을 가정하면 시스템 방정식은

$$\begin{pmatrix} 1 & & & & & & \\ \alpha_1 & \beta_1 & \gamma_1 & & & & \\ & & & \ddots & & & \\ & & & & \alpha_{L-1} & \beta_{L-1} & \gamma_{L-1} \\ & & & & & & 1 \end{pmatrix} \begin{pmatrix} \mathbf{m}_0 \\ \mathbf{m}_1 \\ \vdots \\ \mathbf{m}_{L-1} \\ \mathbf{m}_L \end{pmatrix} = \begin{pmatrix} \mathbf{r}_0 \\ \mathbf{r}_1 \\ \vdots \\ \mathbf{r}_{L-1} \\ \mathbf{r}_L \end{pmatrix}$$

이 때,

$$\alpha_i = \Delta_i,$$

$$\beta_i = 2(\Delta_{i-1} + \Delta_i),$$

$$\gamma_i = \Delta_{i-1}$$

이고

$$\mathbf{r}_0 = \mathbf{m}_0,$$

$$\mathbf{r}_i = 3 \left(\frac{\Delta_i \Delta \mathbf{x}_{i-1}}{\Delta_{i-1}} + \frac{\Delta_{i-1} \Delta \mathbf{x}_i}{\Delta_i} \right) \quad i = 1, \dots, L-1,$$

$$\mathbf{r}_L = \mathbf{m}_L$$

이다. 첫 번째와 마지막 방정식은 곡선의 종단조건에 따라 달라진다. 이는 다음 마디에서 보다 자세하게 다룬다.

〈Setup Hermite form equations of cubic spline interpolation 152〉 \equiv

unsigned long $L = p.size() - 1;$

```

1668  vector<double> a(L,0.0);      /*  $\alpha$ , lower diagonal. */
1669  vector<double> b(L+1,0.0);    /*  $\beta$ , diagonal. */
1670  vector<double> c(L,0.0);      /*  $\gamma$ , upper diagonal. */
1671  vector<point> r(L+1,point(p[0].dim())); /*  $\mathbf{r}$ , right hand side. */
1672  for (size_t i = 1; i  $\neq$  L; i++) {
1673      double d_im1 = delta(i-1);
1674      double d_i = delta(i);
1675      double alpha_i = d_i;
1676      double beta_i = 2.0 * (d_im1 + d_i);
1677      double gamma_i = d_im1;
1678      a[i-1] = alpha_i;
1679      b[i] = beta_i;
1680      c[i] = gamma_i;
1681      point r_i = 3.0 * (d_i * (p[i] - p[i-1])/d_im1 + d_im1 * (p[i+1] - p[i])/d_i);
1682      r[i] = r_i;
1683  }

```

This code is used in section [143](#).

153. 종단조건. 앞에서 설명한 바와 같이 cubic spline 보간은 방정식의 갯수보다 미지수의 갯수가 2개 많은 under-constrained system이다. 부족한 조건 2개는 곡선 양 끝단에서 컨트롤 포인트가 만족해야 하는 end condition으로 결정해야하며, **cubic_spline** 타입은 clamped, Bessel, quadratic, not-a-knot, natural, 그리고 periodic end condition을 지원한다.

Bessel end condition: \mathbf{p}_0 에서의 접선벡터 \mathbf{m}_0 는 처음 세 점을 보간하는 parabola의 접선벡터와 동일하다. 따라서,

$$\mathbf{r}_0 = -\frac{2(2\Delta_0 + \Delta_1)}{\Delta_0\beta_1}\mathbf{p}_0 + \frac{\beta_1}{2\Delta_0\Delta_1}\mathbf{p}_1 - \frac{2\Delta_0}{\Delta_1\beta_1}\mathbf{p}_2$$

이고

$$\mathbf{r}_L = \frac{2\Delta_{L-1}}{\Delta_{L-2}\beta_{L-1}}\mathbf{p}_{L-2} - \frac{\beta_{L-1}}{2\Delta_{L-2}\Delta_{L-1}}\mathbf{p}_{L-1} + \frac{2(2\Delta_{L-1} + \Delta_{L-2})}{\beta_{L-1}\Delta_{L-1}}\mathbf{p}_L$$

이다.

Quadratic end condition: 이는 곡선의 마지막 조각이 2차 다항식이 되는 조건이며

$$\begin{aligned}\ddot{\mathbf{x}}(u_0) &= \ddot{\mathbf{x}}(u_1), \\ \ddot{\mathbf{x}}(u_{L-1}) &= \ddot{\mathbf{x}}(u_L)\end{aligned}$$

이다. 따라서 시스템 방정식은

$$\begin{pmatrix} 1 & 1 & & & & & \\ \alpha_1 & \beta_1 & \gamma_1 & & & & \\ & & & \ddots & & & \\ & & & & \alpha_{L-1} & \beta_{L-1} & \gamma_{L-1} \\ & & & & & 1 & 1 \end{pmatrix} \begin{pmatrix} \mathbf{m}_0 \\ \mathbf{m}_1 \\ \vdots \\ \mathbf{m}_{L-1} \\ \mathbf{m}_L \end{pmatrix} = \begin{pmatrix} \mathbf{r}_0 \\ \mathbf{r}_1 \\ \vdots \\ \mathbf{r}_{L-1} \\ \mathbf{r}_L \end{pmatrix}$$

이고,

$$\begin{aligned}\mathbf{r}_0 &= \frac{2}{\Delta_0}\Delta\mathbf{p}_0, \\ \mathbf{r}_L &= \frac{2}{\Delta_{L-1}}\Delta\mathbf{p}_{L-1}\end{aligned}$$

이다.

Natural end condition: 이는 곡선의 양 끝에서 곡률이 0이 되는 조건이다. 즉,

$$\ddot{\mathbf{x}}(u_0) = \ddot{\mathbf{x}}(u_L) = 0$$

이 되므로 시스템 방정식은

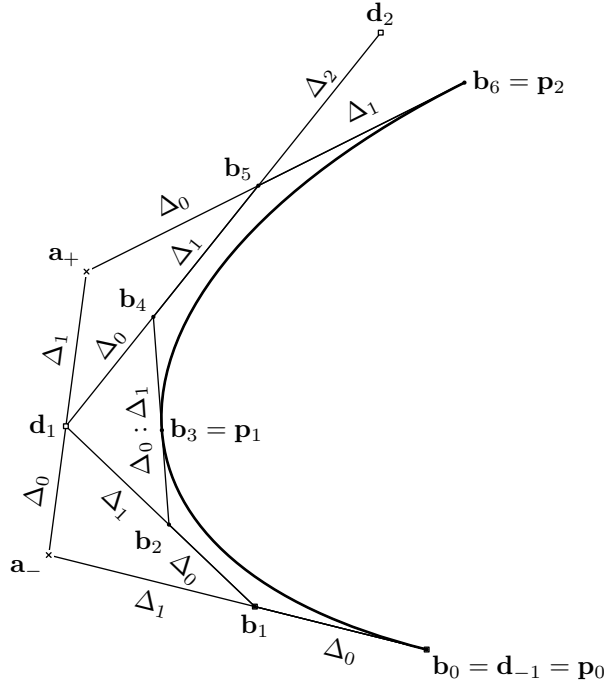
$$\begin{pmatrix} 2 & 1 & & & & & \\ \alpha_1 & \beta_1 & \gamma_1 & & & & \\ & & & \ddots & & & \\ & & & & \alpha_{L-1} & \beta_{L-1} & \gamma_{L-1} \\ & & & & & 1 & 2 \end{pmatrix} \begin{pmatrix} \mathbf{m}_0 \\ \mathbf{m}_1 \\ \vdots \\ \mathbf{m}_{L-1} \\ \mathbf{m}_L \end{pmatrix} = \begin{pmatrix} \mathbf{r}_0 \\ \mathbf{r}_1 \\ \vdots \\ \mathbf{r}_{L-1} \\ \mathbf{r}_L \end{pmatrix}$$

이고

$$\begin{aligned}\mathbf{r}_0 &= \frac{3}{\Delta_0}\Delta\mathbf{p}_0, \\ \mathbf{r}_L &= \frac{3}{\Delta_{L-1}}\Delta\mathbf{p}_{L-1}\end{aligned}$$

이다.

Not-a-knot end condition: 이는 곡선 양 끝에 놓인 각각 2개의 곡선 조각들이 하나의 Bézier 곡선이 되도록 하는 조건이다. 보간해야 하는 데이터 포인트, $\mathbf{p}_0, \dots, \mathbf{p}_L$ 이 있으면, \mathbf{p}_0 과 \mathbf{p}_1 을 연결하는 곡선과 \mathbf{p}_1 과 \mathbf{p}_2 를 연결하는 곡선이 \mathbf{p}_0 과 \mathbf{p}_2 를 연결하는 한 곡선의 subdivision이 되도록 하는 것이다. 이는 $\mathbf{p}_{L-2}, \mathbf{p}_{L-1}, \mathbf{p}_L$ 사이에서도 동일하게 주어지는 조건이다. 아래의 그림은 not-a-knot end condition을 만족하는 곡선의 시작 부분을 보여준다.



먼저 \mathbf{p}_0 부터 \mathbf{p}_2 까지 하나의 Bézier 곡선이 되어야 하는 조건은 de Casteljau 알고리즘으로부터

$$\begin{aligned} \mathbf{d}_0 &= (1-s)\mathbf{p}_0 + s\mathbf{a}_-; \quad s = \frac{\Delta_0}{\Delta_0 + \Delta_1} \\ \mathbf{b}_5 &= (1-s)\mathbf{a}_+ + s\mathbf{p}_2 = (1-r)\mathbf{d}_1 + r\mathbf{d}_2; \quad r = \frac{\Delta_0 + \Delta_1}{\Delta_0 + \Delta_1 + \Delta_2} \\ \mathbf{d}_1 &= (1-s)\mathbf{a}_- + s\mathbf{a}_+ \end{aligned}$$

이므로

$$\begin{aligned} \mathbf{a}_- &= \frac{1}{s}\mathbf{d}_0 - \frac{1-s}{s}\mathbf{p}_0 \\ \mathbf{a}_+ &= \frac{1}{1-s} \{ (1-r)\mathbf{d}_1 + r\mathbf{d}_2 \} - \frac{s}{1-s}\mathbf{p}_2 \end{aligned}$$

을 세 번째 식에 대입하고 정리하면

$$\frac{1-s}{s}\mathbf{d}_0 + \left(\frac{2s-sr-1}{1-s} \right) \mathbf{d}_1 + \frac{sr}{1-s}\mathbf{d}_2 = \frac{(1-s)^2}{s}\mathbf{p}_0 + \frac{s^2}{1-s}\mathbf{p}_2 \quad (*)$$

다.

한편, \mathbf{p}_1 에서의 C^2 연속성 조건을 기술하면,

$$\begin{aligned} \mathbf{b}_2 &= s\mathbf{d}_1 + (1-s)\mathbf{d}_0; \\ \mathbf{b}_4 &= q\mathbf{d}_1 + (1-q)\mathbf{d}_2; \quad q = \frac{\Delta_1 + \Delta_2}{\Delta_0 + \Delta_1 + \Delta_2} \\ \mathbf{p}_1 &= (1-s)\mathbf{b}_2 + s\mathbf{b}_4 \end{aligned}$$

이므로

$$(1-s)^2 \mathbf{d}_0 + s(1-s+q) \mathbf{d}_1 + s(1-q) \mathbf{d}_2 = \mathbf{p}_1$$

이다. 이때, $q = 1 - sr$ 이므로 q 를 소거하면

$$(1-s)^2 \mathbf{d}_0 + s(2-s-sr) \mathbf{d}_1 + s^2 r \mathbf{d}_2 = \mathbf{p}_1 \quad (**)$$

이 된다. \mathbf{d}_2 항을 소거하여 tridiagonal matrix 방정식을 얻기 위해 식 (**)를 $(**) - (*) \times s(1-s)$ 로 치환하면,

$$(-3s^2 + 3s) \mathbf{d}_1 = -(1-s)^3 \mathbf{p}_0 + \mathbf{p}_1 - s^3 \mathbf{p}_2$$

이다. 곡선의 마지막 부분 두 개의 조각에 대해서도 같은 과정을 통하여 방정식을 유도할 수 있다.

정리하면 시스템 방정식은

$$\begin{pmatrix} 0 & -3s_i^2 + 3s_i & & & \\ \frac{1-s_i}{s_i} & \frac{s_i}{1-s_i}(1-r_i) - 1 & \frac{s_i r_i}{1-s_i} & & \\ & \ddots & \ddots & \ddots & \\ & & \frac{s_f r_f}{1-s_f} & \frac{s_f}{1-s_f}(1-r_f) - 1 & \frac{1-s_f}{s_f} \\ & & & -3s_f^2 + 3s_f & 0 \end{pmatrix} \begin{pmatrix} \mathbf{d}_0 \\ \mathbf{d}_1 \\ \vdots \\ \mathbf{d}_{L-1} \\ \mathbf{d}_L \end{pmatrix} = \begin{pmatrix} -(1-s_i)^3 \mathbf{p}_0 + \mathbf{p}_1 - s_i^3 \mathbf{p}_2 \\ \frac{(1-s_i)^2}{s_i} \mathbf{p}_0 + \frac{s_i^2}{1-s_i} \mathbf{p}_2 \\ \vdots \\ \frac{s_f^2}{1-s_f} \mathbf{p}_{L-2} + \frac{(1-s_f)^2}{s_f} \mathbf{p}_L \\ -s_f^3 \mathbf{p}_{L-2} + \mathbf{p}_{L-1} - (1-s_f)^3 \mathbf{p}_L \end{pmatrix}$$

이다. 위의 식에서

$$\begin{aligned} s_i &= \frac{\Delta_0}{\Delta_0 + \Delta_1} \\ r_i &= \frac{\Delta_0 + \Delta_1}{\Delta_0 + \Delta_1 + \Delta_2} \\ s_f &= \frac{\Delta_{L-1}}{\Delta_{L-2} + \Delta_{L-1}} \\ r_f &= \frac{\Delta_{L-2} + \Delta_{L-1}}{\Delta_{L-3} + \Delta_{L-2} + \Delta_{L-1}} \end{aligned}$$

이다.

Hermite form과 Bézier 컨트롤 포인트 사이의 관계, 그리고 그림에 표시된 \mathbf{b}_i 와 \mathbf{d}_i 사이의 거리 비례 관계로부터

$$\begin{aligned} \mathbf{d}_0 &= \mathbf{p}_0 + \frac{\Delta_0}{3} \mathbf{m}_0, \\ \mathbf{d}_1 &= \frac{1}{\Delta_0} \left\{ (\Delta_0 + \Delta_1) \left(\mathbf{p}_1 - \frac{\Delta_0}{3} \mathbf{m}_1 \right) - \Delta_1 \left(\mathbf{p}_0 + \frac{\Delta_0}{3} \mathbf{m}_0 \right) \right\}, \\ \mathbf{d}_2 &= \frac{1}{\Delta_1} \left\{ (\Delta_1 + \Delta_2) \left(\mathbf{p}_2 - \frac{\Delta_1}{3} \mathbf{m}_2 \right) - \Delta_2 \left(\mathbf{p}_1 + \frac{\Delta_1}{3} \mathbf{m}_1 \right) \right\} \end{aligned}$$

이다. 따라서 위의 연립방정식에서 $\mathbf{d}_0, \mathbf{d}_1, \mathbf{d}_2$ 를 이 식들로 치환하고 정리하면 곡선의 첫 번째 두 마디에 대한 not-a-knot 종단 조건은

$$\begin{pmatrix} \frac{\Delta_0 \Delta_1^2}{\Delta_0(2\Delta_1 - \Delta_2) + 2\Delta_1 \Delta_{12}} & \frac{\Delta_0 \Delta_1 \Delta_{01}}{3\Delta_1 \Delta_{012}} & -\frac{\Delta_0 \Delta_{01} \Delta_{12}}{3\Delta_1 \Delta_{012}} \end{pmatrix} \begin{pmatrix} \mathbf{m}_0 \\ \mathbf{m}_1 \\ \mathbf{m}_2 \end{pmatrix} = \begin{pmatrix} \frac{-\Delta_1^2(3\Delta_0 + 2\Delta_1) \mathbf{p}_0 - (\Delta_0 - 2\Delta_1) \Delta_{01}^2 \mathbf{p}_1 + \Delta_0^3 \mathbf{p}_2}{\Delta_0 \Delta_1^2 \Delta_{012}} + \frac{\Delta_{01}^3 \mathbf{p}_0 + \Delta_0^3 \mathbf{p}_2}{\Delta_0 \Delta_1^2 + \Delta_0^2 \Delta_1} \end{pmatrix}$$

이다. 이 때, $\Delta_{01} = \Delta_0 + \Delta_1$, $\Delta_{12} = \Delta_1 + \Delta_2$, $\Delta_{012} = \Delta_0 + \Delta_1 + \Delta_2$ 를 의미한다.

곡선의 반대쪽 끝에서도 같은 방법으로 종단조건 방정식을 유도할 수 있다. 연관되는 컨트롤 포인트들은

$$\begin{aligned} \mathbf{d}_L &= \mathbf{p}_L - \frac{\Delta_{L-1}}{3} \mathbf{m}_L, \\ \mathbf{d}_{L-1} &= \frac{1}{\Delta_{L-1}} \left\{ (\Delta_{L-2} + \Delta_{L-1}) \left(\mathbf{p}_{L-1} + \frac{\Delta_{L-1}}{3} \mathbf{m}_{L-1} \right) - \Delta_{L-2} \left(\mathbf{p}_L - \frac{\Delta_{L-1}}{3} \mathbf{m}_L \right) \right\}, \\ \mathbf{d}_{L-2} &= \frac{1}{\Delta_{L-2}} \left\{ (\Delta_{L-3} + \Delta_{L-2}) \left(\mathbf{p}_{L-2} + \frac{\Delta_{L-2}}{3} \mathbf{m}_{L-2} \right) - \Delta_{L-3} \left(\mathbf{p}_{L-1} - \frac{\Delta_{L-2}}{3} \mathbf{m}_{L-1} \right) \right\} \end{aligned}$$

이고, 이를 \mathbf{d}_i 에 대하여 기술한 곡선 마지막 부분의 종단조건 방정식에 대입하면,

$$\begin{pmatrix} \frac{\Delta_{32}^* \Delta_1^* \Delta_{21}^*}{3\Delta_2^* \Delta_{321}^*} & \frac{-\Delta_{21}^* (\Delta_3^* (\Delta_2^* - 2\Delta_1^*) + \Delta_2^* \Delta_{21}^*)}{3\Delta_2^* \Delta_{321}^*} & \frac{\Delta_3^* (-2\Delta_2^* + \Delta_1^*) - 2\Delta_2^* \Delta_{21}^*}{3\Delta_{321}^*} \end{pmatrix} \begin{pmatrix} \mathbf{m}_{L-2} \\ \mathbf{m}_{L-1} \\ \mathbf{m}_L \end{pmatrix} \\ = \begin{pmatrix} \frac{-\Delta_{32}^* \Delta_1^* \Delta_{21}^* \mathbf{p}_{L-2} + (\Delta_2^{*2} \Delta_{21}^{*2} + \Delta_3^* (\Delta_2^* + \Delta_1^*^3)) \mathbf{p}_{L-1} - \Delta_2^{*2} (\Delta_3^* (2\Delta_2^* - \Delta_1^*) + 2\Delta_2^* \Delta_{21}^*) \mathbf{p}_L}{\Delta_2^{*2} \Delta_1^* \Delta_{321}^*} + \frac{\Delta_1^{*3} \mathbf{p}_{L-2} + \Delta_2^{*3} \mathbf{p}_L}{\Delta_2^{*2} \Delta_1^* + \Delta_2^* \Delta_1^{*2}} \\ \frac{-\Delta_1^{*3} \mathbf{p}_{L-2} + (2\Delta_2^* - \Delta_1^*) \Delta_{21}^{*2} \mathbf{p}_{L-1} - \Delta_2^{*2} (2\Delta_2^* + 3\Delta_1^*) \mathbf{p}_L}{\Delta_{21}^*} \end{pmatrix}$$

이다. 위의 식에서 $\Delta_i^* = \Delta_{L-i}$ 를 의미하고, $\Delta_{21}^* = \Delta_2^* + \Delta_1^*$, $\Delta_{32}^* = \Delta_3^* + \Delta_2^*$, $\Delta_{321}^* = \Delta_3^* + \Delta_2^* + \Delta_1^*$ 이다.

참고: Not-a-knot end condition은 최소 4개 이상($3 \leq L$)이어야 적용 가능하다. 왜냐하면, $L = 2$ 인 경우에는 $s_i = \Delta_0/(\Delta_0 + \Delta_1)$, $s_f = \Delta_1/(\Delta_0 + \Delta_1)$, $r_i = r_f = 1$ 이 되어 시스템 방정식은

$$\begin{pmatrix} 0 & \frac{3\Delta_0\Delta_1}{(\Delta_0+\Delta_1)^2} & \\ \frac{\Delta_1}{\Delta_0} & -1 & \frac{\Delta_0}{\Delta_1} \\ \frac{3\Delta_0\Delta_1}{(\Delta_0+\Delta_1)^2} & 0 & \end{pmatrix} \begin{pmatrix} \mathbf{d}_0 \\ \mathbf{d}_1 \\ \mathbf{d}_2 \end{pmatrix} = \begin{pmatrix} -\frac{\Delta_1^3}{(\Delta_0+\Delta_1)^3} \mathbf{p}_0 + \mathbf{p}_1 - \frac{\Delta_0^3}{(\Delta_0+\Delta_1)^3} \mathbf{p}_2 \\ \frac{\Delta_1^2}{\Delta_0(\Delta_0+\Delta_1)} \mathbf{p}_0 + \frac{\Delta_0^2}{\Delta_1(\Delta_0+\Delta_1)} \mathbf{p}_2 \\ -\frac{\Delta_1^3}{(\Delta_0+\Delta_1)^3} \mathbf{p}_0 + \mathbf{p}_1 - \frac{\Delta_0^3}{(\Delta_0+\Delta_1)^3} \mathbf{p}_2 \end{pmatrix}$$

이 되며, 좌측 행렬은 rank가 2에 불과한 underconstrained system을 의미하기 때문이다.

⟨ Modify equations according to end conditions and solve them 153 ⟩ ≡

```

1684 switch (cond) {
1685   case end_condition::clamped:
1686     b[0] = 1.0; /* First row. */
1687     c[0] = 0.0;
1688     r[0] = m_0;
1689     a[L-1] = 0.0; /* Last row. */
1690     b[L] = 1.0;
1691     r[L] = m_L;
1692     break;
1693   case end_condition::bessel:
1694     b[0] = 1.0;
1695     c[0] = 0.0;
1696     r[0] = -2 * (2 * delta(0) + delta(1)) / (delta(0) * b[1]) * p[0] + b[1] / (2 * delta(0) * delta(1)) * p[1] - 2 *
        delta(0) / (delta(1) * b[1]) * p[2];
1697     a[L-1] = 0.0;
1698     b[L] = 1.0;
1699     r[L] = 2 * delta(L-1) / (delta(L-2) * b[L-1]) * p[L-2] - b[L-1] / (2 * delta(L-2) * delta(L-1)) *
        p[L-1] + 2 * (2 * delta(L-1) + delta(L-2)) / (b[L-1] * delta(L-1)) * p[L];
1700     break;
1701   case end_condition::not_a_knot:
1702     {
1703       double d0 = delta(0);

```

```

1704     double d1 = delta(1);
1705     double d2 = delta(2);
1706     double d01 = d0 + d1;
1707     double d12 = d1 + d2;
1708     double d012 = d0 + d1 + d2;
1709     b[0] = d0 * pow(d1, 2);
1710     c[0] = d0 * d1 * d01;
1711     r[0] = (p[2] * pow(d0, 3) - p[1] * (d0 - 2 * d1) * pow(d01, 2) - p[0] * pow(d1, 2) * (3 * d0 + 2 * d2)) / d01;
1712     a[0] = (d0 * (2 * d1 - d2) + 2 * d1 * d12) / (3 * d012);
1713     b[1] = (d01) * (d0 * (d1 - 2 * d2) + d1 * d12) / (3 * d1 * d012);
1714     c[1] = -d0 * d01 * d12 / (3 * d1 * d012);
1715     r[1] = (-p[2] * pow(d0, 2) * d01 * d12 - p[0] * pow(d1,
1716         2) * (d0 * (2 * d1 - d2) + 2 * d1 * d12) + p[1] * (pow(d0 * d1, 2) + 2 * d0 * pow(d1, 3) + pow(d0,
1717         3) * d2 + pow(d1, 3) * d12)) / (d0 * pow(d1, 2) * d012) + (p[2] * pow(d0, 3) + p[0] * pow(d1,
1718         3)) / (d0 * d1 * d01);
1716     d1 = delta(L - 1);
1717     d2 = delta(L - 2);
1718     double d3 = delta(L - 3);
1719     d12 = d1 + d2;
1720     double d23 = d2 + d3;
1721     double d123 = d1 + d2 + d3;
1722     a[L - 2] = d23 * d1 * d12 / (3 * d2 * d123);
1723     b[L - 1] = -d12 * (d3 * (d2 - 2 * d1) + d2 * d12) / (3 * d2 * d123);
1724     c[L - 1] = (d3 * (-2 * d2 + d1) - 2 * d2 * d12) / (3 * d123);
1725     r[L - 1] = (-p[L - 2] * d23 * pow(d1, 2) * d12 - p[L] * pow(d2,
1726         2) * (d3 * (2 * d2 - d1) + 2 * d2 * d12) + p[L - 1] * (pow(d2, 2) * pow(d12, 2) + d3 * (pow(d2, 3) + pow(d1,
1727         3)))) / (pow(d2, 2) * d1 * d123) + (pow(d2, 3) * p[L] + pow(d1, 3) * p[L - 2]) / (d1 * d2 * d12);
1726     a[L - 1] = d2 * d1 * d12;
1727     b[L] = pow(d2, 2) * d1;
1728     r[L] = (-p[L - 2] * pow(d1, 3) - p[L - 1] * (2 * d2 - d1) * pow(d12, 2) + p[L] * pow(d2,
1729         2) * (2 * d2 + 3 * d1)) / d12;
1729 }
1730 break;
1731 case end_condition::quadratic:
1732     b[0] = 1.0;
1733     c[0] = 1.0;
1734     r[0] = 2 / delta(0) * (p[1] - p[0]);
1735     a[L - 1] = 1.0;
1736     b[L] = 1.0;
1737     r[L] = 2 / delta(L - 1) * (p[L] - p[L - 1]);
1738     break;
1739 case end_condition::natural:
1740     b[0] = 2.0;
1741     c[0] = 1.0;
1742     r[0] = 3 / delta(0) * (p[1] - p[0]);
1743     a[L - 1] = 1.0;
1744     b[L] = 2.0;
1745     r[L] = 3 / delta(L - 1) * (p[L] - p[L - 1]);
1746     break;
1747 default:
1748     throw std::runtime_error

```

```

1749     {"unknown_end_condition"};
1750 }
1751 solve_hform_tridiagonal_system_set_ctrl_pts(a, b, c, r, p);

```

This code is used in section 143.

154. Hermite form을 이용한 tridiagonal system 방정식을 풀면 컨트롤 포인트가 아니라 \mathbf{m}_i 들을 결과로 얻는다. 따라서 Hermite form을 Bézier form을 거쳐 B-spline form으로 변경하여 컨트롤 포인트를 얻는다.

⟨Methods for interpolation of **cubic_spline** 143⟩ +≡

```

1752 void cubic_spline::solve_hform_tridiagonal_system_set_ctrl_pts(
1753     const vector<double> &a,
1754     const vector<double> &b,
1755     const vector<double> &c,
1756     const vector<point> &r,
1757     const vector<point> &p
1758 ) {
1759     unsigned long L = p.size() - 1;
1760     vector<point> m(L + 1, point(p[0].dim()));
1761     if (solve_tridiagonal_system(a, b, c, r, m) != 0) {
1762         throw std::runtime_error
1763             {"tridiagonal_system_not_solvable"};
1764     }
1765     vector<point> bp = bezier_points_from_hermite_form(p, m);
1766     vector<point> d = control_points_from_bezier_form(bp);
1767     _ctrl_pts = d;
1768 }

```

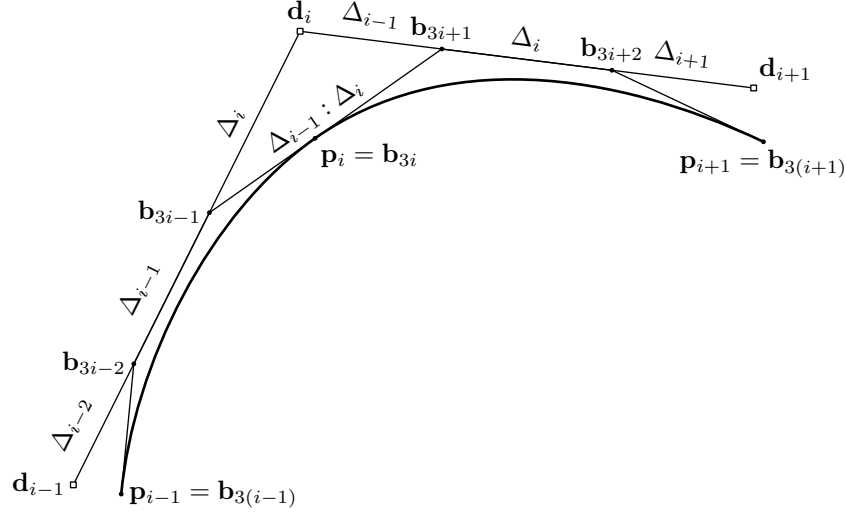
155. ⟨Methods of **cubic_spline** 112⟩ +≡

```

1769 protected:
1770 void solve_hform_tridiagonal_system_set_ctrl_pts(
1771     const vector<double> &, const vector<double> &, const vector<double> &,
1772     const vector<point> &, const vector<point> &);

```

156. 사람의 보행궤적과 같은 주기적인 운동궤적을 다루기 위해서는 곡선의 시작점과 끝점이 일치($\mathbf{p}_0 = \mathbf{p}_L$) 할 뿐 아니라 그 점에서 2차 미분까지 연속(C^2 condition)인 곡선이 필요하다. 이 마디에서는 Hermite form이 아니라 B-spline의 컨트롤 포인트로부터 데이터 포인트 \mathbf{p}_i 에서의 C^2 연속성 조건을 기술한다.



모든 B-spline은 piecewise Bézier 곡선으로 표현 가능하다. 위의 그림을 참조하면,

$$\mathbf{p}_i = \mathbf{b}_{3i}; \quad i = 0, \dots, L$$

이고, inner Bézier control point, $\mathbf{b}_{3i\pm 1}$ 과 \mathbf{p}_i 사이의 관계는 곡선의 C^1 연속성 조건에 의하여

$$\mathbf{p}_i = \frac{\Delta_i \mathbf{b}_{3i-1} + \Delta_{i-1} \mathbf{b}_{3i+1}}{\Delta_{i-1} + \Delta_i}; \quad i = 1, \dots, L-1$$

이다. 이때, $\Delta_i = \Delta u_i$ 를 간략하게 쓴 것이다. 이제 C^2 연속성 조건에 의하여 spline의 컨트롤 포인트 \mathbf{d}_i 와 $\mathbf{b}_{3i\pm 1}$ 사이의 관계는

$$\begin{aligned} \mathbf{b}_{3i-1} &= \frac{\Delta_i \mathbf{d}_{i-1} + (\Delta_{i-2} + \Delta_{i-1}) \mathbf{d}_i}{\Delta_{i-2} + \Delta_{i-1} + \Delta_i}; \quad i = 2, \dots, L-1 \\ \mathbf{b}_{3i+1} &= \frac{(\Delta_i + \Delta_{i+1}) \mathbf{d}_i + \Delta_{i-1} \mathbf{d}_{i+1}}{\Delta_{i-1} + \Delta_i + \Delta_{i+1}}; \quad i = 1, \dots, L-2 \end{aligned}$$

이다.

*Note: periodic*이 아닌 일반 곡선의 양 끝부분에서는 조금 상황이 다르며

$$\begin{aligned} \mathbf{b}_2 &= \frac{\Delta_1 \mathbf{d}_0 + \Delta_0 \mathbf{d}_1}{\Delta_0 + \Delta_1} \\ \mathbf{b}_{3L-2} &= \frac{\Delta_{L-1} \mathbf{d}_{L-1} + \Delta_{L-2} \mathbf{d}_L}{\Delta_{L-2} + \Delta_{L-1}} \\ \mathbf{b}_1 &= \mathbf{d}_0 \\ \mathbf{b}_{3L-1} &= \mathbf{d}_L \end{aligned}$$

이 된다. \mathbf{d}_0 와 \mathbf{d}_L 은 *end condition*에 의하여 결정되거나, *clamped end condition*의 경우에는 임의의 값이 주어진다.

주어진 데이터 포인트 \mathbf{p}_i 와 미지수인 컨트롤 포인트 \mathbf{d}_i 사이의 관계식을 정리하면,

$$(\Delta_{i-1} + \Delta_i) \mathbf{p}_i = \alpha_i \mathbf{d}_{i-1} + \beta_i \mathbf{d}_i + \gamma_i \mathbf{d}_{i+1}$$

의 형태가 되며,

$$\begin{aligned}\alpha_i &= \frac{(\Delta_i)^2}{\Delta_{i-2} + \Delta_{i-1} + \Delta_i} \\ \beta_i &= \frac{\Delta_i(\Delta_{i-2} + \Delta_{i-1})}{\Delta_{i-2} + \Delta_{i-1} + \Delta_i} + \frac{\Delta_{i-1}(\Delta_i + \Delta_{i+1})}{\Delta_{i-1} + \Delta_i + \Delta_{i+1}} \\ \gamma_i &= \frac{(\Delta_{i-1})^2}{\Delta_{i-1} + \Delta_i + \Delta_{i+1}}\end{aligned}$$

이다.

Periodic cubic spline 곡선의 컨트롤 포인트는 방정식

$$\begin{pmatrix} \beta_0 & \gamma_0 & & & \alpha_0 \\ \alpha_1 & \beta_1 & \gamma_1 & & \\ & & \ddots & & \\ & & & \alpha_{L-2} & \beta_{L-2} & \gamma_{L-2} \\ \gamma_{L-1} & & & \alpha_{L-1} & \beta_{L-1} \end{pmatrix} \begin{pmatrix} \mathbf{d}_0 \\ \mathbf{d}_1 \\ \vdots \\ \mathbf{d}_{L-1} \end{pmatrix} = \begin{pmatrix} \mathbf{r}_0 \\ \mathbf{r}_1 \\ \vdots \\ \mathbf{r}_{L-1} \end{pmatrix}$$

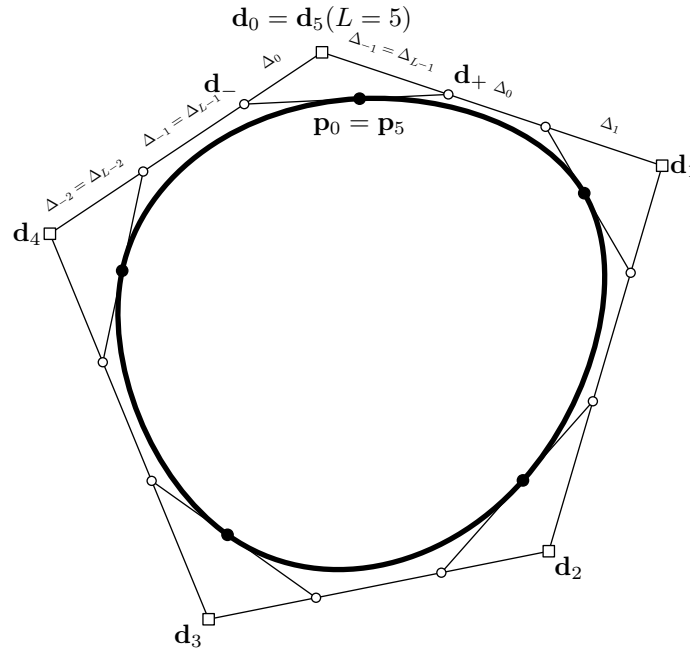
의 해를 구함으로써 얻을 수 있다. 이 때

$$\mathbf{r}_i = (\Delta_{i-1} + \Delta_i)\mathbf{p}_i$$

이고,

$$\Delta_0 = \Delta_L, \quad \Delta_{-1} = \Delta_{L-1}, \quad \Delta_{-2} = \Delta_{L-2}$$

이다. $\alpha_i, \beta_i, \gamma_i, \mathbf{r}_i$ 의 정의는 앞의 C^2 조건으로부터 유도되는 식을 따르는데, 새로운 Δ_i 의 정의로 인하여 $\alpha_0, \alpha_1, \beta_0, \beta_1, \beta_{L-1}, \gamma_0, \gamma_{L-1}, \mathbf{r}_0$ 는 새로 계산해야한다. 아래 그림은 $L = 5$ 인 경우의 periodic end condition을 보여준다.



한 가지 주의할 점은, 위의 방정식의 해가 바로 periodic cubic spline 곡선의 컨트롤 포인트는 아니다. Cubic spline 곡선의 컨트롤 포인트는 곡선의 양 끝점을 포함한다. 따라서 위의 그림을 예로 들면 곡선의 컨트롤 포인트는 $\mathbf{p}_0, \mathbf{d}_+, \mathbf{d}_1, \mathbf{d}_2, \mathbf{d}_3, \mathbf{d}_4, \mathbf{d}_-, \mathbf{p}_5$ 다.

〈Setup equations for periodic end condition and solve them 156〉≡

1773 **unsigned long** $L = p.size() - 1;$


```

1774 vector<double> a(L,0.0);    /*  $\alpha$ , lower diagonal. */
1775 vector<double> b(L,0.0);    /*  $\beta$ , diagonal. */
1776 vector<double> c(L,0.0);    /*  $\gamma$ , upper diagonal. */
1777 vector<point> r(L,p[0].dim()); /*  $\mathbf{r}$ , right hand side. */
1778 a[0] = delta(0) * delta(0) / (delta(L-2) + delta(L-1) + delta(0));
1779 b[0] = delta(0) * (delta(L-2) + delta(L-1)) / (delta(L-2) + delta(L-1) + delta(0) + delta(L-1) *
      (delta(0) + delta(1)) / (delta(L-1) + delta(0) + delta(1)));
1780 c[0] = delta(L-1) * delta(L-1) / (delta(L-1) + delta(0) + delta(1));
1781 for (size_t i = 1; i  $\neq$  L; i++) {
1782     double delta_im2 = delta(i-2);
1783     double delta_im1 = delta(i-1);
1784     double delta_i = delta(i);
1785     double delta_ip1 = delta(i+1);
1786     double alpha_i = delta_i * delta_i / (delta_im2 + delta_im1 + delta_i);
1787     double beta_i = delta_i * (delta_im2 + delta_im1) / (delta_im2 + delta_im1 + delta_i) + delta_im1 *
      (delta_i + delta_ip1) / (delta_im1 + delta_i + delta_ip1);
1788     double gamma_i = delta_im1 * delta_im1 / (delta_im1 + delta_i + delta_ip1);
1789     a[i] = alpha_i;
1790     b[i] = beta_i;
1791     c[i] = gamma_i;
1792     r[i] = (delta_im1 + delta_i) * p[i];
1793 }
1794 a[1] = delta(1) * delta(1) / (delta(L-1) + delta(0) + delta(1));
1795 b[1] = delta(1) * (delta(L-1) + delta(0)) / (delta(L-1) + delta(0) + delta(1) + delta(0) * (delta(1) +
      delta(2)) / (delta(0) + delta(1) + delta(2)));
1796 b[L-1] = delta(L-1) * (delta(L-3) + delta(L-2)) / (delta(L-3) + delta(L-2) + delta(L-1)) +
      delta(L-2) * (delta(L-1) + delta(0)) / (delta(L-2) + delta(L-1) + delta(0));
1797 c[L-1] = delta(L-2) * delta(L-2) / (delta(L-2) + delta(L-1) + delta(0));
1798 r[0] = (delta(L-1) + delta(0)) * p[0];
1799 vector<point> x(L, point(p[0].dim()));
1800 if (solve_cyclic_tridiagonal_system(a,b,c,r,x)  $\neq$  0) {
1801     throw std::runtime_error
1802     {"tirdiagonal_system_not_solvable"};
1803 }
1804 point d_plus(((delta(0) + delta(1)) * x[0] + delta(L-1) * x[1]) / (delta(L-1) + delta(0) + delta(1)));
1805 point d_minus(((delta(L-2) + delta(L-1)) * x[0] + delta(0) * x[L-1]) / (delta(L-2) + delta(L-1) + delta(0)));
1806 vector<point> d(L+1, point(p[0].dim()));
1807 d[0] = d_plus;
1808 for (size_t i = 1; i  $\neq$  L; i++) {
1809     d[i] = x[i];
1810 }
1811 d[L] = d_minus;
1812 set_control_points(p[0], d, p[L]);

```

This code is used in section 143.

157. Test: Cubic Spline Interpolation. $x = \pi, \pi + 1, \dots, \pi + 10$ 일 때, $y = \sin(x) + 3$ 으로 주어지는 data point,

$$y = 3.0000, 2.1585, 2.0907, 2.8589, 3.7568, 3.9589, 3.2794, 2.3430, 2.0106, 2.5879, 3.5440$$

을 cubic spline으로 보간하는 예제를 보여준다. End condition은 not-a-knot을 적용한다.

⟨ Test routines 9 ⟩ +=

```

1813     print_title("cubic_spline_interpolation");
1814     {
1815         ⟨ Generate example data points 158 ⟩;
1816         cubic_spline crv(p, cubic_spline::end_condition::not_a_knot,
            cubic_spline::parametrization::function_spline);
1817         psf file = create_postscript_file("sine_curve.ps");
1818         crv.write_curve_in_postscript(file, 100, 1., 1, 2, 40.);
1819         crv.write_control_polygon_in_postscript(file, 1., 1, 2, 40.);
1820         crv.write_control_points_in_postscript(file, 1., 1, 2, 40.);
1821         close_postscript_file(file, true);
1822         ⟨ Compare the result of interpolation with MATLAB 159 ⟩;
1823         cout << crv.description();
1824         const unsigned steps = 1000;
1825         vector<double> knots = crv.knot_sequence();
1826         double du = (knots[knots.size() - 3] - knots[2]) / double(steps - 1);
1827         double us[steps];
1828         vector<point> crv_pts_s(steps, point(2));
1829         for (size_t i = 0; i < steps; i++) {
1830             us[i] = knots[2] + i * du;
1831         }
1832         auto t0 = high_resolution_clock::now();
1833         for (size_t i = 0; i < steps; i++) {
1834             crv_pts_s[i] = crv.evaluate(us[i]);
1835         }
1836         auto t1 = high_resolution_clock::now();
1837         cout << "Serial_computation:" << duration_cast<milliseconds>(t1 - t0).count() << " msec\n";
1838         t0 = high_resolution_clock::now();
1839         vector<point> crv_pts_p = crv.evaluate_all(steps);
1840         t1 = high_resolution_clock::now();
1841         cout << "Parallel_computation:" << duration_cast<milliseconds>(t1 - t0).count() <<
            " msec\n";
1842         double diff = 0.;
1843         for (size_t i = 0; i < steps; i++) {
1844             diff += dist(crv_pts_s[i], crv_pts_p[i]);
1845         }
1846         cout << "Mean_difference_between_serial_and_parallel_computation=" <<
            diff / double(steps) << endl;
1847     }

```

158. \langle Generate example data points 158 $\rangle \equiv$

```

1848   vector<point> p;
1849   for (unsigned i = 0; i < 11; i++) {
1850       point datum = point({0,0});
1851       datum(1) = static_cast<double>(i) + M_PI;
1852       datum(2) = sin(datum(1)) + 3.;
1853       p.push_back(datum);
1854   }

```

This code is used in section 157.

159. 보간 결과의 정확성을 검증하기 위하여 MATLAB에서 *spline()* 함수를 이용하여 보간한 것과 비교한다. $x = \pi, \pi + .25, \pi + .5, \dots, \pi + 10$ 에 대하여 cubic spline으로 보간한 함수 $f()$ 로부터 $y = f(x)$ 를 계산한 것을 root-mean-square로 상호 비교했다.

\langle Compare the result of interpolation with MATLAB 159 $\rangle \equiv$

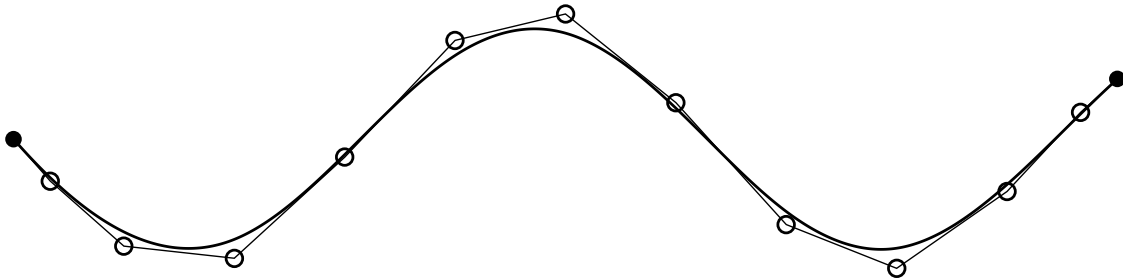
```

1855   double matlab_bench[] = {3.0000, 2.7308, 2.4983, 2.3062, 2.1585, 2.0592, 2.0122, 2.0214, 2.0907, 2.2211,
                             2.4018, 2.6190, 2.8589, 3.1075, 3.3501, 3.5715, 3.7568, 3.8928, 3.9742, 3.9974, 3.9589, 3.8578, 3.7032,
                             3.5065, 3.2794, 3.0342, 2.7858, 2.5502, 2.3430, 2.1785, 2.0643, 2.0063, 2.0106, 2.0804, 2.2073, 2.3802,
                             2.5879, 2.8193, 3.0632, 3.3085, 3.5440};
1856   double interpolated[41];
1857   double u = M_PI;
1858   double err = 0.;
1859   for (size_t i = 0; i < 41; i++) {
1860       double y = crv.evaluate(u)(2);
1861       interpolated[i] = y;
1862       u += 0.25;
1863       err += (interpolated[i] - matlab_bench[i]) * (interpolated[i] - matlab_bench[i]);
1864   }
1865   err /= 41;
1866   err = sqrt(err);
1867   cout << "RMS_error_of_interpolation_(compared_with_MATLAB) = " << err << endl;

```

This code is used in section 157.

160. 실행 결과.

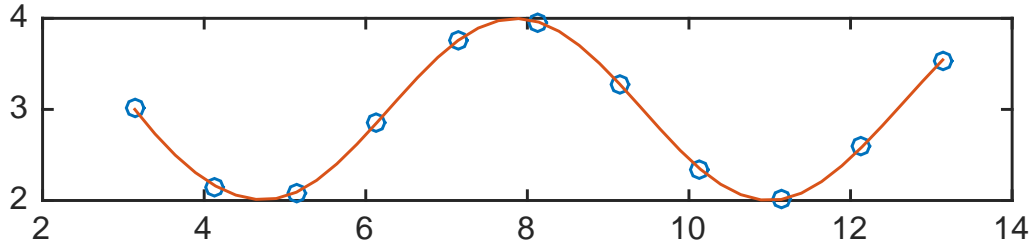


MATLAB에서 *spline()* 함수를 이용하여 같은 데이터를 cubic spline 보간한 것과 결과를 비교하면 다음과 같은 결과가 출력된다. 오차가 10^{-5} 오더로 발생한 것은 MATLAB에서 계산한 결과를 소수점 4째 자리까지 반올림한 것으로 가져왔기 때문이다.

RMS error of interpolation (compared with MATLAB) = 2.29482e-05

161. 참고로 MATLAB에서 같은 데이터로 cubic spline 보간을 하는 코드와 결과는 다음과 같다.

```
>> x = pi:1:(pi+10);
>> y = sin(x)+3;
>> xx = pi:.25:pi+10;
>> yy = spline (x, y, xx);
>> plot (x, y, 'o', xx, yy);
>> set (gcf, 'PaperPosition', [0 0 10 2]);
>> set (gcf, 'PaperSize', [10 2]);
>> saveas (gcf, 'matlab', 'pdf')
```

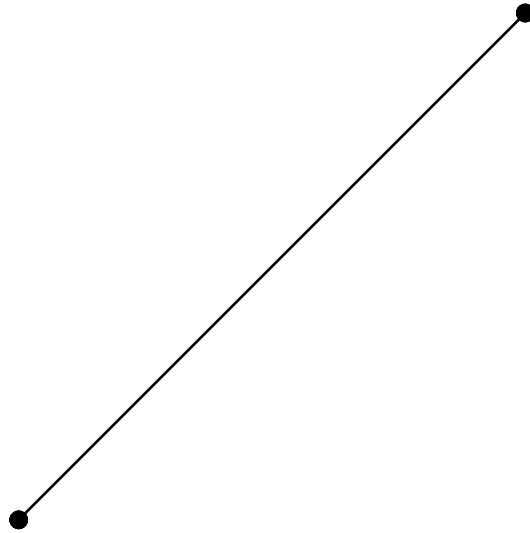


162. **Test: Cubic Spline Interpolation (Degenerate Case).** 단 두개의 데이터 포인트에 대한 cubic spline interpolation을 테스트한다. (10,10)과 (200,200)을 연결하는 cubic spline interpolation을 not-a-knot end condition으로 구한다. 두 개의 데이터 포인트로는 not-a-knot end condition이 성립될 수 없는 degenerate case이며 두 점을 연결하는 직선이 나와야 한다.

(Test routines 9) +=

```
1868 print_title("cubic_spline_interpolation:_degenerate_case");
1869 {
1870     vector<point> p;
1871     p.push_back(point({10,10}));
1872     p.push_back(point({200,200}));
1873     cubic_spline crv(p);
1874     psf file = create_postscript_file("line.ps");
1875     crv.write_curve_in_postscript(file,30,1.,1,2,1.);
1876     crv.write_control_polygon_in_postscript(file,1.,1,2,1.);
1877     crv.write_control_points_in_postscript(file,1.,1,2,1.);
1878     close_postscript_file(file,true);
1879 }
```

163. 실행 결과.



164. Test: Periodic Cubic Spline Interpolation. 7개의 경로점

$$p_i = r(\cos 2\pi i/6, \sin 2\pi i/6), \quad (i = 0, \dots, 6)$$

을 periodic cubic spline으로 보간한다.

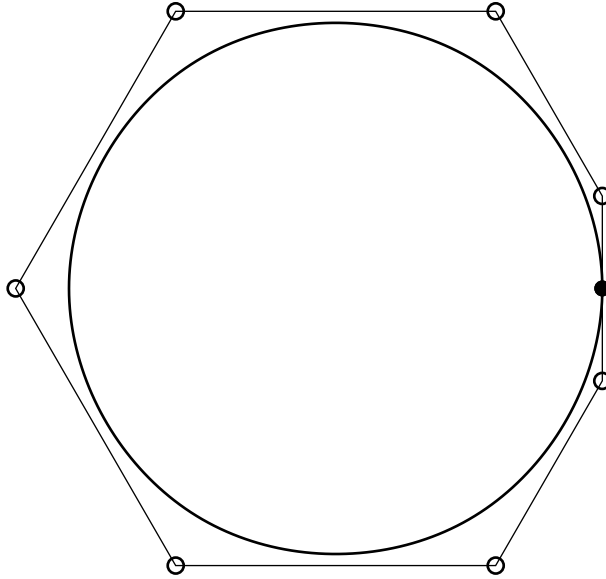
〈 Test routines 9 〉 +≡

```

1880   print_title("periodic_spline_interpolation");
1881   {
1882       vector<point> p;
1883       double r = 100.;
1884       cout << "Data_points:" << endl;
1885       for (size_t i = 0; i < 7; i++) {
1886           p.push_back(point({r * cos(2 * M_PI/6 * i) + 200., r * sin(2 * M_PI/6 * i) + 200.}));
1887           cout << "  (" << r * cos(2 * M_PI/6 * i) + 200. << ", " << r * sin(2 * M_PI/6 * i) + 200. << ") " << endl;
1888       }
1889       cubic_spline crv(p, cubic_spline::end_condition::periodic,
1890                       cubic_spline::parametrization::centripetal);
1891       psf file = create_postscript_file("periodic.ps");
1892       crv.write_curve_in_postscript(file, 200, 1., 1, 2, 1.);
1893       crv.write_control_polygon_in_postscript(file, 1., 1, 2, 1.);
1894       crv.write_control_points_in_postscript(file, 1., 1, 2, 1.);
1895       close_postscript_file(file, true);
1896       cout << crv.description();
1897       const unsigned steps = 1000;
1898       vector<double> knots = crv.knot_sequence();
1899       double du = (knots[knots.size() - 3] - knots[2]) / double(steps - 1);
1900       double us[steps];
1901       vector<point> crv_pts_s(steps, point(2));
1902       for (size_t i = 0; i < steps; i++) {
1903           us[i] = knots[2] + i * du;
1904       }
1905       auto t0 = high_resolution_clock::now();
1906       for (size_t i = 0; i < steps; i++) {
1907           crv_pts_s[i] = crv.evaluate(us[i]);
1908       }
1909       auto t1 = high_resolution_clock::now();
1910       cout << "Serial_computation: " << duration_cast<milliseconds>(t1 - t0).count() << " msec\n";
1911       t0 = high_resolution_clock::now();
1912       vector<point> crv_pts_p = crv.evaluate_all(steps);
1913       t1 = high_resolution_clock::now();
1914       cout << "Parallel_computation: " << duration_cast<milliseconds>(t1 - t0).count() <<
1915           " msec\n";
1916       double err = 0.;
1917       for (size_t i = 0; i < steps; i++) {
1918           err += dist(crv_pts_s[i], crv_pts_p[i]);
1919       }
1920       cout << "Mean_difference_between_serial_and_parallel_computation = " <<
1921           err / double(steps) << endl;
1922   }

```

165. 실행 결과.



166. C^2 cubic spline 곡선은 knot에서 나뉘는 각 조각별로 형상이 같은 Bézier 곡선으로 변환할 수 있다.

⟨Methods for conversion of **cubic_spline** 138⟩ +≡

```

1920 void cubic_spline::bezier_control_points(vector<point> &bezier_ctrl_points, vector<double> &knot)
      const {
1921     bezier_ctrl_points.clear();
1922     knot.clear();
1923     ⟨Create a new knot sequence of which each knot has multiplicity of 1 167⟩;
1924     ⟨Check whether the curve can be broken into Bézier curves 168⟩;
1925     ⟨Calculate Bézier control points 169⟩;
1926 }

```

167. 모든 knot들의 multiplicity가 1이 되도록 한다. Knot sequence를 따라가며 순증가하는 knot들만 추려낸다.

⟨Create a new knot sequence of which each knot has multiplicity of 1 167⟩ ≡

```

1927 knot.push_back(_knot_sqnc[0]);
1928 for (size_t i = 1; i < _knot_sqnc.size(); i++) {
1929     if (_knot_sqnc[i] > knot.back()) {
1930         knot.push_back(_knot_sqnc[i]);
1931     }
1932 }

```

This code is used in section 166.

168. 모든 knot들의 multiplicity가 1이 되도록 만든 후 knot의 갯수와 control point들의 갯수를 비교함으로써 cubic spline curve를 Bézier curve로 변환 가능한지 점검한다.

⟨Check whether the curve can be broken into Bézier curves 168⟩ ≡

```

1933 if (knot.size() + 2 < _ctrl_pts.size()) {
1934     throw std::runtime_error
1935         {"unable to break into bezier curves"};
1936 }

```

This code is used in section 166.

169. 먼저 필요한 저장공간을 확보한 후, 각 곡선의 segment별로 Bézier 컨트롤 포인트를 계산한다.

⟨ Calculate Bézier control points 169 ⟩ ≡

```

1937   for (size_t i = 0; i < 3 * (knot.size() - 1); i++) {
1938       bezier_ctrl_points.push_back(point({0.0, 0.0}));
1939   }
1940   bezier_ctrl_points[0] = _ctrl_pts[0];    /* Special treatment on the first segment. */
1941   bezier_ctrl_points[1] = _ctrl_pts[1];
1942   double delta = knot[2] - knot[0];
1943   bezier_ctrl_points[2] = ((knot[2] - knot[1]) * _ctrl_pts[1] + (knot[1] - knot[0]) * _ctrl_pts[2]) / delta;
1944   for (size_t i = 2; i < knot.size() - 2; i++) {    /* Intermediate segments. */
1945       delta = knot[i + 1] - knot[i - 2];
1946       bezier_ctrl_points[3*i - 1] = ((knot[i + 1] - knot[i]) * _ctrl_pts[i] + (knot[i] - knot[i - 2]) * _ctrl_pts[i + 1]) / delta;
1947       bezier_ctrl_points[3 * i - 2] = ((knot[i + 1] - knot[i - 1]) * _ctrl_pts[i] + (knot[i - 1] - knot[i - 2]) *
        _ctrl_pts[i + 1]) / delta;
1948   }
1949   unsigned long L = knot.size() - 1;    /* Special treatment on the last segment. */
1950   delta = knot[L] - knot[L - 2];
1951   bezier_ctrl_points[3 * L - 2] = ((knot[L] - knot[L - 1]) * _ctrl_pts[L] + (knot[L - 1] - knot[L - 2]) *
        _ctrl_pts[L + 1]) / delta;
1952   bezier_ctrl_points[3 * L - 1] = _ctrl_pts[L + 1];
1953   bezier_ctrl_points[3 * L] = _ctrl_pts[L + 2];
1954   for (size_t i = 1; i < (knot.size() - 2); i++) {    /* Finally, calculate  $b_{3i}$ s. */
1955       delta = knot[i + 1] - knot[i - 1];
1956       bezier_ctrl_points[3 * i] = ((knot[i + 1] - knot[i]) * bezier_ctrl_points[3 * i - 1] + (knot[i] - knot[i - 1]) *
        bezier_ctrl_points[3 * i + 1]) / delta;
1957   }

```

This code is used in section 166.

170. ⟨ Methods of `cubic_spline` 112 ⟩ +=

```

1958   protected:
1959       void bezier_control_points(vector<point> &, vector<double> &) const;

```


171. Cubic spline 곡선의 곡률은 먼저 곡선을 Bézier 곡선으로 변환한 후, Bézier 곡선의 곡률을 계산함으로써 구한다.

⟨Methods to calculate curvature of **cubic_spline** 171⟩ ≡

```

1960  vector<point> cubic_spline::signed_curvature(int density) const {
1961      vector<point> bezier_ctrl_points;
1962      vector<double> knot;
1963      vector<point> curvature;
1964      bezier_control_points(bezier_ctrl_points, knot);    /* Get equivalent Bézier curves. */
1965      for (size_t i = 0; i < (knot.size() - 2); i++) {
1966          list<point> cpts;    /* Control points for a section of Bézier curve. */
1967          cpts.clear();
1968          cpts.push_back(bezier_ctrl_points[3 * i]);
1969          cpts.push_back(bezier_ctrl_points[3 * i + 1]);
1970          cpts.push_back(bezier_ctrl_points[3 * i + 2]);
1971          cpts.push_back(bezier_ctrl_points[3 * i + 3]);
1972          bezier segment(cpts);
1973          vector<point> kappa = segment.signed_curvature(density);
1974          for (size_t j = 0; j < kappa.size(); j++) {
1975              curvature.push_back(kappa[j]);
1976          }
1977      }
1978      return curvature;
1979  }
```

This code is used in section 110.

172. ⟨Methods of **cubic_spline** 112⟩ +≡

```

1980  protected:
1981      vector<point> signed_curvature(int) const;
```

173. Knot Insertion and Removal. 먼저 knot insertion을 수행하는 method를 정의한다. Knot insertion은 새로 삽입된 knot에 의하여 Greville abscissas를 새로 계산하고, 그에 따라 컨트롤 포인트들을 linear interpolation하는 과정이다.

먼저 삽입할 knot이 적절한 범위의 값인지 점검한다. 그리고 새로 삽입하는 knot의 영향을 받지 않는 컨트롤 포인트들을 새로운 저장공간에 복사한다. 새로 계산해야하는 컨트롤 포인트를 linear interpolation으로 계산하고, 다시 새로운 knot의 영향을 받지 않는 나머지 컨트롤 포인트들을 복사한다.

마지막으로 주어진 knot을 *_knot_sqnc*에 삽입하고, 새로 계산한 컨트롤 포인트들로 *_ctrl_pts*를 대체한다.

⟨Methods for knot insertion and removal of **cubic_spline** 173⟩ ≡

```

1982 void cubic_spline::insert_knot(const double u) {
1983     const int n = 3; /* Degree of cubic spline. */
1984     size_t index = find_index_in_knot_sequence(u);
1985     if (index ≡ SIZE_MAX) {
1986         throw std::runtime_error
1987             {"out_of_knot_range"};
1988     }
1989     if ((index < n - 1) ∨ (int(_knot_sqnc.size()) - n < index)) {
1990         throw std::runtime_error
1991             {"not_insertable_knot"};
1992     }
1993     vector<point> new_ctrl_pts; /* construct a new control points */
1994     ⟨Copy control points for  $i = 0, \dots, I - d + 1$  174⟩;
1995     ⟨Construct new control points by piecewise linear interpolation 175⟩;
1996     ⟨Copy remaining control points to new control points 176⟩;
1997     _knot_sqnc.insert(_knot_sqnc.begin() + index + 1, u);
1998     _ctrl_pts.clear();
1999     _ctrl_pts = new_ctrl_pts;
2000 }
```

See also section 180.

This code is used in section 110.

174. ⟨Copy control points for $i = 0, \dots, I - d + 1$ 174⟩ ≡

```

2001 for (size_t i = 0; i ≤ index - n + 1; i++) {
2002     new_ctrl_pts.push_back(_ctrl_pts[i]);
2003 }
```

This code is used in section 173.

175. ⟨Construct new control points by piecewise linear interpolation 175⟩ ≡

```

2004 for (size_t i = index - n + 2; i ≤ index + 1; i++) {
2005     new_ctrl_pts.push_back(_ctrl_pts[i - 1] * (_knot_sqnc[i + n - 1] - u) / (_knot_sqnc[i + n - 1] - _knot_sqnc[i - 1])
2006                             + _ctrl_pts[i] * (u - _knot_sqnc[i - 1]) / (_knot_sqnc[i + n - 1] - _knot_sqnc[i - 1]));
2007 }
```

This code is used in section 173.

176. ⟨Copy remaining control points to new control points 176⟩ ≡

```

2007 for (size_t i = index + 2; i ≤ _knot_sqnc.size() - n + 1; i++) {
2008     new_ctrl_pts.push_back(_ctrl_pts[i - 1]);
2009 }
```

This code is used in section 173.

177. \langle Methods of **cubic_spline** 112 $\rangle + \equiv$

2010 **public:**

2011 **void** *insert_knot*(**const double**);

178. Knot removal을 구현하기 위하여 몇 가지 method를 먼저 정의한다. *get_blending_ratio()*는 Eck의 알고리즘에서 언급하는 blending ratio를 계산한다. *bracket()*과 *find_l()*은 Eck의 논문에서 사용하는 notation을 구현한 것이다.

⟨Miscellaneous methods of **cubic_spline** 125⟩ +=

```

2012  double cubic_spline::get_blending_ratio(
2013      const vector<double> &IGESKnot, long v, long r, long i
2014  ) {
2015      long beta = 1;    /* set beta and determine m1 and m2 */
2016      long m1 = beta - r + 6 - v;
2017      if (m1 < 0) {
2018          m1 = 0;
2019      }
2020      long m2 = r - _ctrl_pts.size() + 2 + beta;
2021      if (m2 < 0) {
2022          m2 = 0;
2023      }
2024      if ((v - 1 ≤ i) ∧ (i ≤ v - 2 + m1)) {    /* special cases to return 0 or 1 */
2025          return 0.;
2026      }
2027      if ((4 - m2 ≤ i) ∧ (i ≤ 3)) {
2028          return 1.;
2029      }
2030      double gamma = 0.;    /* otherwise go through a laborious chore */
2031      for (size_t j = v - 1 + m1; j ≤ 4 - m2; j++) {
2032          double brk = bracket(IGESKnot, j + 1, 3, r);
2033          gamma += brk * brk;
2034      }
2035      double result = 0.;
2036      for (size_t j = v - 1 + m1; j ≤ i; j++) {
2037          double brk = bracket(IGESKnot, j + 1, 3, r);
2038          result += brk * brk;
2039      }
2040      return result / gamma;
2041  }
2042  double cubic_spline::bracket(const vector<double> &IGESKnot, long a, long b, long r) {
2043      if (a ≡ b + 1) {
2044          return 1./find_l(IGESKnot, a - 1, r);
2045      }
2046      if (a ≡ b + 2) {
2047          return 1./(1. - find_l(IGESKnot, a - 1, r));
2048      }
2049      double result = 1./find_l(IGESKnot, a - 1, r);
2050      for (size_t i = a; i ≤ b; i++) {
2051          double tmp = find_l(IGESKnot, i, r);
2052          result *= (1. - tmp) / tmp;
2053      }
2054      return result;
2055  }
2056  double cubic_spline::find_l(const vector<double> &IGESKnot, long j, long r) {

```

```

2057     return (IGESKnot[r] - IGESKnot[r - 4 + j]) / (IGESKnot[r + j] - IGESKnot[r - 4 + j]);
2058 }

```

179. \langle Methods of **cubic_spline** 112 $\rangle + \equiv$

```

2059 protected:
2060     double get_blending_ratio(const vector<double> &, long, long, long);
2061     double bracket(const vector<double> &, long, long, long);
2062     double find_l(const vector<double> &, long, long);

```

180. Knot removal을 수행하는 method를 정의한다. 자세한 알고리즘은 Eck의 논문을 참조한다.

\langle Methods for knot insertion and removal of **cubic_spline** 173 $\rangle + \equiv$

```

2063 void cubic_spline::remove_knot(const double u) {
2064     vector<double> IGESKnot;
2065     vector<point> forward;
2066     vector<point> backward;
2067     const int k = 4;
2068      $\langle$  Set multiplicity of end knots to order of this curve instead of degree 181  $\rangle$ ;
2069     size_t r = find_index_in_knot_sequence(u) + 1;
2070     unsigned long v = find_multiplicity(u);
2071      $\langle$  Determine forward control points 182  $\rangle$ ;
2072      $\langle$  Determine backward control points 183  $\rangle$ ;
2073      $\langle$  Blend forward and backward control points 184  $\rangle$ ;
2074     for (size_t i = r; i ≤ _knot_sqnc.size() - 1; i++) {
2075         _knot_sqnc[i - 1] = _knot_sqnc[i];
2076     }
2077     _knot_sqnc.pop_back();
2078 }

```

181. \langle Set multiplicity of end knots to order of this curve instead of degree 181 $\rangle \equiv$

```

2079 IGESKnot.push_back(_knot_sqnc[0]);
2080 for (size_t i = 0; i ≠ _knot_sqnc.size(); ++i) {
2081     IGESKnot.push_back(_knot_sqnc[i]);
2082 }
2083 IGESKnot.push_back(_knot_sqnc.back());

```

This code is used in section 180.

182. \langle Determine forward control points 182 $\rangle \equiv$

```

2084 for (size_t i = 0; i ≤ r - k + v - 1; i++) {
2085     forward.push_back(_ctrl_pts[i]);
2086 }
2087 for (size_t i = r - k + v; i ≤ r - 1; i++) {
2088     double l = (IGESKnot[r] - IGESKnot[i]) / (IGESKnot[k + i] - IGESKnot[i]);
2089     forward.push_back(1.0/l * _ctrl_pts[i] + (1.0 - 1.0/l) * forward[i - 1]);
2090 }
2091 for (size_t i = r; i ≤ _ctrl_pts.size() - 2; i++) {
2092     forward.push_back(_ctrl_pts[i + 1]);
2093 }

```

This code is used in section 180.

183. \langle Determine backward control points [183](#) $\rangle \equiv$

```

2094   for (size_t i = 0; i ≤ _ctrl_pts.size() - 2; i++) {
2095       backward.push_back(cagd::point(2));
2096   }
2097   for (long i = _ctrl_pts.size() - 2; i ≥ r - 1; i--) {
2098       backward[i] = _ctrl_pts[i + 1];
2099   }
2100   for (long i = r - 2; i ≥ r - k + v - 1; i--) {
2101       double l = (IGESKnot[r] - IGESKnot[i + 1]) / (IGESKnot[k + i + 1] - IGESKnot[i + 1]);
2102       backward[i] = 1. / (1. - l) * _ctrl_pts[i + 1] + (1. - 1. / (1. - l)) * backward[i + 1];
2103   }
2104   for (long i = r - k + v - 2; i ≥ 0; i--) {
2105       backward[i] = _ctrl_pts[i];
2106   }

```

This code is used in section [180](#).

184. \langle Blend forward and backward control points [184](#) $\rangle \equiv$

```

2107   for (size_t i = r - k + v - 1; i ≤ r - 1; i++) {
2108       double mu = get_blending_ratio(IGESKnot, v, r, i);
2109       _ctrl_pts[i] = (1. - mu) * forward[i] + mu * backward[i];
2110   }
2111   for (size_t i = r; i ≤ _ctrl_pts.size() - 2; i++) {
2112       _ctrl_pts[i] = _ctrl_pts[i + 1];
2113   }
2114   _ctrl_pts.pop_back();

```

This code is used in section [180](#).

185. \langle Methods of **cubic_spline** [112](#) $\rangle + \equiv$

```

2115   public:
2116       void remove_knot(const double);

```

186. Output to PostScript File. PostScript 파일 출력을 위한 함수들은 다음과 같다. 곡선을 계산할 때 입력받는 변수 *dense*는 곡선을 몇 개의 선분 조각으로 근사화할 것인지 나타내므로 실제 계산해야 하는 곡선상의 점들은 그것보다 하나 더 많다.

(Methods for PostScript output of **cubic_spline** 186) ≡

```

2117 void cubic_spline::write_curve_in_postscript(
2118     psf &ps_file, unsigned dense, float line_width, int x, int y, float magnification
2119 ) const {
2120     ios_base::fmtflags previous_options = ps_file.flags();
2121     ps_file.precision(4);
2122     ps_file.setf(ios_base::fixed, ios_base::floatfield);
2123     ps_file << "newpath" << endl << "[0]setdash" << line_width << "setlinewidth" << endl;
2124     point pt(magnification * evaluate(_knot_sqnc[2], 2));
2125     ps_file << pt(x) << "\t" << pt(y) << "\t" << "moveto" << endl;
2126     double incr = (_knot_sqnc[_knot_sqnc.size() - 3] - _knot_sqnc[2]) / double(dense);
2127     for (size_t i = 0; i < dense + 1; i++) {
2128         double u = _knot_sqnc[2] + incr * i;
2129         pt = magnification * evaluate(u);
2130         ps_file << pt(x) << "\t" << pt(y) << "\t" << "lineto" << endl;
2131     }
2132     ps_file << "stroke" << endl;
2133     ps_file.flags(previous_options);
2134 }

2135 void cubic_spline::write_control_polygon_in_postscript(
2136     psf &ps_file, float line_width, int x, int y, float magnification
2137 ) const {
2138     ios_base::fmtflags previous_options = ps_file.flags();
2139     ps_file.precision(4);
2140     ps_file.setf(ios_base::fixed, ios_base::floatfield);
2141     ps_file << "newpath" << endl << "[0]setdash" << .5 * line_width << "setlinewidth" << endl;
2142     point pt(magnification * _ctrl_pts[0]);
2143     ps_file << pt(x) << "\t" << pt(y) << "\t" << "moveto" << endl;
2144     for (size_t i = 1; i < _ctrl_pts.size(); i++) {
2145         pt = magnification * _ctrl_pts[i];
2146         ps_file << pt(x) << "\t" << pt(y) << "\t" << "lineto" << endl;
2147     }
2148     ps_file << "stroke" << endl;
2149     ps_file.flags(previous_options);
2150 }

2151 void cubic_spline::write_control_points_in_postscript(
2152     psf &ps_file, float line_width, int x, int y, float magnification
2153 ) const {
2154     ios_base::fmtflags previous_options = ps_file.flags();
2155     ps_file.precision(4);
2156     ps_file.setf(ios_base::fixed, ios_base::floatfield);
2157     point pt(magnification * _ctrl_pts[0]);
2158     ps_file << "0setgray" << endl << "newpath" << endl << pt(x) << "\t" << pt(y) << "\t" <<
        (line_width * 3) << "\t" << 0.0 << "\t" << 360 << "\t" << "arc" << endl << "closepath" <<
        endl << "fillstroke" << endl;
2159     if (_ctrl_pts.size() > 2) {

```

```

2160     for (size_t i = 1; i ≤ (_ctrl_pts.size() - 2); i++) {
2161         pt = magnification * _ctrl_pts[i];
2162         ps_file << "newpath" << endl << pt(x) << "\t" << pt(y) << "\t" << (line_width * 3) << "\t" <<
            0.0 << "\t" << 360 << "\t" << "arc" << endl << "closepath" << endl << line_width <<
            "\t" << "setlinewidth" << endl << "stroke" << endl;
2163     }
2164     pt = magnification * _ctrl_pts.back();
2165     ps_file << "0\setgray" << endl << "newpath" << endl << pt(x) << "\t" << pt(y) << "\t" <<
        (line_width * 3) << "\t" << 0.0 << "\t" << 360 << "\t" << "arc" << endl << "closepath" <<
        endl << "fill\stroke" << endl;
2166 }
2167 ps_file.flags(previous_options);
2168 }

```

This code is used in section 110.

187. ⟨Methods of `cubic_spline` 112⟩ +≡

```

2169 public:
2170     void write_curve_in_postscript(
2171         psf &, unsigned, float, int x = 1, int y = 1,
2172         float magnification = 1.0) const;
2173     void write_control_polygon_in_postscript(
2174         psf &, float, int x = 1, int y = 1,
2175         float magnification = 1.0) const;
2176     void write_control_points_in_postscript(
2177         psf &, float, int x = 1, int y = 1,
2178         float magnification = 1.0) const;

```


188. Index.

- `--COMPUTER_AIDED_GEOMETRIC_DESIGN_H_`: [2](#).
- `_ctrl_pts`: [40](#), [42](#), [44](#), [48](#), [50](#), [52](#), [55](#), [59](#), [63](#), [65](#), [70](#), [72](#), [75](#), [79](#), [81](#), [113](#), [119](#), [123](#), [136](#), [143](#), [154](#), [168](#), [169](#), [173](#), [174](#), [175](#), [176](#), [178](#), [182](#), [183](#), [184](#), [186](#).
- `_curves`: [83](#), [85](#), [87](#), [89](#), [91](#), [93](#), [95](#), [97](#).
- `_degree`: [55](#), [57](#), [59](#), [61](#), [63](#), [65](#), [70](#), [71](#), [72](#), [73](#), [75](#), [79](#).
- `_elem`: [21](#), [23](#), [25](#), [27](#), [29](#), [31](#), [33](#), [35](#).
- `_interpolate`: [143](#), [144](#), [145](#).
- `_kernelId`: [109](#), [111](#), [115](#), [123](#), [145](#).
- `_knot_sqnc`: [109](#), [111](#), [113](#), [115](#), [117](#), [119](#), [121](#), [123](#), [125](#), [129](#), [130](#), [132](#), [134](#), [138](#), [140](#), [143](#), [148](#), [149](#), [150](#), [151](#), [167](#), [173](#), [175](#), [176](#), [180](#), [181](#), [186](#).
- `_mp`: [109](#), [111](#), [115](#), [121](#), [123](#), [145](#).
- `_WIN32`: [2](#).
- `_WIN64`: [2](#).
- `a`: [152](#), [154](#), [156](#), [178](#).
- `Ainv`: [12](#).
- `alpha`: [7](#), [9](#), [14](#), [15](#), [16](#), [17](#), [19](#).
- `alpha_i`: [152](#), [156](#).
- `area`: [67](#).
- `argc`: [6](#).
- `argv`: [6](#).
- `at`: [127](#).
- `B`: [14](#).
- `b`: [12](#), [14](#), [19](#), [65](#), [66](#), [138](#), [140](#), [152](#), [154](#), [156](#), [178](#).
- `back`: [79](#), [81](#), [125](#), [129](#), [134](#), [143](#), [145](#), [167](#), [181](#), [186](#).
- `backup_point`: [75](#).
- `backup1`: [79](#).
- `backup2`: [79](#).
- `backward`: [180](#), [183](#), [184](#).
- `begin`: [25](#), [42](#), [48](#), [59](#), [87](#), [93](#), [97](#), [130](#), [145](#), [149](#), [173](#).
- `bessel`: [142](#), [153](#).
- `beta`: [7](#), [9](#), [14](#), [15](#), [16](#), [19](#), [178](#).
- `beta_i`: [152](#), [156](#).
- `bezier`: [1](#), [54](#), [55](#), [56](#), [57](#), [59](#), [60](#), [61](#), [62](#), [63](#), [65](#), [69](#), [74](#), [75](#), [79](#), [81](#), [83](#), [89](#), [90](#), [95](#), [99](#), [100](#), [101](#), [102](#), [103](#), [104](#), [127](#), [171](#).
- `bezier_control_points`: [127](#), [166](#), [170](#), [171](#).
- `bezier_ctrl_points`: [166](#), [169](#), [171](#).
- `bezier_ctrlpt`: [127](#).
- `bezier_curve`: [127](#).
- `bezier_points_from_hermite_form`: [138](#), [139](#), [154](#).
- `bhat_fx`: [17](#).
- `bp`: [154](#).
- `bracket`: [178](#), [179](#).
- `brk`: [178](#).
- `buffer`: [35](#), [50](#), [117](#).
- `buffer_property`: [121](#), [123](#).
- `c`: [152](#), [154](#), [156](#).
- `c_str`: [4](#).
- `cagd`: [2](#), [3](#), [4](#), [6](#), [7](#), [9](#), [10](#), [12](#), [14](#), [29](#), [37](#), [65](#), [67](#), [77](#), [79](#), [95](#), [149](#), [150](#), [183](#).
- `centripetal`: [142](#), [146](#), [147](#), [164](#).
- `chord_length`: [142](#), [147](#).
- `chrono`: [6](#).
- `clamped`: [142](#), [145](#), [153](#).
- `clear`: [70](#), [72](#), [79](#), [134](#), [136](#), [143](#), [166](#), [171](#), [173](#).
- `close`: [4](#).
- `close_postscript_file`: [4](#), [5](#), [99](#), [157](#), [162](#), [164](#).
- `coeff`: [63](#).
- `combi`: [79](#).
- `cond`: [143](#), [145](#), [146](#), [153](#).
- `const_ctrlpt_itr`: [40](#).
- `const_curve_itr`: [83](#), [87](#), [97](#).
- `const_iterator`: [40](#), [48](#), [59](#), [83](#), [109](#).
- `const_knot_itr`: [109](#), [130](#), [131](#).
- `constant`: [124](#).
- `control_points`: [113](#), [114](#).
- `control_points_from_bezier_form`: [140](#), [141](#), [154](#).
- `convert_int`: [124](#).
- `cos`: [164](#).
- `count`: [87](#), [88](#), [157](#), [164](#).
- `counter`: [75](#), [79](#).
- `cout`: [6](#), [9](#), [19](#), [39](#), [157](#), [159](#), [164](#).
- `cp`: [123](#).
- `cp_buffer`: [123](#).
- `cpts`: [124](#), [171](#).
- `create_buffer`: [121](#), [123](#).
- `create_kernel`: [111](#), [145](#).
- `create_postscript_file`: [4](#), [5](#), [99](#), [157](#), [162](#), [164](#).
- `crv`: [52](#), [87](#), [89](#), [91](#), [93](#), [97](#), [115](#), [121](#), [124](#), [157](#), [159](#), [162](#), [164](#).
- `crv_pts_p`: [157](#), [164](#).
- `crv_pts_s`: [157](#), [164](#).
- `ctrl_pts`: [44](#), [45](#), [97](#), [99](#), [100](#), [101](#), [102](#), [103](#), [104](#).
- `ctrl_pts_size`: [44](#), [45](#), [97](#).
- `ctrlpt_itr`: [40](#).
- `cubic_spline`: [1](#), [108](#), [109](#), [110](#), [111](#), [112](#), [113](#), [115](#), [116](#), [117](#), [119](#), [121](#), [125](#), [127](#), [130](#), [132](#), [134](#), [136](#), [138](#), [140](#), [142](#), [143](#), [145](#), [146](#), [147](#), [153](#), [154](#), [157](#), [162](#), [164](#), [166](#), [171](#), [173](#), [178](#), [180](#), [186](#).
- `curvature`: [171](#).
- `curvature_at_zero`: [65](#), [66](#).
- `curve`: [1](#), [40](#), [41](#), [42](#), [44](#), [48](#), [49](#), [50](#), [52](#), [53](#), [54](#), [55](#), [57](#), [61](#), [83](#), [85](#), [91](#), [108](#), [109](#), [111](#), [115](#), [117](#), [145](#).
- `curve_itr`: [83](#), [93](#).
- `curves`: [99](#), [100](#), [101](#), [102](#), [103](#), [104](#).
- `d`: [12](#), [15](#), [124](#), [140](#), [154](#), [156](#).
- `d_i`: [152](#).
- `d_im1`: [152](#).
- `d_minus`: [156](#).

d_plus: [156](#).
datum: [158](#).
deg: [99](#).
degree: [43](#), [57](#), [58](#), [87](#), [88](#), [99](#), [113](#), [114](#).
delta: [65](#), [127](#), [132](#), [133](#), [149](#), [150](#), [152](#), [153](#),
[156](#), [169](#).
delta_i: [140](#), [156](#).
delta_im1: [140](#), [156](#).
delta_im2: [156](#).
delta_ip1: [156](#).
dense: [186](#).
density: [65](#), [171](#).
derivative: [47](#), [63](#), [64](#), [95](#), [96](#), [127](#), [128](#).
description: [35](#), [36](#), [50](#), [51](#), [117](#), [118](#), [157](#), [164](#).
dgr: [75](#), [79](#), [87](#), [93](#).
diff: [157](#).
dim: [12](#), [14](#), [23](#), [24](#), [27](#), [29](#), [33](#), [35](#), [39](#), [42](#), [43](#), [48](#),
[50](#), [87](#), [88](#), [121](#), [138](#), [140](#), [152](#), [154](#), [156](#).
dimension: [23](#), [24](#), [42](#), [43](#), [87](#), [88](#), [95](#).
dist: [33](#), [34](#), [37](#), [38](#), [39](#), [65](#), [149](#), [150](#), [157](#), [164](#).
drv: [127](#).
du: [124](#), [138](#), [157](#), [164](#).
duration_cast: [157](#), [164](#).
d0: [153](#).
d01: [153](#).
d012: [153](#).
d1: [153](#).
d12: [153](#).
d123: [153](#).
d2: [153](#).
d23: [153](#).
d3: [153](#).
e: [65](#), [66](#), [145](#).
Einv: [14](#), [15](#), [16](#), [17](#).
elem: [7](#).
elevate_degree: [75](#), [76](#), [93](#), [94](#), [99](#).
Enb: [16](#).
end: [25](#), [59](#), [87](#), [93](#), [97](#), [130](#), [149](#).
end_condition: [142](#), [143](#), [144](#), [145](#), [146](#), [153](#),
[157](#), [164](#).
endl: [4](#), [6](#), [9](#), [19](#), [35](#), [50](#), [81](#), [97](#), [117](#), [157](#),
[159](#), [164](#), [186](#).
enqueue_data_parallel_kernel: [123](#).
enqueue_read_buffer: [121](#).
enqueue_write_buffer: [123](#).
EPS: [2](#).
err: [159](#), [164](#).
evaluate: [47](#), [63](#), [64](#), [81](#), [95](#), [96](#), [97](#), [119](#), [120](#),
[157](#), [159](#), [164](#), [186](#).
evaluate_all: [121](#), [122](#), [157](#), [164](#).
evaluate_crv: [124](#).
exit: [4](#).

E1b: [16](#).
fabs: [65](#).
factorial: [77](#), [78](#), [79](#).
file: [99](#), [157](#), [162](#), [164](#).
file_name: [4](#).
fill: [6](#).
find: [130](#).
find_index_in_knot_sequence: [119](#), [125](#), [126](#), [173](#),
[180](#).
find_index_in_sequence: [125](#), [126](#), [127](#).
find_l: [178](#), [179](#).
find_multiplicity: [130](#), [131](#), [180](#).
fixed: [81](#), [97](#), [186](#).
flags: [81](#), [97](#), [186](#).
floatfield: [81](#), [97](#), [186](#).
floor: [95](#).
fmtflags: [81](#), [97](#), [186](#).
forward: [180](#), [182](#), [184](#).
front: [79](#), [129](#).
function_spline: [142](#), [147](#), [157](#).
gamma: [7](#), [9](#), [14](#), [15](#), [16](#), [17](#), [19](#), [178](#).
gamma_i: [152](#), [156](#).
get_blending_ratio: [178](#), [179](#), [184](#).
get_global_id: [124](#).
global: [124](#).
h: [65](#).
half: [65](#).
head: [136](#).
high_resolution_clock: [157](#), [164](#).
I: [119](#), [124](#).
i: [7](#), [9](#), [10](#), [12](#), [14](#), [19](#), [25](#), [27](#), [29](#), [31](#), [33](#), [35](#), [39](#),
[44](#), [48](#), [50](#), [59](#), [63](#), [65](#), [70](#), [71](#), [72](#), [73](#), [75](#), [79](#), [81](#),
[97](#), [117](#), [119](#), [121](#), [123](#), [124](#), [125](#), [127](#), [132](#), [134](#),
[136](#), [138](#), [140](#), [143](#), [145](#), [148](#), [149](#), [150](#), [151](#), [152](#),
[156](#), [157](#), [158](#), [159](#), [164](#), [167](#), [169](#), [171](#), [174](#), [175](#),
[176](#), [178](#), [180](#), [181](#), [182](#), [183](#), [184](#), [186](#).
id: [124](#).
IGESKnot: [178](#), [180](#), [181](#), [182](#), [183](#), [184](#).
incr: [186](#).
index: [72](#), [95](#), [127](#), [173](#), [174](#), [175](#), [176](#).
initializer_list: [25](#), [26](#).
insert: [173](#).
insert_end_knots: [134](#), [135](#), [143](#).
insert_knot: [173](#), [177](#).
intermediate: [136](#).
interpolated: [159](#).
inv: [9](#).
inverse: [7](#).
invert_tridiagonal: [7](#), [8](#), [9](#), [12](#), [15](#).
ios_base: [4](#), [81](#), [97](#), [186](#).
iter: [59](#), [130](#).
iterator: [40](#), [83](#), [109](#).

j: [7](#), [9](#), [14](#), [15](#), [16](#), [17](#), [79](#), [121](#), [123](#), [124](#), [171](#), [178](#).
k: [7](#), [10](#), [12](#), [119](#), [124](#), [180](#).
kappa: [65](#), [171](#).
kernel: [124](#).
knot: [166](#), [167](#), [168](#), [169](#), [171](#).
knot_itr: [109](#), [149](#).
knot_sequence: [113](#), [114](#), [157](#), [164](#).
knots: [111](#), [123](#), [124](#), [127](#), [157](#), [164](#).
knots.buffer: [123](#).
L: [121](#), [124](#), [138](#), [140](#), [152](#), [154](#), [156](#), [169](#).
l: [12](#), [15](#), [182](#), [183](#).
lambda: [79](#).
left: [65](#), [69](#), [72](#).
line_width: [81](#), [97](#), [186](#).
list: [48](#), [49](#), [59](#), [60](#), [171](#).
l2r: [79](#).
m: [121](#), [138](#), [154](#).
m_L: [143](#), [145](#), [153](#).
M_PI: [2](#), [158](#), [159](#), [164](#).
M_PI_2: [2](#).
M_PI_4: [2](#).
m_0: [143](#), [145](#), [153](#).
magnification: [46](#), [81](#), [82](#), [97](#), [98](#), [186](#), [187](#).
main: [6](#).
mat: [10](#).
matlab_bench: [159](#).
MAX_BUFF_SIZE: [124](#).
max_u: [95](#).
milliseconds: [157](#), [164](#).
min: [27](#).
mpoi: [109](#), [121](#), [123](#).
mu: [184](#).
multiply: [10](#), [11](#), [12](#), [17](#).
mv: [10](#).
m1: [178](#).
m2: [178](#).
N: [121](#), [124](#).
n: [7](#), [10](#), [12](#), [14](#), [25](#), [33](#), [77](#), [119](#), [121](#), [124](#), [136](#), [173](#).
natural: [142](#), [153](#).
negated: [29](#).
new_ctrl_pts: [173](#), [174](#), [175](#), [176](#).
newKnots: [134](#).
NOMINMAX: [2](#).
not_a_knot: [142](#), [145](#), [146](#), [153](#), [157](#).
now: [157](#), [164](#).
num_ctrlpts: [123](#).
num_knots: [123](#).
ofstream: [2](#).
open: [4](#).
out: [4](#).
p: [143](#), [145](#), [154](#), [158](#), [162](#), [164](#).

parametrization: [142](#), [143](#), [144](#), [145](#), [146](#),
[147](#), [157](#), [164](#).
periodic: [142](#), [143](#), [164](#).
phi: [7](#).
piecewise_bezier_curve: [1](#), [83](#), [84](#), [85](#), [86](#), [87](#),
[89](#), [91](#), [92](#), [93](#), [95](#), [97](#), [99](#).
point: [1](#), [12](#), [13](#), [14](#), [18](#), [19](#), [20](#), [21](#), [22](#), [23](#), [25](#), [26](#),
[27](#), [28](#), [29](#), [30](#), [31](#), [33](#), [34](#), [35](#), [37](#), [38](#), [39](#), [40](#), [44](#),
[45](#), [47](#), [48](#), [49](#), [59](#), [60](#), [63](#), [64](#), [65](#), [66](#), [67](#), [68](#), [69](#),
[75](#), [79](#), [81](#), [95](#), [96](#), [97](#), [99](#), [100](#), [101](#), [102](#), [103](#),
[104](#), [111](#), [112](#), [113](#), [114](#), [119](#), [120](#), [121](#), [122](#), [127](#),
[128](#), [136](#), [137](#), [138](#), [139](#), [140](#), [141](#), [143](#), [144](#), [145](#),
[146](#), [152](#), [154](#), [155](#), [156](#), [157](#), [158](#), [162](#), [164](#), [166](#),
[169](#), [170](#), [171](#), [172](#), [173](#), [180](#), [183](#), [186](#).
points: [59](#), [69](#), [70](#), [71](#), [72](#), [73](#).
pop_back: [79](#), [180](#), [184](#).
pow: [7](#), [79](#), [153](#).
precision: [81](#), [97](#), [186](#).
prev: [6](#).
previous_options: [81](#), [97](#), [186](#).
print_title: [6](#), [9](#), [19](#), [39](#), [99](#), [157](#), [162](#), [164](#).
prod: [7](#).
ps_file: [4](#), [81](#), [97](#), [186](#).
psf: [2](#), [4](#), [5](#), [46](#), [81](#), [82](#), [97](#), [98](#), [99](#), [157](#), [162](#),
[164](#), [186](#), [187](#).
pt: [27](#), [29](#), [33](#), [48](#), [81](#), [97](#), [121](#), [186](#).
pts: [48](#), [111](#), [121](#).
pts.buffer: [121](#), [123](#).
pt1: [29](#), [37](#).
pt2: [29](#), [37](#).
push_back: [63](#), [65](#), [70](#), [72](#), [75](#), [79](#), [89](#), [90](#), [100](#),
[101](#), [102](#), [103](#), [104](#), [119](#), [127](#), [134](#), [148](#), [149](#),
[150](#), [151](#), [158](#), [162](#), [164](#), [167](#), [169](#), [171](#), [174](#),
[175](#), [176](#), [181](#), [182](#), [183](#).
p0: [39](#).
p1: [39](#), [67](#).
p2: [39](#), [67](#).
p3: [39](#), [67](#).
quadratic: [142](#), [145](#), [153](#).
r: [12](#), [63](#), [71](#), [73](#), [85](#), [152](#), [154](#), [156](#), [164](#), [178](#), [180](#).
r_i: [152](#).
ratio: [75](#).
READ_ONLY: [123](#).
READ_WRITE: [121](#).
reduce_degree: [79](#), [80](#), [93](#), [94](#), [99](#).
release_buffer: [121](#).
remove_knot: [180](#), [185](#).
result: [178](#).
right: [65](#), [69](#), [70](#).
runtime_error: [75](#), [79](#), [129](#), [147](#), [153](#), [154](#), [156](#),
[168](#), [173](#).
r2l: [79](#).

- r2l_reversed*: [79](#).
- r2l_reversed_size*: [79](#).
- s*: [27](#), [29](#).
- scheme*: [143](#), [145](#), [146](#), [147](#).
- segment*: [171](#).
- set_control_points*: [136](#), [137](#), [156](#).
- set_kernel_argument*: [123](#).
- setf*: [81](#), [97](#), [186](#).
- setw*: [6](#).
- shifter*: [119](#), [124](#).
- sign*: [124](#).
- signed_area*: [65](#), [67](#), [68](#).
- signed_curvature*: [65](#), [66](#), [171](#), [172](#).
- sin*: [158](#), [164](#).
- size*: [7](#), [10](#), [12](#), [14](#), [23](#), [31](#), [42](#), [44](#), [48](#), [50](#), [59](#), [63](#), [70](#), [72](#), [75](#), [79](#), [81](#), [87](#), [95](#), [117](#), [121](#), [123](#), [125](#), [132](#), [134](#), [136](#), [138](#), [140](#), [143](#), [145](#), [148](#), [149](#), [150](#), [151](#), [152](#), [154](#), [156](#), [157](#), [164](#), [167](#), [168](#), [169](#), [171](#), [173](#), [176](#), [178](#), [180](#), [181](#), [182](#), [183](#), [184](#), [186](#).
- SIZE_MAX*: [125](#), [173](#).
- solve_cyclic_tridiagonal_system*: [14](#), [18](#), [19](#), [156](#).
- solve_hform_tridiagonal_system_set_ctrl_pts*: [153](#), [154](#), [155](#).
- solve_tridiagonal_system*: [12](#), [13](#), [154](#).
- spline*: [159](#), [160](#).
- splines*: [127](#).
- sqnc*: [125](#).
- sqrt*: [33](#), [150](#), [159](#).
- src*: [25](#), [27](#), [48](#), [59](#), [61](#), [111](#).
- std*: [2](#), [6](#), [33](#), [65](#), [75](#), [79](#), [95](#), [129](#), [147](#), [153](#), [154](#), [156](#), [168](#), [173](#).
- step*: [81](#), [97](#).
- steps*: [157](#), [164](#).
- str*: [6](#), [35](#), [50](#), [117](#).
- string*: [4](#), [5](#), [35](#), [36](#), [50](#), [51](#), [117](#), [118](#).
- stringstream*: [35](#), [50](#), [117](#).
- subdivision*: [65](#), [69](#), [74](#).
- sum*: [33](#).
- sum_delta*: [149](#), [150](#).
- sz*: [27](#), [29](#).
- sz_min*: [27](#).
- t*: [63](#), [65](#), [69](#), [81](#), [97](#), [124](#), [127](#).
- tail*: [136](#).
- theta*: [7](#).
- tmp*: [119](#), [124](#), [178](#).
- tmp_point*: [75](#).
- true*: [4](#), [99](#), [157](#), [162](#), [164](#).
- t0*: [157](#), [164](#).
- t1*: [63](#), [69](#), [71](#), [72](#), [73](#), [119](#), [157](#), [164](#).
- t2*: [119](#).
- u*: [12](#), [15](#), [95](#), [119](#), [124](#), [125](#), [127](#), [130](#), [159](#), [173](#), [180](#), [186](#).
- uniform*: [142](#), [147](#).
- us*: [157](#), [164](#).
- v*: [25](#), [178](#), [180](#).
- vec*: [10](#).
- vector**: [7](#), [8](#), [9](#), [10](#), [11](#), [12](#), [13](#), [14](#), [15](#), [17](#), [18](#), [19](#), [21](#), [25](#), [40](#), [48](#), [49](#), [59](#), [60](#), [63](#), [65](#), [66](#), [69](#), [79](#), [83](#), [99](#), [109](#), [111](#), [112](#), [113](#), [114](#), [119](#), [121](#), [122](#), [123](#), [125](#), [126](#), [127](#), [134](#), [136](#), [137](#), [138](#), [139](#), [140](#), [141](#), [143](#), [144](#), [145](#), [146](#), [152](#), [154](#), [155](#), [156](#), [157](#), [158](#), [162](#), [164](#), [166](#), [170](#), [171](#), [172](#), [173](#), [178](#), [179](#), [180](#).
- v1*: [25](#).
- v2*: [25](#).
- v3*: [25](#), [26](#).
- with_new_page*: [4](#).
- write_control_points_in_postscript*: [46](#), [81](#), [82](#), [97](#), [98](#), [99](#), [157](#), [162](#), [164](#), [186](#), [187](#).
- write_control_polygon_in_postscript*: [46](#), [81](#), [82](#), [97](#), [98](#), [99](#), [157](#), [162](#), [164](#), [186](#), [187](#).
- write_curve_in_postscript*: [46](#), [81](#), [82](#), [97](#), [98](#), [99](#), [157](#), [162](#), [164](#), [186](#), [187](#).
- x*: [12](#), [14](#), [19](#), [46](#), [81](#), [82](#), [97](#), [98](#), [138](#), [156](#), [186](#), [187](#).
- x_n*: [14](#), [16](#), [17](#).
- x_n_den*: [16](#).
- x_n_num*: [16](#).
- xhat*: [14](#), [17](#).
- xi*: [12](#).
- y*: [46](#), [81](#), [82](#), [97](#), [98](#), [159](#), [186](#), [187](#).

- ⟨ Access control points of **curve** 44 ⟩ Used in section 41.
- ⟨ Blend forward and backward control points 184 ⟩ Used in section 180.
- ⟨ Build-up 1st brush 102 ⟩ Used in section 99.
- ⟨ Build-up 2nd, 4th, and 5th brush 101 ⟩ Used in section 99.
- ⟨ Build-up 3rd brush 100 ⟩ Used in section 99.
- ⟨ Build-up 6th, 7th, 8th, and 9th brush (inner part) 104 ⟩ Used in section 99.
- ⟨ Build-up 6th, 7th, 8th, and 9th brush (outer part) 103 ⟩ Used in section 99.
- ⟨ Calculate E^{-1} 15 ⟩ Used in section 14.
- ⟨ Calculate $\hat{\mathbf{x}}$ 17 ⟩ Used in section 14.
- ⟨ Calculate x_n 16 ⟩ Used in section 14.
- ⟨ Calculate Bézier control points 169 ⟩ Used in section 166.
- ⟨ Calculate points on a cubic spline using OpenCL Kernel 123 ⟩ Used in section 121.
- ⟨ Centripetal parametrization of knot sequence 150 ⟩ Used in section 147.
- ⟨ Check the range of knot value given 129 ⟩ Used in section 127.
- ⟨ Check whether the curve can be broken into Bézier curves 168 ⟩ Used in section 166.
- ⟨ Chord length parametrization of knot sequence 149 ⟩ Used in section 147.
- ⟨ Compare the result of interpolation with MATLAB 159 ⟩ Used in section 157.
- ⟨ Construct new control points by piecewise linear interpolation 175 ⟩ Used in section 173.
- ⟨ Constructor and destructor of **curve** 48 ⟩ Used in section 41.
- ⟨ Constructors and destructor of **bezier** 59 ⟩ Used in section 56.
- ⟨ Constructors and destructor of **cubic_spline** 111, 145 ⟩ Used in section 110.
- ⟨ Constructors and destructor of **piecewise_bezier_curve** 85 ⟩ Used in section 84.
- ⟨ Constructors and destructor of **point** 25 ⟩ Used in section 22.
- ⟨ Copy control points for $i = 0, \dots, I - d + 1$ 174 ⟩ Used in section 173.
- ⟨ Copy remaining control points to new control points 176 ⟩ Used in section 173.
- ⟨ Create a new knot sequence of which each knot has multiplicity of 1 167 ⟩ Used in section 166.
- ⟨ Data members of **bezier** 55 ⟩ Used in section 54.
- ⟨ Data members of **cubic_spline** 109 ⟩ Used in section 108.
- ⟨ Data members of **point** 21 ⟩ Used in section 20.
- ⟨ Declaration of **cagd** functions 5, 8, 11, 13, 18, 30, 38, 68, 78 ⟩ Used in section 2.
- ⟨ Definition of **bezier** 54 ⟩ Used in section 2.
- ⟨ Definition of **cubic_spline** 108 ⟩ Used in section 2.
- ⟨ Definition of **curve** 40 ⟩ Used in section 2.
- ⟨ Definition of **piecewise_bezier_curve** 83 ⟩ Used in section 2.
- ⟨ Definition of **point** 20 ⟩ Used in section 2.
- ⟨ Degree elevation and reduction of **bezier** 75, 79 ⟩ Used in section 56.
- ⟨ Degree elevation and reduction of **piecewise_bezier_curve** 93 ⟩ Used in section 84.
- ⟨ Description of **cubic_spline** 117 ⟩ Used in section 110.
- ⟨ Determine backward control points 183 ⟩ Used in section 180.
- ⟨ Determine forward control points 182 ⟩ Used in section 180.
- ⟨ Enumerations of **cubic_spline** 142 ⟩ Used in section 108.
- ⟨ Evaluation and derivative of **cubic_spline** 119, 121, 127 ⟩ Used in section 110.
- ⟨ Evaluation and derivative of **piecewise_bezier_curve** 95 ⟩ Used in section 84.
- ⟨ Evaluation of **bezier** 63, 65 ⟩ Used in section 56.
- ⟨ Function spline parametrization of knot sequence 151 ⟩ Used in section 147.
- ⟨ Generate example data points 158 ⟩ Used in section 157.
- ⟨ Generate knot sequence according to given parametrization scheme 147 ⟩ Used in section 143.
- ⟨ Implementation of **bezier** 56 ⟩ Used in section 3.
- ⟨ Implementation of **cagd** functions 4, 7, 10, 12, 14, 67, 77 ⟩ Used in section 3.
- ⟨ Implementation of **cubic_spline** 110 ⟩ Used in section 3.
- ⟨ Implementation of **curve** 41 ⟩ Used in section 3.
- ⟨ Implementation of **piecewise_bezier_curve** 84 ⟩ Used in section 3.

〈Implementation of **point** 22〉 Used in section 3.
 〈Methods for PostScript output of **cubic_spline** 186〉 Used in section 110.
 〈Methods for conversion of **cubic_spline** 138, 140, 166〉 Used in section 110.
 〈Methods for debugging of **curve** 50〉 Used in section 41.
 〈Methods for interpolation of **cubic_spline** 143, 154〉 Used in section 110.
 〈Methods for knot insertion and removal of **cubic_spline** 173, 180〉 Used in section 110.
 〈Methods of **bezier** 58, 60, 62, 64, 66, 74, 76, 80, 82〉 Used in section 54.
 〈Methods of **cubic_spline** 112, 114, 116, 118, 120, 122, 126, 128, 131, 133, 135, 137, 139, 141, 144, 146, 155, 170, 172, 177, 179, 185, 187〉 Used in section 108.
 〈Methods of **curve** 43, 45, 46, 47, 49, 51, 53〉 Used in section 40.
 〈Methods of **piecewise_bezier_curve** 86, 88, 90, 92, 94, 96, 98〉 Used in section 83.
 〈Methods of **point** 24, 26, 28, 32, 34, 36〉 Used in section 20.
 〈Methods to calculate curvature of **cubic_spline** 171〉 Used in section 110.
 〈Miscellaneous methods of **cubic_spline** 125, 130, 132, 134, 136, 178〉 Used in section 110.
 〈Modification of **piecewise_bezier_curve** 89〉 Used in section 84.
 〈Modify equations according to end conditions and solve them 153〉 Used in section 143.
 〈Non-member functions for **point** 29, 37〉 Used in section 22.
 〈Obtain the left subpolygon of Bézier curve 72〉 Used in section 69.
 〈Obtain the left subpolygon using de Casteljau algorithm 73〉 Used in section 72.
 〈Obtain the right subpolygon of Bézier curve 70〉 Used in section 69.
 〈Obtain the right subpolygon using the de Casteljau algorithm 71〉 Used in section 70.
 〈Operators of **bezier** 61〉 Used in section 56.
 〈Operators of **cubic_spline** 115〉 Used in section 110.
 〈Operators of **curve** 52〉 Used in section 41.
 〈Operators of **piecewise_bezier_curve** 91〉 Used in section 84.
 〈Operators of **point** 27, 31〉 Used in section 22.
 〈Other member functions of **point** 33, 35〉 Used in section 22.
 〈Output to PostScript of **bezier** 81〉 Used in section 56.
 〈PostScript output of **piecewise_bezier_curve** 97〉 Used in section 84.
 〈Properties of **bezier** 57〉 Used in section 56.
 〈Properties of **cubic_spline** 113〉 Used in section 110.
 〈Properties of **curve** 42〉 Used in section 41.
 〈Properties of **piecewise_bezier_curve** 87〉 Used in section 84.
 〈Properties of **point** 23〉 Used in section 22.
 〈Set multiplicity of end knots to order of this curve instead of degree 181〉 Used in section 180.
 〈Setup Hermite form equations of cubic spline interpolation 152〉 Used in section 143.
 〈Setup equations for periodic end condition and solve them 156〉 Used in section 143.
 〈Subdivision of **bezier** 69〉 Used in section 56.
 〈Test routines 9, 19, 39, 99, 157, 162, 164〉 Used in section 6.
 〈Uniform parametrization of knot sequence 148〉 Used in section 147.
 〈cagd.cpp 3〉
 〈cagd.h 2〉
 〈cspline.cl 124〉
 〈test.cpp 6〉

Computer-Aided Geometric Design

(Last revised on November 12, 2021)

	Section	Page
Introduction	1	1
Namespace	2	2
Solution of Tridiagonal Systems	7	5
Point in Euclidean space	20	14
Generic Curve	40	21
Bézier Curve	54	25
Piecewise Bézier Curve	83	36
Cubic Spline Curve	108	51
Evaluation of Cubic Spline (de Boor Algorithm)	119	54
Interpolation of Cubic Spline	138	63
Knot Insertion and Removal	173	90
Output to PostScript File	186	95
Index	188	97

Copyright © 2015–2017 by Changmook Chun

This document is published by Changmook Chun. All rights reserved. No part of this publication may be reproduced, stored in a retrieval systems, or transmitted, in any form or by any means, electronic, mechanical, photocopying, recording, or otherwise, without the prior written permission of the author.